

Основы Математического Моделирования

Физический факультет МГУ им. Ломоносова.

Боголюбов А. Н.

Глава I. Основные понятия и принципы математического моделирования.

§1. Математика и математическое моделирование	3
§2. Прямые и обратные задачи математического моделирования	5
§3. Универсальность математических моделей. Принцип аналогий	6
§4. Иерархия моделей	9

Глава II. Некоторые классические задачи математической физики.

§1. Задача с данными на характеристиках (задача Гурса)	12
§2. Общая задача Коши. Функция Римана	17
2.1. Функция Римана	17
2.2. Физический смысл функции Римана	25
2.2. Уравнения с постоянными коэффициентами	28
§3. Задача о промерзании (задача о фазовом переходе, задача Стефана)	31
3.1. Метод подобия	35
§4. Динамика сорбции газа	37
§5. Простейшие задачи для уравнения Шредингера	41
5.1. Уравнение Шредингера	41
5.2. Гармонический осциллятор	42
5.3. Ротатор	44
5.4. Движение электрона в кулоновском поле	46
5.5. Свойство полиномов Эрмита	52

Глава III. Математическое моделирование нелинейных объектов и процессов.

§1. Математические модели процессов нелинейной теплопроводности и горения	53
1.1. Краевые задачи для квазилинейного уравнения теплопроводности	53
1.2. Решения с обострениями	57
§2. Математические модели теории нелинейных волн	62
2.1. Метод характеристик	62
2.2. Обобщенное решение. Условие на разрыве	65
2.3. Уравнение Кортевега-де Фриза и законы сохранения	69
2.4. Схема метода обратной задачи	70
2.4.1. Прямая и обратная задачи рассеяния	70
2.4.2. Решение задачи Коши	72
2.4.3. Схема построения быстроубывающих решений задачи Коши	74

Глава IV. Методы исследования математических моделей.

§1. Вариационные методы решения краевых задач и определения собственных значений	77
1.1. Принцип Дирихле	77
1.2. Задача о собственных значениях	79

§2. Некоторые алгоритмы проекционного метода	81
2.1. Общая схема алгоритмов	81
2.2. Метод Ритца	82
2.3. Метод Галёркина	85
2.4. Обобщенный метод моментов	86
2.5. Метод наименьших квадратов	87
§3. Метод конечных разностей	88
3.1. Основные понятия	88
3.2. Разностная задача для уравнения теплопроводности на отрезке	91
3.3. Метод прогонки	96
3.4. Экономичные разностные схемы. Схема переменных направлений	98
3.5. Консервативные однородные разностные схемы	100
3.5.1. Интегро-интерполяционный метод (ИИМ) – метод баланса	100
3.5.2. Метод конечных элементов (МКЭ) – проекционно-сеточный метод	102
§4. Асимптотические методы	105
4.1. Метод малого параметра	105
4.1.1. Регулярные возмущения	105
4.1.2. Сингулярные возмущения	108
4.2. Метод ВКБ (Венцеля, Крамерса, Бриллюэна)	113
4.3. Метод усреднения Крылова-Боголюбова	117
Глава V. Некоторые новые методы и объекты математического моделирования.	
§1. Фракталы и фрактальные структуры	126
1.1. Фракталы в математике	126
1.2. Размерность самоподобия	128
1.3. Фракталы в природе	129
1.4. Моделирование дендритов	130
1.5. Иллюстрации к параграфу	131
§2. Самоорганизация и образование структур. Синергетика	133
2.1. Диссипативные структуры	133
2.2. Модель брюсселятора	134

Гл. I Основные понятия и принципы математического моделирования.

§1. Математика и математическое моделирование.

Основные этапы метода математического моделирования.

1. Создание качественной модели.

Выясняется характер законов и связей, действующих в системе. В зависимости от природы модели эти законы могут быть физическими, химическими, биологическими, экономическими.

Задача моделирования — выявить главные, характерные черты явления или процесса, его определяющие особенности.

Применительно к исследованию физических явлений создание качественной модели — это формулировка физических закономерностей явления или процесса на основании эксперимента.

2. Создание математической модели (постановка математической задачи).

Если математическая модель описывается некоторыми уравнениями, то такая модель называется детерминированной. Рассмотренные в курсе методов математической физики начально-краевые задачи являются примерами детерминированных дифференциальных моделей.

Если модель описывается некоторыми вероятностными законами, то такая модель называется стохастической.

1) Выделение существенных факторов.

Основной принцип: если в системе существует несколько факторов одного порядка значимости, то все они должны быть учтены, или все отброшены.

2) Выделение дополнительных условий (начальных, граничных, условий сопряжения и т.д.).

3. Изучение математической модели.

1) Математическое обоснование модели.

Исследование внутренней непротиворечивости модели.

Обоснование корректности дифференциальной модели. Доказательство теорем существования, единственности и устойчивости решения.

2) Качественное исследование модели. Выяснение поведения модели в крайних и предельных ситуациях.

3) Численное исследование модели.

а) Разработка алгоритма.

б) Разработка численных методов исследования модели

Разрабатываемые методы должны быть достаточно общими (пригодными для исследования математических моделей

достаточно широкого класса) и алгоритмичными (обеспечивающими автоматизацию вычислений).

Новое требование — возможность распараллеливания (использование кластерных вычислительных систем)

в) Создание и реализация программы.

Компьютерный эксперимент.

Лабораторный эксперимент	Компьютерный эксперимент
Образец	Математическая модель
Физический прибор	Программа
Калибровка	Тестирование программы
Измерения	Расчеты
Анализ данных	Анализ данных

По сравнению с лабораторным (натурным) экспериментом компьютерный эксперимент дешевле, безопасней, может проводиться в тех случаях, когда лабораторный эксперимент принципиально невозможен.

4. Получение результатов и их интерпретация.

Сопоставление полученных данных с результатами качественного анализа, натурного эксперимента и данными, полученными с помощью других численных алгоритмов.

Уточнение и модификация модели и методов ее исследования.

5. Использование полученных результатов.

Предсказание новых явлений и закономерностей.

§2. Прямые и обратные задачи математического моделирования.

1. Прямая задача: все параметры исследуемой системы известны и изучается поведение модели в различных условиях.

2. Обратные задачи:

а) Задача распознавания: определение параметров модели путем сопоставления наблюдаемых данных и результатов моделирования. По результатам наблюдений пытаются выяснить, какие процессы управляют поведением объекта, и находят определяющие параметры модели. В обратной задаче распознавания требуется определить значения параметров модели по известному поведению системы как целого.

Примеры задач распознавания:

- Задача электроразведки: определение подземных структур при помощи измерений на поверхности.
 - Задача магнитной дефектоскопии: определение дефекта в детали, помещенной между полюсами магнита, по возмущению магнитного поля на поверхности детали.
- б) Задача синтеза (задача математического проектирования): построение математических моделей систем и устройств, которые должны обладать заданными техническими характеристиками. В отличие от задач распознавания, заключающихся в определении параметров модели, соответствующей реальному состоянию системы, в задачах синтеза отсутствует требование единственности решения. Отсутствие единственности решения позволяет из нескольких возможных решений выбрать технически наиболее приемлемый результат.

Примеры задач синтеза:

- Синтез диаграммы направленности антенны: определение распределения токов, создающих заданную диаграмму направленности антенны.
- Синтез градиентных световодов: определение профиля функции диэлектрической проницаемости, при котором световод обладает заданными характеристиками.

3. Задача проектирования управляющих систем: особая область математического моделирования, связанная с автоматизированными информационными системами и автоматизированными системами управления.

§3. Универсальность математических моделей. Принцип аналогий.

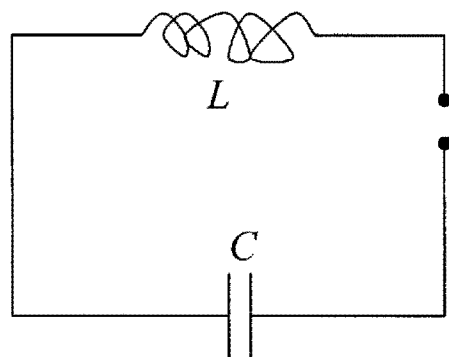
Универсальность математических моделей есть отражение принципа материального единства мира.

Математическая модель должна описывать не только отдельные конкретные явления или объекты, а достаточно широкий круг разнородных явлений и объектов.

Одним из плодотворных подходов к моделированию сложных объектов является использование аналогий с уже изученными явлениями.

Процессы колебаний в объектах разной природы.

1. Колебательный электрический контур.



Сопротивление проводов считаем равным нулю.

$q(t)$ — заряд на обкладках конденсатора.

$v(t)$ — напряжение на обкладках конденсатора.

C — емкость конденсатора

L — индуктивность катушки

E — э.д.с. самоиндукции

i — ток

Закон Ома: $v(t) = -E(t) \Rightarrow$

$$L \frac{d^2 q}{dt^2} = -Cq \Rightarrow \frac{d^2 q}{dt^2} + \frac{C}{L} q = 0$$

$$v(t) = Cq(t)$$

$$E = -L \frac{di}{dt}$$

$$i = -\frac{dq}{dt}$$

2. Малые колебания при взаимодействии двух биологических популяций.

$N(t)$ — численность растительноядной популяции 1

$M(t)$ — численность плотоядной популяции 2

Пренебрегаем естественной смертностью популяции 1 и рождаемостью популяции 2.

$$\begin{cases} \frac{dN}{dt} = (\alpha_1 - \beta_1 M)N, & \alpha_1 > 0, \quad \beta_1 > 0, \\ \frac{dM}{dt} = (-\alpha_2 + \beta_2 N)M, & \alpha_2 > 0, \quad \beta_2 > 0. \end{cases}$$

Система находится в равновесии, если

$$M_0 = \frac{\alpha_1}{\beta_1}, \quad N_0 = \frac{\alpha_2}{\beta_2}, \quad \text{когда } \frac{dN}{dt} = \frac{dM}{dt} = 0$$

Линеаризованная система ($n=N-N_0$, $m=M-M_0$):

$$\begin{cases} \frac{dn}{dt} = -\beta_1 N_0 m \\ \frac{dm}{dt} = \beta_2 M_0 n \end{cases} \Rightarrow \frac{d^2 n}{dt^2} + \alpha_1 \alpha_2 n = 0$$

3. Простейшая модель изменения зарплаты и занятости.

$p(t)$ — зарплата

$N(t)$ — число занятых работников

Равновесие рынка труда: за плату $p_0 > 0$ согласны работать $N_0 > 0$ человек.

Предполагается, что

- a) работодатель изменяет зарплату пропорционально отклонению численности занятых работников от равновесного;
- b) численность работников изменяется пропорционально изменению зарплаты относительно p_0 .

$$\begin{cases} \frac{dp}{dt} = -\alpha_1(N - N_0), \quad \alpha_1 > 0, \\ \frac{dN}{dt} = \alpha_2(p - p_0), \quad \alpha_2 > 0 \end{cases}$$

Отсюда

$$\frac{d^2(p - p_0)}{dt^2} + \alpha_1 \alpha_2 (p - p_0) = 0.$$

§4. Иерархия моделей.

Принцип «от простого к сложному»: построение цепочки (иерархии) все более полных моделей, каждая из которых обобщает предыдущую, включая ее в качестве составного случая.

Модель многоступенчатой ракеты.

Пренебрегаем сопротивлением воздуха, гравитацией.

1) Одноступенчатая ракета.

$u=3 \div 5$ км/с — скорость истечения продуктов сгорания топлива
(относительно Земли)

$v(t)$ — скорость ракеты (относительно Земли)

$m(t)$ — масса ракеты

Закон сохранения импульса:

$$m(t)v(t) = m(t + dt)v(t + dt) - dm(v(t + \xi dt) - u)$$

$$m(t + dt) = m(t) + \frac{dm}{dt} dt + O(dt^2)$$

$$m \frac{dv}{dt} = -\frac{dm}{dt} u \Rightarrow \frac{dv}{dt} = -u \frac{d(\ln m)}{dt} \Rightarrow$$

$$v(t) = v_0 + u \cdot \ln\left(\frac{m_0}{m(t)}\right)$$

$$v_0 = v(0); \quad m_0 = m(0)$$

Максимальная скорость при полном сгорании топлива (формула Циолковского):

$$v = u \ln\left(\frac{m_0}{m_p + m_s}\right)$$

m_p — полезная масса (масса спутника)

m_s — структурная масса (топливных баков, двигателей, систем управления ракетой и т.д.)

$$\lambda = \frac{m_s}{m_0 - m_p}$$

$$\lambda = 0,1$$

При $u = 3 \text{ км/с}$ $v = u \ln\left(\frac{1}{\lambda}\right) = 7 \text{ км/с}$

$$m_p = 0$$

2) Многоступенчатая ракета.

m_i — общая масса i -й ступени

λm_i — структурная масса i -й ступени

$(1 - \lambda)m_i$ — масса топлива i -й ступени

λ, u — одинаковы для всех ступеней.

$$n = 3 : \quad m_0 = m_p + m_1 + m_2 + m_3$$

Пусть израсходовано все топливо первой ступени. По формуле Циолковского скорость равна:

$$v_1 = u \ln\left(\frac{m_0}{m_p + \lambda m_1 + m_2 + m_3}\right)$$

После отбrosa структурной массы λm_1 включается вторая ступень. Масса ракеты в этот момент $m_p + m_2 + m_3$. После выгорания топлива второй ступени скорость равна:

$$v_2 = v_1 + u \ln\left(\frac{m_p + m_2 + m_3}{m_p + \lambda m_2 + m_3}\right),$$

а после отбrosa структурной массы λm_2 и включения двигателей третьей ступени равна

$$v_3 = v_2 + u \ln\left(\frac{m_p + m_3}{m_p + \lambda m_3}\right),$$

При $m=3$ получаем

$$\frac{v_3}{\alpha} = \ln \left\{ \left(\frac{\alpha_1}{1 + \lambda(\alpha_1 - 1)} \right) \left(\frac{\alpha_2}{1 + \lambda(\alpha_2 - 1)} \right) \left(\frac{\alpha_3}{1 + \lambda(\alpha_3 - 1)} \right) \right\},$$

где

$$\alpha_1 = \frac{m_0}{m_p + m_2 + m_3}, \quad \alpha_2 = \frac{m_p + m_2 + m_3}{m_p + m_3}, \quad \alpha_3 = \frac{m_p + m_3}{m_p}$$

Максимум достигается при $\alpha_1 = \alpha_2 = \alpha_3 = \alpha$.

$$\text{Для } m=3: \quad \alpha = \frac{1-\lambda}{p-\lambda}, \quad p = \exp\left(-\frac{v_3}{3u}\right),$$

$$\alpha_1 \alpha_2 \alpha_3 = \alpha^3 = \frac{m_0}{m_p} = \left(\frac{1-\lambda}{p-\lambda} \right)^3$$

Для n ступеней:

$$\frac{m_0}{m_p} = \left(\frac{1-\lambda}{p-\lambda} \right)^n, \quad p = \exp\left(-\frac{v_n}{nu}\right)$$

При $v_n=10,5 \text{ км/с}; \lambda = 0,1$ получаем

$$n = 2 \quad m_0 = 149m_p$$

$$n = 3 \quad m_0 = 77m_p$$

$$n = 4 \quad m_0 = 65m_p$$

§1 Задача с данными на характеристиках (задача Гурса).

Простейшая задача Гурса

$$u_{xy} = f(x, y), \quad x > 0, y > 0, \quad (1)$$

$$u(x, 0) = \varphi_1(x), \quad u(0, y) = \varphi_2(y), \quad (2)$$

$$\varphi_1(0) = \varphi_2(0) = u(0, 0). \quad (3)$$

Пусть решение задачи (1)-(3) существует. Поучим его явное представление через входные данные. Проинтегрируем (1) по прямоугольнику $\mathfrak{D} = \{0 < \xi < x, 0 < \eta < y\}$:

$$\begin{aligned} \int_{\mathfrak{D}} u_{xy} ds &= \int_0^y \int_0^x u_{\xi\eta} d\xi d\eta = \\ &= u(x, y) - u(x, 0) - u(y, 0) + u(0, 0) = \\ &= u(x, y) - \varphi_1(x) - \varphi_2(y) + \varphi_1(0), \end{aligned}$$

$$u(x, y) = \varphi_1(x) + \varphi_2(y) - \varphi_1(0) + \int_0^y \int_0^x f(\xi, \eta) d\xi d\eta. \quad (4)$$

Из формулы (4) следует единственность решения задачи (1)-(3). В предположении дифференцируемости функций $\varphi_1(x)$ и $\varphi_2(y)$ и непрерывности функции $f(x, y)$ из формулы (4) следует существование решения.

Рассмотрим общую задачу:

$$u_{xy} + a(x, y)u_x + b(x, y)u_y + c(x, y)u = f(x, y), \quad x > 0, y > 0, \quad (5)$$

$$u(x, 0) = \varphi_1(x), \quad u(0, y) = \varphi_2(y), \quad (6)$$

$$\varphi_1(0) = \varphi_2(0) = u(0, 0), \quad (7)$$

где $a(x, y)$, $b(x, y)$, $c(x, y)$ — гладкие функции.

Обозначим

$$F(x, y, u, u_x, u_y) = f - au_x - bu_y - cu.$$

Тогда

$$\begin{aligned} u(x, y) &= \varphi_1(x) + \varphi_2(y) - \varphi_1(0) + \int_{\mathfrak{D}} F d\xi d\eta = \\ &= \int_0^y \int_0^x F d\xi d\eta + \Phi(x, y), \end{aligned} \tag{8}$$

где

$$\Phi(x, y) = \varphi_1(x) + \varphi_2(y) - \varphi_1(0).$$

Введем интегро-дифференциальный оператор A :

$$A[u] = \int_0^y \int_0^x F d\xi d\eta.$$

Уравнение (8) запишем в виде

$$u = A[u] + \Phi \tag{9}$$

интегро-дифференциального уравнения Вольтерра. Метод последовательных приближений:

$$\begin{aligned} u_n &= A[u_{n-1}] + \Phi, \quad n = 1, 2, \dots \\ u_0 &\text{ — задано.} \end{aligned} \tag{10}$$

Положим $u_0(x, y) = 0$. Тогда

$$\begin{aligned} u_1 &= \int_0^y \int_0^x f(\xi, \eta) d\xi d\eta + \Phi(x, y) \\ u_n &= u_1 - \int_0^y \int_0^x \left\{ a \frac{\partial u_{n-1}}{\partial \xi} + b \frac{\partial u_{n-1}}{\partial \eta} + c u_{n-1} \right\} d\xi d\eta. \end{aligned} \tag{11}$$

Из (11) следует:

$$\begin{aligned}\frac{\partial u_n}{\partial x} &= \frac{\partial u_1}{\partial x} - \int_0^y \left\{ a(x, \eta) \frac{\partial u_{n-1}}{\partial x} + b(x, \eta) \frac{\partial u_{n-1}}{\partial \eta} + c(x, \eta) u_{n-1} \right\} d\eta, \\ \frac{\partial u_n}{\partial y} &= \frac{\partial u_1}{\partial y} - \int_0^x \left\{ a(\xi, y) \frac{\partial u_{n-1}}{\partial \xi} + b(\xi, y) \frac{\partial u_{n-1}}{\partial y} + c(\xi, y) u_{n-1} \right\} d\xi.\end{aligned}\quad (12)$$

Докажем равномерную сходимость последовательностей

$$\{u_n(x, y)\}, \left\{ \frac{\partial u_n}{\partial x}(x, y) \right\}, \left\{ \frac{\partial u_n}{\partial y}(x, y) \right\}.$$

Пусть $z_n = u_{n+1} - u_n$. Из (11), (12) следует:

$$\begin{aligned}z_n(x, y) &= - \int_0^y \int_0^x \left\{ a(\xi, \eta) \frac{\partial z_{n-1}}{\partial \xi} + b(\xi, \eta) \frac{\partial z_{n-1}}{\partial \eta} + c(\xi, \eta) z_{n-1} \right\} d\xi d\eta, \\ \frac{\partial z_n}{\partial x}(x, y) &= - \int_0^y \left\{ a(x, \eta) \frac{\partial z_{n-1}}{\partial x} + b(x, \eta) \frac{\partial z_{n-1}}{\partial \eta} + c(x, \eta) z_{n-1} \right\} d\eta, \\ \frac{\partial z_n}{\partial y}(x, y) &= - \int_0^x \left\{ a(\xi, y) \frac{\partial z_{n-1}}{\partial \xi} + b(\xi, y) \frac{\partial z_{n-1}}{\partial y} + c(\xi, y) z_{n-1} \right\} d\xi.\end{aligned}\quad (13)$$

Предположим, что в квадрате $G = \{0 < x, y < L\}$

$$\begin{aligned}|a(x, y)| &\leq M, \quad |b(x, y)| \leq M, \quad |c(x, y)| \leq M, \\ |z_0| &\leq H, \quad \left| \frac{\partial z_0}{\partial x} \right| \leq H, \quad \left| \frac{\partial z_0}{\partial y} \right| \leq H,\end{aligned}\quad (14)$$

где $M > 0, H > 0$ — положительные константы.

Из (13), (14) следуют мажорантные оценки:

$$\begin{aligned}|z_1| &\leq 3HMxy \leq 3HM \frac{(x+y)^2}{2!}, \\ \left| \frac{\partial z_1}{\partial x} \right| &\leq 3HMy \leq 3HM(x+y), \\ \left| \frac{\partial z_1}{\partial y} \right| &\leq 3HMX \leq 3HM(x+y).\end{aligned}$$

По индукции: для любого $n \geq 1$ получаем

$$\begin{aligned}|z_n| &\leq 3HM^nK^{n-1} \frac{(x+y)^{n+1}}{(n+1)!}, \\ \left| \frac{\partial z_n}{\partial x} \right| &\leq 3HM^nK^{n-1} \frac{(x+y)^n}{n!}, \\ \left| \frac{\partial z_n}{\partial y} \right| &\leq 3HM^nK^{n-1} \frac{(x+y)^n}{n!},\end{aligned}$$

где $K = L + 2$.

Так как $(x, y) \in G$

$$\begin{aligned}|z_n| &\leq \frac{3H}{K^2M} \frac{(2KLM)^{n+1}}{(n+1)!}, \\ \left| \frac{\partial z_n}{\partial x} \right| &\leq \frac{3H}{K} \frac{(2KLM)^n}{n!}, \\ \left| \frac{\partial z_n}{\partial y} \right| &\leq \frac{3H}{K} \frac{(2KLM)^n}{n!}.\end{aligned}\tag{15}$$

В правой части (15) с точностью до множителей пропорциональности стоят общие члены разложения $\exp(2KLM)$. Следовательно, последовательность функций

$$\begin{aligned}u_n &= u_0 + z_1 + \cdots + z_{n-1}, \\ \frac{\partial u_n}{\partial x} &= \frac{\partial u_0}{\partial x} + \frac{\partial z_1}{\partial x} + \cdots + \frac{\partial z_{n-1}}{\partial x}, \\ \frac{\partial u_n}{\partial y} &= \frac{\partial u_0}{\partial y} + \frac{\partial z_1}{\partial y} + \cdots + \frac{\partial z_{n-1}}{\partial y}\end{aligned}$$

равномерно сходятся к предельным функциям $u(x, y), v(x, y), w(x, y)$:

$$u(x, y) = \lim_{n \rightarrow \infty} u_n(x, y), \quad v(x, y) = \lim_{n \rightarrow \infty} \frac{\partial u_n}{\partial x}, \quad w(x, y) = \lim_{n \rightarrow \infty} \frac{\partial u_n}{\partial y}.$$

Перейдем в формулах (11), (12) к пределу $n \rightarrow \infty$:

$$\begin{aligned} u &= u_1(x, y) - \int_0^y \int_0^x \{av + bw + c(\xi, \eta)u\} d\xi d\eta, \\ v &= \frac{\partial u_1}{\partial x} - \int_0^y \{a(x, \eta)v + b(x, \eta)w + c(x, \eta)u\} d\eta, \\ w &= \frac{\partial u_1}{\partial y} - \int_0^x \{a(\xi, y)v + b(\xi, y)w + c(\xi, y)u\} d\xi. \end{aligned} \quad (16)$$

Отсюда следует, что $v = u_x$, $w = u_y$ и $u(x, y)$ удовлетворяет уравнению (9). Непосредственным дифференцированием устанавливается, что $u(x, y)$ удовлетворяет (5). Удовлетворение условиям (6) следует из (7), (9.) и вида $\Phi(x, y)$.

Доказательство единственности решения задачи (5)- (7) (от противного):

Пусть $u_1(x, y) \neq u_2(x, y)$ — два решения. Рассмотрим $U(x, y) = u_1(x, y) - u_2(x, y)$:

$$U(x, y) = \int_0^x \int_0^y \{aU_\xi + bU_\eta + cU\} d\xi d\eta.$$

Из (14) следует

$$|U| \leq H_1, \quad |U_x| \leq H_1, \quad |U_y| \leq H_1.$$

При $(x, y) \in G$ для любого n

$$|U| \leq \frac{3H_1}{K^2 M} \frac{(2KLM)^{n+1}}{(n+1)!}. \quad (17)$$

Из (17) следует, что

$$U(x, y) \equiv 0 \implies u_1(x, y) \equiv u_2(x, y)$$

— противоречие.

§2. Общая задача Коши. Фундаментальная формула.

1° Фундаментальная формула.

Рассмотрим задачу:

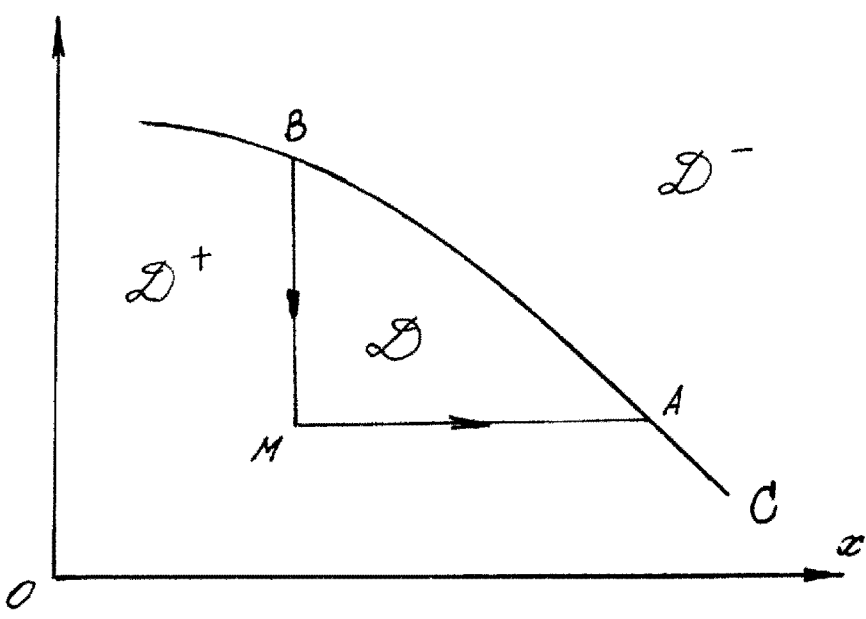
$$\left\{ \begin{array}{l} u_{xy} = f(x, y), (x, y) \in D^+, \\ u(x, y) = g(x, y), (x, y) \in C, \\ \frac{\partial u}{\partial n}(x, y) = \psi(x, y), (x, y) \in C. \end{array} \right. \quad \begin{array}{l} (1) \\ (2) \\ (3) \end{array}$$

Кривая C - бесконечно малкая кривая, делиющая плоскость (x, y) на две криволинейные полуплоскости D^+ и D^- и задаваемая уравнением:

- a) кривая C не имеет точек характеристики уравнения (1);
 б) любая характеристика уравнения (1) пересекает кривую C только один раз.

В формуле (3) $\frac{\partial}{\partial n}$ - производная по нормали к кривой C , направленной вглубь области D^+ .

Построим формулу, выражющую
решение задачи (1)-(3) в любой точке
и области D^+ .



Расширение вправо

$$v u_{xy} - u v_{xy} = \frac{1}{2} \left\{ \frac{\partial Q}{\partial x} - \frac{\partial P}{\partial y} \right\}, \quad (4)$$

где $P[u, v] = v_x u - v u_x$ (5)

$$Q[u, v] = v u_y - v_y u$$

Формула Грина:

$$\begin{aligned} & \int_D (v u_{xy} - u v_{xy}) dx dy = \\ & = \frac{1}{2} \int_D \left(\frac{\partial Q}{\partial x} - \frac{\partial P}{\partial y} \right) dx dy = \frac{1}{2} \int_I P dx + Q dy, \end{aligned} \quad (6)$$

где $\bar{D} = D \cup I$.

Расширение вправо для характеристики
AM и BM:

$$\begin{aligned}
 \int\limits_M^A P dx &= \int\limits_M^A (v_x u - \underline{v u_x}) dx = \\
 &= (v u)_M - (v u)_A + 2 \int\limits_M^A v_x u dx
 \end{aligned} \tag{7}$$

$$\begin{aligned}
 \int\limits_B^M Q dy &= \int\limits_B^M (\underline{u_y v} - u v_y) dy = \\
 &= (v u)_M - (v u)_B - 2 \int\limits_B^M u v_y dy
 \end{aligned} \tag{8}$$

$$(6) - (8) \Rightarrow$$

$$\begin{aligned}
 &\int\limits_{\mathcal{D}} (v u_{xy} - u v_{xy}) dx dy = \\
 &= (v u)_M - \frac{(v u)_A + (v u)_B}{2} + \\
 &+ \frac{1}{2} \int\limits_A^B P dx + Q dy + \\
 &+ \int\limits_M^A v_x u dx - \int\limits_B^M u v_y dy
 \end{aligned} \tag{9}$$

Пусть $u(x, y)$ - решение задачи (1)-(3), а $v(x, y)$ - решение задачи (10) с данными на хордальном контуре (задача Гурса):

$$\left\{ \begin{array}{l} v_{xy} = 0, \quad (x, y) \in D, \\ v_x \Big|_{AM} = 0, \\ v_y \Big|_{BM} = 0, \\ v(M) = 1 \end{array} \right. \quad (10)$$

Функция $v \equiv 1$ в области D удовлетворяет всем условиям задачи (10). Функция v , удовлетворяющая условиям (10), называется собой единичной функцией Гурса.

Представим $v \equiv 1$ в (3) \Rightarrow

$$\int\limits_D u_{xy} dx dy = u(M) - \frac{u(A) + u(B)}{2} + \frac{1}{2} \int\limits_A^B (-u_x dx + u_y dy)$$

$$(1)-(3) \Rightarrow$$

$$u(M) = \frac{\vartheta(A) + \vartheta(B)}{2} + \frac{1}{2} \int\limits_{AB} u_x dx - u_y dy + \int\limits_D f(x, y) dx dy \quad (11)$$

На грани AB выражения

$$u_x = u_0 \cos(\hat{o}, \vec{x}) + u_n \cos(\hat{n}, \vec{x})$$

$$u_y = u_0 \sin(\hat{o}, \vec{x}) + u_n \sin(\hat{n}, \vec{x})$$

установим. Формула (11) дает решение задачи (1)-(3) через данные грани.

Замечание. Из формулы (11) следует:

- 1) теорема единственности решения задачи (1)-(3),
- 2) теорема устойчивости решения задачи (1)-(3),
- 3) теорема существования решения задачи (1)-(3) (при выполнении условий непрерывности коэффициентов задачи).

Рассмотрим более общую задачу:

$$\left\{ \begin{array}{l} L[u] = u_{xy} + a(x,y)u_x + b(x,y)u_y + c(x,y)u = f(x,y) \\ \quad (x,y) \in D^+, \end{array} \right. \quad (12)$$

$$u(x,y) = g(x,y), \quad (x,y) \in C, \quad (13)$$

$$\frac{\partial u}{\partial n}(x,y) = \psi(x,y), \quad (x,y) \in C. \quad (14)$$

Определение. Для дифференциального оператора

L и K называются сопряженными, если равенство

$$v L[u] - u K[v]$$

выполняется для каждого первого частного производного по x и y от некомпактных выражений P и Q :

$$v L[u] - u K[v] = \frac{1}{2} \left(\frac{\partial Q}{\partial x} - \frac{\partial P}{\partial y} \right), \quad (15)$$

где вини P не содержит производной u_y , а Q не содержит производной u_x .

Сопряженный к оператору L биоген оператор K :

$$K[v] = v_{xy} - (av)_x - (bv)_y + cv \quad (16)$$

Две оператора L и K бионравимы (15) если

$$\mathcal{P}[u, v] = u v_x - u_x v - 2buv, \quad (17)$$

$$Q[u, v] = v u_y - v_y u + 2auv.$$

Формула Грина:

$$\begin{aligned} \int_D \{vL[u] - uK[v]\} dx dy &= \frac{1}{2} \int_D \left(\frac{\partial Q}{\partial x} - \frac{\partial \mathcal{P}}{\partial y} \right) dx dy = \\ &= \int_I \mathcal{P} dx + Q dy = \frac{1}{2} \int_M^A \mathcal{P} dx + \frac{1}{2} \int_{AB} \mathcal{P} dx + Q dy + \frac{1}{2} \int_B^M Q dy \end{aligned} \quad (18)$$

Интегрируем по частям:

$$\int_M^A \mathcal{P} dx = u(M)v(M) - u(A)v(A) + 2 \int_M^A \tilde{\mathcal{P}}[v] u dx, \quad (19)$$

$$\int_B^M Q dy = u(M)v(M) - u(B)v(B) - 2 \int_B^M \tilde{Q}[v] u dx,$$

т.е.

$$\begin{aligned} \tilde{\mathcal{P}}[v] &= v_x - bv, \\ \tilde{Q}[v] &= v_y - av. \end{aligned} \quad (20)$$

Рассмотрим задачу с данными на характеристиках (задачу Гурса):

$$\left\{ \begin{array}{l} K[v] = 0 \text{ в } D, \\ \tilde{P}[v] = 0 \text{ на } AM, \\ \tilde{Q}[v] = 0 \text{ на } MB, \\ v|_M = 1 \end{array} \right. \quad (21)$$

Можно показать, что решения задачи (21) всегда существует. Оно называется функцией Ранделла. Функция $v(M, M_1)$ удовлетворяет по координатам тории M_1 задаче (21) и зависит от тории M как от параметра.

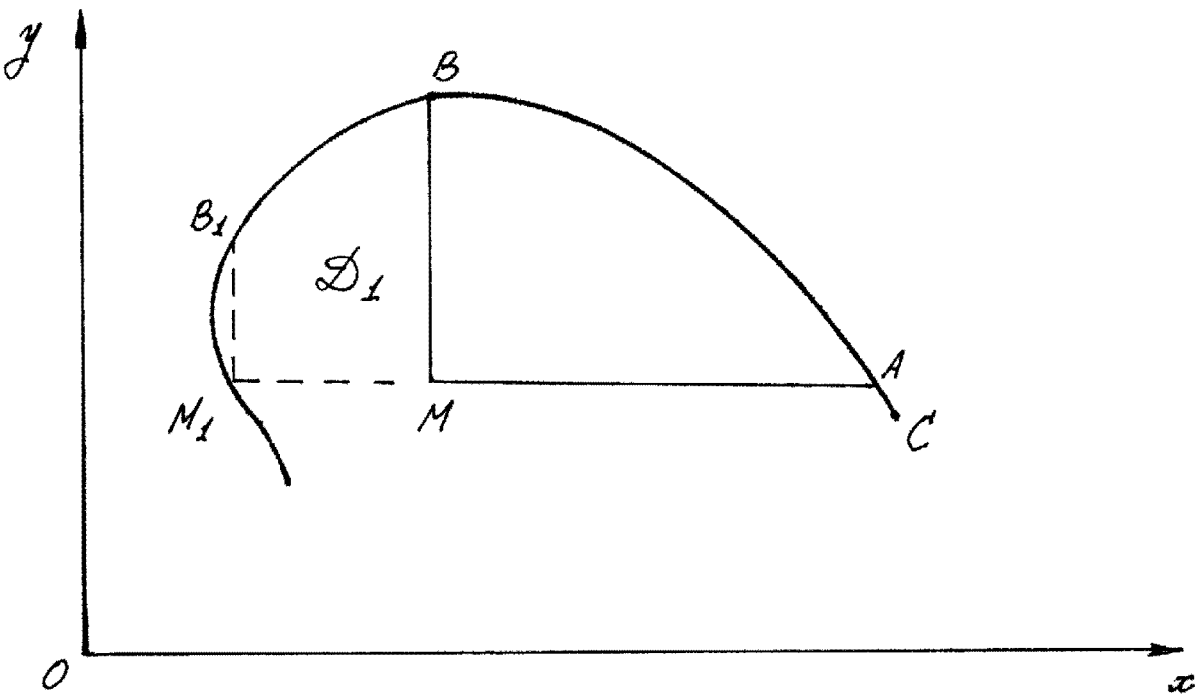
$$(18) - (21), (12) \Rightarrow$$

$$U(M) = \frac{(\mathcal{I}v)_A + (\mathcal{I}v)_B}{2} + \quad (22)$$

$$+ \int_D v(M, M_1) f(M_1) d\sigma_1 - \frac{1}{2} \int_{AB} P dx + Q dy$$

Интеграл по AB можно вычислить, поскольку функции v, \mathcal{I} и f непрерывны.

Замечание. Любые характеристики уравнения (18) должны пересекать кривую C не более одного раза.



Если характеристика первого приближения C в зоне точек A и M_1 , то значение $U(M_1)$ не может быть загарантировано, а определяется по формуле:

$$U(M_1) = \frac{U(A)v(A) + U(B_1)v(B_1)}{2} + \int_{D_1} v_f dx dy - \\ - \frac{1}{2} \int_A^{B_1} P dx + Q dy \quad (23)$$

С начальными значениями, заданными на зоне AB_1 и функцией $f(x,y)$, заданной в области D_1 , — приведенном первом приближении M_1B_1A .

2º Физический смысл функции Римана.

Рассмотрим задачу:

$$\left\{ \begin{array}{l} \Delta[u] = f, \\ u|_c = 0, \\ u_n|_c = 0. \end{array} \right.$$

(22) \Rightarrow

$$u(M) = \int_{\mathcal{D}} v(M, M') f(M') d\sigma_{M'} \quad (24)$$

Такое $f_\epsilon(M)$ - называемая функция ядра M_1 :

$f_\epsilon(M) = 0$, $M \notin S_{M_1}^\epsilon$, где $S_{M_1}^\epsilon$ - окрестность ядра M_1 .

Частное изображение:

$$\int_{S_{M_1}^\epsilon} f_\epsilon(M') d\sigma_{M'} = 1, \quad \forall \epsilon > 0 \quad (25)$$

(24) \Rightarrow

$$u_\epsilon(M) = \int_{S_{M_1}^\epsilon} v(M, M') f_\epsilon(M') d\sigma_{M'} =$$

$$(26)$$

$$= v(M, M^*) \int_{S_{M_1}^\epsilon} f_\epsilon(M') d\sigma_{M'} = v(M, M^*),$$

где $M^* \in S_{M_1}^\epsilon$.

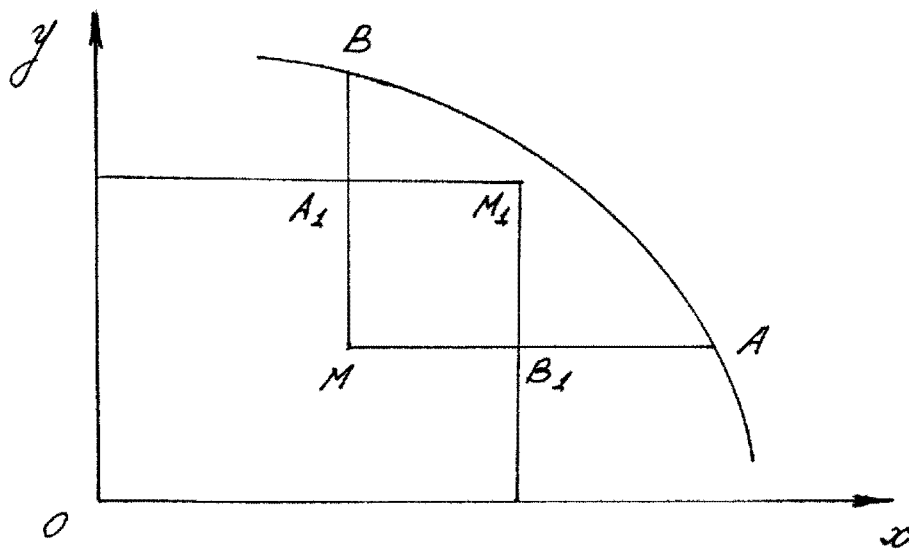
(26) \Rightarrow

$$U_0(M) = \lim_{\epsilon \rightarrow 0} U_\epsilon(M) = V(M, M_1) \Rightarrow$$

$V(M, M_1)$ - функция внешнего единичного импульса, примененного в точке M_1 .

Рассмотрим функцию $U = U(M, M_1)$, зависящую от точки M_1 как от параметра и удовлетворяющую по координатам точек M следующей задаче Бирса:

$$\left\{ \begin{array}{l} L[U] = 0, \\ U_x + BU = 0 \text{ на } M_1 A_1, \\ U_y + AU = 0 \text{ на } B_1 M_1, \\ U|_{M_1} = 1. \end{array} \right. \quad (27)$$



Задача (27) построена определяющей функции U в четырехугольнике $MB_1M_1A_1$, образованном отрезками харacterистик.

(18), (21), (27) \Rightarrow

$$\begin{aligned}
 & \int_{MB_1M_1A_1} (vL[u] - uK[v]) dx dy = \\
 &= \frac{1}{2} \int_{B_1}^{\bar{B}_2} P dx + \frac{1}{2} \int_{M_1}^M Q dy + \frac{1}{2} \int_{M_1}^{A_2} (uv_x - vu_x - 2\alpha uv) dx + \\
 &+ \frac{1}{2} \int_{B_1}^{\bar{B}_2} (vu_y - uv_y + 2\alpha uv) dy = \\
 &= (uv)_M - (uv)_{M_1} = 0.
 \end{aligned} \tag{28}$$

$$\text{Max } \max \quad v \Big|_M = 1, \quad u \Big|_{M_1} = 1, \quad \text{no}$$

$$u(M, M_1) = v(M, M_1) \tag{29}$$

3º Уравнения с постоянными коэффициентами.

1) Функция Римана для уравнения

$$U_{xy} + CU = 0.$$

Так как оператор $L[U] = U_{xy} + CU \equiv K[U]$ -
самоадъюнктивный, то (21) \Rightarrow

$$\left\{ \begin{array}{l} V_{xy} + CV = 0 \text{ в } D, \\ V_x = 0 \text{ на } M_0 A, \\ V_y = 0 \text{ на } B M_0, \\ V|_{M_0} = 1 \end{array} \right. \quad (30)$$

или

$$\left\{ \begin{array}{l} V_{xy} + CV = 0 \text{ в } D, \\ V = 1 \text{ на } M_0 A, \\ V = 1 \text{ на } B M_0 \end{array} \right. \quad (31)$$

Числ функции Римана в виде $V = V(Z)$, где
 $Z = \sqrt{(x - x_0)(y - y_0)}$, $M_0 = \{x_0, y_0\}$, $M = \{x, y\}$.

$$(31) \Rightarrow$$

$$V(0) = 1 \quad (32)$$

$$V_x = V' \frac{y - y_0}{2Z}, \quad V_{xy} = \frac{1}{4} V'' + \frac{1}{4Z} V' \Rightarrow$$

$$V'' + \frac{1}{Z} V' + 4CV = 0 \quad (33)$$

(32), (33) \Rightarrow

$$U(M, M_0) = U(x, y, x_0, y_0) = J_0(2\sqrt{c(x-x_0)(y-y_0)}) \quad (34)$$

a) Задача Коши для уравнения начальной.

Рассмотрим задачу:

$$\begin{cases} U_{tt} - U_{zz} + aU_t + bU_z + gU = 0, & -\infty < z < \infty, t > 0, \\ U|_{t=0} = \mathcal{G}(z), \quad U_t|_{t=0} = \Psi(z), & -\infty < z < \infty \end{cases} \quad (35)$$

Запись:

$$U = U e^{-\frac{a}{2}t + \frac{b}{2}z} \quad (36)$$

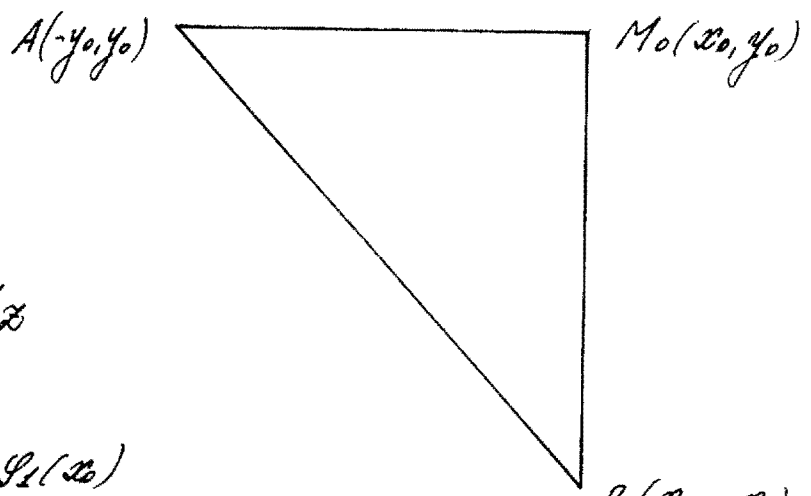
(35), (36) \Rightarrow

$$\begin{cases} U_{tt} - U_{zz} + cU = 0, & -\infty < z < \infty, t > 0, \\ U|_{t=0} = \mathcal{G}(z)e^{-\frac{b}{2}z} = \mathcal{G}_1(z), \\ U_t|_{t=0} = (\Psi(z) + \frac{a}{2}\mathcal{G}(z))e^{-\frac{b}{2}z} = \Psi_1(z), \\ c = -\frac{a^2}{4} + \frac{b^2}{4} + g. & -\infty < z < \infty \end{cases} \quad (37)$$

Переходим к переменным x и y :

$$x = t + z, \quad y = t - z \Rightarrow t = \frac{x+y}{2}, \quad z = \frac{x-y}{2} \quad (38)$$

$$\begin{cases} U_{xy} + \frac{c}{4}U = 0, \\ U|_{x+y=0} = \mathcal{G}_1\left(\frac{x-y}{2}\right), \\ (U_x + U_y)|_{x+y=0} = \Psi_1\left(\frac{x-y}{2}\right) \end{cases} \quad (39)$$



$$t=0 \Rightarrow y=-x$$

$$dx = dz, dy = -dz$$

$$(32) \Rightarrow U(x_0, y_0) = \frac{g_1(-y_0) + g_1(x_0)}{2} -$$

$$-\frac{1}{2} \int_{AB} (vU_y - Uv_y) dy + (Uv_x - U_x v) dx \quad (40)$$

$$U_x = \frac{1}{2} (U_t + U_z), \quad U_y = \frac{1}{2} (U_t - U_z) \quad (41)$$

$$(41), (40), (34) \Rightarrow$$

$$\begin{aligned} U(x_0, t_0) &= \frac{g_1(x_0 + t_0) + g_1(x_0 - t_0)}{2} + \\ &+ \frac{1}{2} \int_{x_0 - t_0}^{x_0 + t_0} \left\{ \psi_1(z) J_0(\sqrt{C} \sqrt{t_0^2 - (z - x_0)^2}) + \right. \\ &\quad \left. + \psi_1(z) \frac{J_1(\sqrt{C} \sqrt{t_0^2 - (z - x_0)^2})}{\sqrt{t_0^2 - (z - x_0)^2}} \sqrt{C} t_0 \right\} dz \end{aligned} \quad (42)$$

При $C=0$ из (42) получаем формулу Данаудерса:

$$U(x_0, t_0) = \frac{g_1(x_0 + t_0) + g_1(x_0 - t_0)}{2} + \frac{1}{2} \int_{x_0 - t_0}^{x_0 + t_0} \psi_1(z) dz \quad (43)$$

§3. Задача о промерзании (задача о фазовом переходе, задача Стефана).

Несколько разлагаая явно вспомогательное
исследование $x = \xi(t)$.

$$t \rightarrow t + \Delta t$$

$$\xi = x_1 \rightarrow \xi = x_2 = x_1 + \Delta \xi$$

Замыкают уравнение $\rho \Delta \xi$ (им расщепляются при $\Delta \xi < 0$), выражают количество тепла
 $\lambda \rho \Delta \xi$.

Пишут в виде:

$$\left[\kappa_1 \frac{\partial u_1}{\partial x} \Bigg|_{x_1} - \kappa_2 \frac{\partial u_2}{\partial x} \Bigg|_{x_2} \right] \Delta t = \lambda \rho \Delta \xi,$$

где κ_1 и κ_2 - коэффициенты теплопроводности первичной
и вторичной фазы, λ - коэффициент теплопроводности плавления.

При $\Delta t \rightarrow 0$ получим уравнение на границе
раздела:

$$\kappa_1 \frac{\partial u_1}{\partial x} \Bigg|_{x=\xi} - \kappa_2 \frac{\partial u_2}{\partial x} \Bigg|_{x=\xi} = \lambda \rho \frac{d \xi}{dt}$$

$\Delta \xi > 0$, $\frac{d \xi}{dt} > 0$ - замыкающие; $\Delta \xi < 0$, $\frac{d \xi}{dt} < 0$ - плавление.

Процесс замерзания тела - температура этого тела равна нулю.

$$t = 0 \quad T > 0$$

$$x = 0 \quad T_1 < 0$$

$x = \xi$ - граница промерзания

Задача о промерзании (задача Стедмана):

$$\left\{ \begin{array}{l} \frac{\partial u_1}{\partial t} = \alpha_1^2 \frac{\partial^2 u_1}{\partial x^2}, \quad 0 < x < \xi, \\ \frac{\partial u_2}{\partial t} = \alpha_2^2 \frac{\partial^2 u_2}{\partial x^2}, \quad \xi < x < \infty \end{array} \right. \quad (1)$$

$$\left\{ \begin{array}{l} u_1 = T_1, \quad x = 0, \\ u_2 = T, \quad t = 0 \end{array} \right. \quad (2)$$

$$u_1 = u_2 = 0, \quad x = \xi, \quad (3)$$

$$k_1 \frac{\partial u_1}{\partial x} \Bigg|_{x=\xi} - k_2 \frac{\partial u_2}{\partial x} \Bigg|_{x=\xi} = \lambda \rho \frac{ds}{dt}, \quad (4)$$

где k_1, α_1^2 и k_2, α_2^2 - коэффициенты теплоемкости тела и температуропроводности вблизи и за пределом замерзания.

Построение решения задачи (1)-(4).

Численные решения в виде:

$$u_1 = A_1 + B_1 \Phi\left(\frac{x}{2a_1\sqrt{t}}\right), \quad u_2 = A_2 + B_2 \Phi\left(\frac{x}{2a_2\sqrt{t}}\right),$$

где $\Phi(w) = \frac{1}{\sqrt{\pi}} \int_0^w e^{-z^2} dz$ - функция ошибок.

$$\text{Из (2), (3)} \Rightarrow A_1 = T_1, \quad A_2 + B_2 = T,$$

$$A_1 + B_1 \Phi\left(\frac{\xi}{2a_1\sqrt{t}}\right) = 0, \quad (5)$$

$$A_2 + B_2 \Phi\left(\frac{\xi}{2a_2\sqrt{t}}\right) = 0.$$

Чтобы (5) было выполнено при любом $t \Rightarrow$

$$\xi = \alpha \sqrt{t}, \quad (6)$$

где α - некоторое неотрицательное.

Очевидно получаем:

$$\left\{ \begin{array}{l} A_1 = T_1 \\ B_1 = -\frac{T_1}{\Phi\left(\frac{\alpha}{2a_1}\right)} \end{array} \right. \quad (7)$$

$$\left\{ \begin{array}{l} A_2 = -\frac{T \Phi\left(\frac{\alpha}{2a_2}\right)}{1 - \Phi\left(\frac{\alpha}{2a_2}\right)} \\ B_2 = -\frac{T}{1 - \Phi\left(\frac{\alpha}{2a_2}\right)} \end{array} \right.$$

Две определенные в у(4) \Rightarrow

$$\frac{\kappa_1 T_1 e^{-\frac{\alpha^2}{4a_1^2}}}{a_1 \Phi(\frac{\alpha}{2a_1})} + \frac{\kappa_2 T e^{-\frac{\alpha^2}{4a_2^2}}}{a_2 \{1 - \Phi(\frac{\alpha}{2a_2})\}} = -1 \rho \alpha \frac{\sqrt{\pi}}{2} \quad (8)$$

При $T=0$

$$\left\{ \begin{array}{l} A_2 = 0 \qquad \qquad B_2 = 0 \\ A_1 = T_1 \qquad B_1 = -\frac{T_1}{\Phi(\frac{\alpha}{2a_1})} \end{array} \right. \quad (9)$$

$$u \quad \frac{\kappa_1 T_1 e^{-\frac{\alpha^2}{4a_1^2}}}{a_1 \Phi(\frac{\alpha}{2a_1})} = -1 \rho \alpha \frac{\sqrt{\pi}}{2} \quad (10)$$

Помимо $\beta = \frac{\alpha}{2a_1}$, $D = \frac{1 \rho a_1^2}{\kappa_1 T_1} < 0$,

$$u(10) \Rightarrow \frac{1}{\sqrt{\pi}} \frac{e^{-\beta^2}}{\Phi(\beta)} = -D\beta$$

Метод подобия.

$$u_t = \alpha^2 u_{xx} \quad (11)$$

Уравнение (11) не изменяется при преобразовании переменных
 $x' = \kappa x, t' = \kappa^2 t \Rightarrow$ (12)

$$u(x, t) = u(\kappa x, \kappa^2 t) \quad (13)$$

Положим:

$$\kappa = \frac{1}{2\sqrt{t}} \Rightarrow u(x, t) = u\left(\frac{x}{2\sqrt{t}}, \frac{t}{4}\right) =$$

$$= f\left(\frac{x}{2\sqrt{t}}\right) = f(z), \quad (14)$$

$$y e \quad z = \frac{x}{2\sqrt{t}} \quad (15)$$

$$(14), (15) \Rightarrow$$

$$\frac{\partial^2 u}{\partial x^2} = \frac{1}{4t} \frac{d^2 f}{dz^2}, \quad \frac{\partial u}{\partial t} = -\frac{x}{4t^2} \frac{df}{dt} = -\frac{z}{2t} \frac{df}{dz} \quad (16)$$

$$(11), (16) \Rightarrow$$

$$\alpha^2 \frac{d^2 f}{dz^2} = -2z \frac{df}{dz} \quad (17)$$

$$(17) \Rightarrow$$

$$f(z) = A + B \int_0^z e^{-\frac{w^2}{\alpha^2}} dw = \quad (18)$$

$$= A + B \frac{z}{\sqrt{\pi}} \int_0^{\frac{z}{\alpha}} e^{-\xi^2} d\xi = A + B \Phi\left(\frac{z}{\alpha}\right)$$

$$\alpha^2 \frac{f''}{f'} = -2z \Rightarrow f' = \bar{B} e^{-\frac{z^2}{\alpha^2}}$$

Движение пульсовой волны описывается уравнением $\xi = \alpha \sqrt{t}$, где $f\left(\frac{\alpha}{2}\right) = 0$.

$$(1) \Rightarrow \begin{cases} \alpha_1 \frac{d^2 f_1}{dz^2} = -2z \frac{df_1}{dz}, & 0 < z < \frac{\alpha}{2}, \\ \alpha_2 \frac{d^2 f_2}{dz^2} = -2z \frac{df_2}{dz}, & \frac{\alpha}{2} < z < \infty \end{cases} \quad (19)$$

$$(2) \Rightarrow f_1(0) = T_1, \quad f_2(\infty) = T \quad (20)$$

$$(3) \Rightarrow f_1\left(\frac{\alpha}{2}\right) = f_2\left(\frac{\alpha}{2}\right) = 0 \quad (21)$$

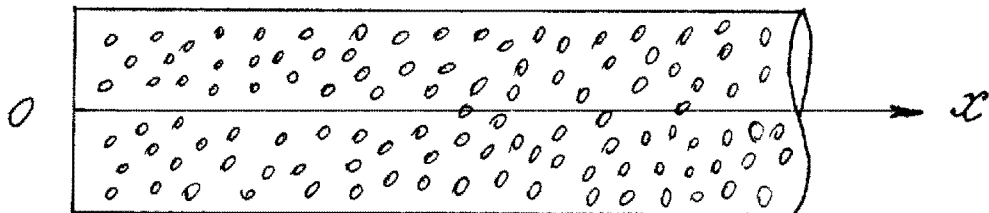
$$(4) \Rightarrow \kappa_1 f'_1\left(\frac{\alpha}{2}\right) - \kappa_2 f'_2\left(\frac{\alpha}{2}\right) = \lambda \rho \alpha \quad (22)$$

Некие параметры в лаге

$$f(z) = \begin{cases} f_1(z) = A_1 + B_1 \Phi\left(\frac{z}{\alpha_1}\right), & 0 < z < \frac{\alpha}{2} \\ f_2(z) = A_2 + B_2 \Phi\left(\frac{z}{\alpha_2}\right), & \frac{\alpha}{2} < z < \infty \end{cases} \quad (23)$$

Из условий (20) (23) получаем формулы (7), (8).

§4. Динамика сорбции газа.



$a(x, t)$ - концентрация газа, полученной единичной обёма сорбента,

$u(x, t)$ - концентрация газа, находящегося в корах сорбента в симе x , v - скорость газа.

Уравнение баланса вещества для сим сорбента от x_1 до x_2 в течение промежутка времени от t_1 до t_2 :

$$\{ \partial u \Big|_{x_1} - \partial u \Big|_{x_2} \} S \Delta t = \{ (a + u) \Big|_{t_2} - (a + u) \Big|_{t_1} \} S \Delta x \quad (1)$$

$$\Delta x \rightarrow 0, \Delta t \rightarrow 0 \Rightarrow$$

$$-\partial \frac{\partial u}{\partial x} = \frac{\partial u}{\partial t} (a + u) \quad (2)$$

Уравнение кинетики сорбции:

$$\frac{\partial a}{\partial t} = \beta (u - y), \quad (3)$$

где β - кинетический коэффициент, y - концентрация газа, находящегося в равновесии с сорбированным концентрированным газом.

Численка сорбции:

$$a = f(y). \quad (4)$$

Численка Леннига:

$$f(y) = \frac{y u_0}{\gamma(u_0 + \rho y)} \quad (5)$$

Численка Генри (праведима в області
малих концентрацій):

$$a = \frac{1}{\mu} y, \quad (6)$$

де $\frac{1}{\mu}$ - коффицієнт Генри.

В зв'язку з цим приходи к задаче:

$$\left. \begin{aligned} \rightarrow \frac{\partial u}{\partial x} &= \frac{\partial u}{\partial t} + \frac{\partial a}{\partial t} \\ \frac{\partial a}{\partial t} &= \beta(u - ya) \end{aligned} \right\} \quad (7)$$

$$(8)$$

$$a(x, 0) = 0, \quad (9)$$

$$u(x, 0) = 0, \quad (10)$$

$$u(0, t) = u_0, \quad (11)$$

де u_0 - концентрація газа на барі.

$\frac{\partial u}{\partial t}$ - расход газа на поглощение свободной концентрации в порах сорбента,

$\frac{\partial a}{\partial t}$ - расход газа на увличение сорбированного количества газа.

Преобразование производной $\frac{\partial u}{\partial t}$:

$$\left. \begin{aligned} & \rightarrow \frac{\partial u}{\partial x} = \frac{\partial a}{\partial t} \\ & \frac{\partial a}{\partial t} = \beta(u - ya) \end{aligned} \right\} \quad (12)$$

$$\frac{\partial a}{\partial t} = \beta(u - ya) \quad (13)$$

$$a(x, 0) = 0, \quad (14)$$

$$u(0, t) = u_0. \quad (15)$$

$$(12), (13) \Rightarrow \rightarrow u_{xt} = \beta u_t - \beta \gamma a_t = \beta u_t + \beta \gamma u_x \Rightarrow$$

$$u_{xt} + \frac{\beta}{\gamma} u_t + \beta \gamma u_x = 0 \quad (16)$$

$$(12), (13) \Rightarrow \rightarrow u_x(x, 0) = \beta u(x, 0), u(0, 0) = u_0 \Rightarrow$$

$$u(x, 0) = u_0 \cdot e^{-\frac{\beta}{\gamma} x} \quad (17)$$

Для нахождения функции $u(x, t)$ получаем из уравнений (16), (17), (15).

$$\left\{ \begin{array}{l} u_{xt} + \frac{\beta}{\gamma} u_t + \beta f u_x = 0 \\ u(x, 0) = u_0 e^{-\frac{\beta}{\gamma} x} \\ u(0, t) = u_0 \end{array} \right. \quad (16)$$

Так как характеристики уравнения (16) являются прямыми $x = \text{const}$, $t = \text{const}$, то дополнительные условия (17), (15) предопределяют значение исходной функции $u(x, t)$ на характеристиках.

Аналогично отыскивается выражение для функции $a(x, t)$:

$$\left\{ \begin{array}{l} a_{xt} + \frac{\beta}{\gamma} a_t + \beta f a_x = 0 \\ a(x, 0) = 0 \\ a(0, t) = \frac{u_0}{f} (1 - e^{-\beta f t}) \end{array} \right. \quad (18)$$

Решение уравнения (18) имеет вид:

$$u(x_1, t_1) = u_0 e^{-x_1} \left\{ e^{-t_1} I_0(2\sqrt{x_1 t_1}) + \right. \\ \left. + \frac{1}{x_1} \int_0^{x_1 t_1} e^{-\frac{\tau}{x_1}} I_0(2\sqrt{\tau}) d\tau \right\}, \quad (20)$$

где $x_1 = \frac{\beta x}{\gamma}$, $t_1 = \frac{\beta t}{f}$, I_0 - функция Бесселя.

Выполнение условий (17) и (15) можно проверить.

§5. Простейшие задачи для уравнения Шредингера.

1. Уравнение Шредингера.

$$i\hbar \frac{\partial \Psi}{\partial t} = -\frac{\hbar^2}{2m} \Delta \Psi + U(x, y, z, t) \Psi \quad (1)$$

$\hbar = 1,05 \cdot 10^{-37}$ эр.с - постоянная Планка,

m - масса частицы,

U - потенциальная энергия частицы в единицах нэв,

$\Psi = \Psi(x, y, z, t)$ - волновая функция.

Если $U = U(x, y, z)$, то возможное значение энергии совпадает с заданным значением энергии, и это будет решением уравнения

$$\Psi = \Psi^0(x, y, z) e^{-i\frac{E}{\hbar}t}, \quad (2)$$

где E - общая энергия частицы. Подставив (2) в (1) получаем уравнение Шредингера, в котором E играет роль собственного значения

$$\Delta \Psi^0 + \frac{2m}{\hbar^2} (E - U) \Psi^0 = 0. \quad (3)$$

В дальнейшем будем писать Ψ .

В случае отсутствия внешних полей ($U=0$)

$$\Delta \Psi + \frac{2mE}{\hbar^2} \Psi = 0 \quad (4)$$

Число нормировано.

$$\int |\Psi|^2 dx dy dz = 1 \quad (5)$$

2. Гармонический осциллятор.

Уравнение Шредингера для гармонического осциллятора:

$$\frac{\hbar^2}{2\mu} \frac{d^2\psi}{dx^2} + (E - U)\psi = 0, \quad (6)$$

где $U = \frac{\mu w_0^2}{2}x^2$, w_0 - собственная частота (циклический) осциллятора.

Задача: определить стационарные состояния, т.е. определить собственные значения энергии E и соответствующие колебательные функции ψ из уравнения

$$\psi'' + \frac{k\mu}{\hbar^2} (E - \frac{\mu w_0^2}{2}x^2)\psi = 0, \quad (7)$$

$-\infty < x < \infty$

при дополнительном условии нормирован

$$\int_{-\infty}^{+\infty} |\psi|^2 dx = 1. \quad (8)$$

Обозначения:

$$\lambda = \frac{2E}{\hbar w_0}, \quad x_0 = \sqrt{\frac{\hbar}{\mu w_0}}, \quad \xi = \frac{x}{x_0} \Rightarrow \quad (9)$$

$$\frac{d^2\psi}{d\xi^2} + (\lambda - \xi^2)\psi = 0 \quad (10)$$

$$\int_{-\infty}^{+\infty} |\psi|^2 d\xi = \frac{1}{x_0} \quad (11)$$

Замена: $\psi(\xi) = y(\xi) e^{-\frac{\xi^2}{2}} \Rightarrow$

$$\frac{d}{d\xi} \left(e^{-\xi^2} \frac{dy}{d\xi} \right) + \tilde{\lambda} e^{-\xi^2} y = 0, \quad (12)$$

где $\tilde{\lambda} = \lambda - 1$.

$$y(\xi) = H_n(\xi), \quad \tilde{\lambda} = 2n \Rightarrow \lambda = 2n + 1$$

$$\psi_n(\xi) = C_n H_n(\xi) e^{-\frac{\xi^2}{2}}$$

$$\|H_n\|^2 = \int_{-\infty}^{+\infty} e^{-\xi^2} H_n^2(\xi) d\xi = 2^n n! \sqrt{\pi}$$

$$(11) \Rightarrow \frac{1}{x_0} = C_n^2 \int_{-\infty}^{\infty} e^{-\xi^2} H_n(\xi) d\xi = C_n^2 2^n n! \sqrt{\pi} \Rightarrow$$

$$C_n = \frac{1}{\sqrt{x_0}} \cdot \frac{1}{\sqrt{2^n n! \sqrt{\pi}}} \Rightarrow$$

$$\psi_n(\xi) = \frac{1}{\sqrt{x_0}} \cdot \frac{e^{-\frac{\xi^2}{2}} H_n(\xi)}{\sqrt{2^n n! \sqrt{\pi}}}$$

$$\lambda_n = 2n + 1, \quad n = 0, 1, 2, \dots$$

n - главное квантовое число

$$\Psi_n(x) = \frac{1}{\sqrt{x_0}} \frac{e^{-\frac{t}{2} \left(\frac{x}{x_0}\right)^2} H_n \left(\frac{x}{x_0}\right)}{\sqrt{2^n n!} \sqrt{\pi}} \quad (13)$$

$$E_n = \hbar \omega_0 \left(n + \frac{1}{2}\right), \quad n=0,1,2,\dots \quad (14)$$

$$E_0 = \frac{1}{2} \hbar \omega_0$$

3°. Романов.

Уравнение Шредингера для романова:

$$\Delta \psi + \frac{2\mu}{\hbar^2} E \psi = 0$$

$$\frac{\partial \psi}{\partial x} = 0 \Rightarrow$$

$$\frac{1}{x^2 \sin \theta} \frac{\partial}{\partial \theta} \left(\sin \theta \frac{\partial \psi}{\partial \theta} \right) + \frac{1}{x^2 \sin^2 \theta} \frac{\partial^2 \psi}{\partial \varphi^2} + \frac{2\mu}{\hbar^2} E \psi = 0 \quad (15)$$

$$\Delta_{\theta, \varphi} \psi + \lambda \psi = 0 \quad (16)$$

$$\lambda = \frac{2I}{\hbar^2} E, \quad (17)$$

где $I = \mu x^2$ - момент инерции.

$$\begin{cases} \Delta_{\theta, \varphi} \psi + \lambda \psi = 0 \\ |\psi(0)| < \infty, |\psi(x)| < \infty \end{cases} \quad (18)$$

Численные нормированные:

$$\int_0^{\pi} \int_0^{2\pi} |\psi|^2 \sin \theta \, d\theta \, d\varphi = 1 \quad (18)$$

Получение выражения (18), (19):

$$\Psi_{em}(\theta, \varphi) = \sqrt{\frac{(2\ell+1)(\ell-m)!}{2E_m \pi (\ell+m)!}} \cdot Y_e^{(m)}(\theta, \varphi), \quad (20)$$

$$E_m = \begin{cases} 2, & m=0, \\ 1, & m \neq 0, \end{cases}$$

$$Y_e^{(m)}(\theta, \varphi) = P_e^{(m)}(\cos \theta) \begin{cases} \cos m\varphi, \\ \sin m\varphi, \end{cases} \quad (21)$$

$$(m = 0, 1, \dots, \ell; \ell = 0, 1, 2, \dots)$$

$$\lambda_\ell = \ell(\ell+1), \quad (22)$$

$$(\ell = 0, 1, 2, \dots)$$

(17), (22) \Rightarrow

$$E_{\ell,m} = \ell(\ell+1) \frac{\hbar^2}{2I} \quad (23)$$

$$(\ell = 0, 1, 2, \dots)$$

4. Движение электрона в кулоновом поле.

В атоме близкого к ядру электрон находится в кулоновом электромагнитном поле ядра (ядроне).

Потенциальная энергия $U(x, y, z)$ равна:

$$U = -\frac{e^2}{r}, \quad (24)$$

где r - расстояние от электрона до ядра, $-e$ - заряд электрона, $+e$ - заряд ядра.

Уравнение Шредингера:

$$\Delta \psi + \frac{2\mu}{\hbar^2} \left(E + \frac{e^2}{r} \right) \psi = 0, \quad (25)$$

условие нормировки

$$\int_{-\infty}^{+\infty} |\psi(x, y, z)|^2 dx dy dz = 1 \quad (26)$$

В begin сферической системе координат с началом в ядре:

$$\frac{1}{r^2} \frac{\partial}{\partial r} \left(r^2 \frac{\partial \psi}{\partial r} \right) + \frac{1}{r^2} \Delta_{\theta, \varphi} \psi + \frac{2\mu}{\hbar^2} \left(E + \frac{e^2}{r} \right) \psi = 0 \quad (27)$$

Ищем решение в виде:

$$\psi(r, \theta, \varphi) = \chi(r) Y_e^{(m)}(\theta, \varphi) \quad (28)$$

$$\frac{d^2\chi}{dr^2} + \frac{2}{r} \frac{d\chi}{dr} + \left\{ \frac{2\mu}{\hbar^2} \left(E + \frac{e^2}{r} \right) - \frac{\ell(\ell+1)}{r^2} \right\} \chi = 0 \quad (29)$$

В begin b nacomke egnosti jensia bennuy

$$\alpha = \frac{\hbar^2}{\mu e^2}, \text{ b nacomke egnosti ostepni - bennuy } E_0 = \frac{\mu e^4}{\hbar^2} = \frac{e^2}{\alpha}.$$

Показав

$$\rho = \frac{r}{\alpha}, \quad \epsilon = -\frac{E}{E_0}, \quad (\epsilon < 0), \quad (30)$$

nepenimmen (29) b luge:

$$\frac{d^2\chi}{d\rho^2} + \frac{2}{\rho} \frac{d\chi}{d\rho} + (2\epsilon + \frac{2}{\rho} - \frac{\ell(\ell+1)}{\rho^2}) \chi = 0 \quad (31)$$

Показав б ka

$$\chi = \frac{1}{\sqrt{\rho}} y \quad (32)$$

$$(31), (32) \Rightarrow$$

$$\frac{d^2y}{d\rho^2} + \frac{1}{\rho} \frac{dy}{d\rho} + \left(2\epsilon + \frac{2}{\rho} - \frac{\rho^2}{4} \right) y = 0, \quad (33)$$

$$S = 2\ell + 1.$$

Погрешность:

$$x = \rho \sqrt{-86} \quad (34)$$

(33), (34) \Rightarrow

$$xy'' + y' - \left(\frac{x}{4} + \frac{s^2}{4x} \right)y + \lambda y = 0, \quad (35)$$

$$\frac{d}{dx} \left(x \frac{dy}{dx} \right) - \left(\frac{x}{4} + \frac{s^2}{4x} \right)y + \lambda y = 0, \quad (36)$$

$$\lambda = \frac{1}{\sqrt{-28}} \quad (37)$$

Приложение

$$y(x) = x^{\frac{s}{2}} e^{-\frac{x}{2}} u(x) \quad (38)$$

(36), (38) \Rightarrow

$$xu'' + (s+1-x)u' + \left(1 - \frac{s+1}{2}\right)u = 0 \quad (39)$$

Решение (39) на $x^s e^{-x}$ и обозначим

$$\tilde{\lambda} = \lambda - \frac{s+1}{2}.$$

(39) \Rightarrow

$$\frac{d}{dx} \left\{ x^{s+1} e^{-x} \frac{du}{dx} \right\} + \tilde{\lambda} x^s e^{-x} u = 0, \quad (40)$$

$0 < x < \infty$

$$\tilde{\lambda} = n_2, \quad u(x) = L_{n_2}^s(x),$$

$$L_n^s(x) = \frac{1}{n!} x^{-s} e^{-x} \frac{d^n}{dx^n} (x^{n+s} e^{-x}), \quad (41)$$

$$\lambda = n_z + \frac{s+1}{2}, \quad s = 2\ell + 1 \Rightarrow$$

$$\lambda = n_z + \ell + 1 = n \quad (42)$$

(n = 1, 2, ...)

$$Y_{n_z}(x) = x^{\frac{s}{2}} e^{-\frac{x}{2}} L_{n_z}^s(x) \quad (43)$$

n -квантовое квантовое число, n_z -радиальное квантовое число, ℓ -орбитальное квантовое число.

$$(30), (34), (42) \Rightarrow$$

$$E_n = -\frac{\mu e^4}{2\hbar^2 n^2} \quad (44)$$

Квантованые значения энергии E_n зависят только от главного квантового числа n .

Получим E равные значения квантума:

$$E = -\hbar\omega = -\hbar\nu, \quad \text{где } \nu = \frac{\omega}{2\pi}. \quad \text{Тогда}$$

$$\nu = \frac{\mu e^4}{2\hbar^2 n^2 \hbar} = \frac{\rho}{n^2}, \quad (45)$$

$$\text{где } \rho = \frac{\mu e^4}{2\hbar^2 \hbar} = \frac{\mu e^4}{4\pi \hbar^3} - \text{постоянная}$$

Резюме.

$$E_n \rightarrow E_{n_1}$$

Частота излучаемого излучения $\nu_{n n_1}$:

$$\nu_{n n_1} = R \left(\frac{1}{n_1^2} - \frac{1}{n^2} \right) \quad (46)$$

Серия Лаймана ($n_1 = 1, n = 2, 3, \dots$)

$$\nu_{n 1} = R \left(1 - \frac{1}{n^2} \right),$$

сериа Бальмера ($n_1 = 2, n = 3, 4, \dots$)

$$\nu_{n 2} = R \left(\frac{1}{2^2} - \frac{1}{n^2} \right),$$

серия Пашена ($n_1 = 3, n = 4, 5, \dots$)

$$\nu_{n 3} = R \left(\frac{1}{3^2} - \frac{1}{n^2} \right)$$

Понятие о генерации функции логарифмов атома:

$$(43), (34), (32), (37), (42) \Rightarrow$$

$$\chi_{n l}(\rho) = A_n \left(\frac{2\rho}{n} \right)^l e^{-\frac{\rho}{n}} L_{n-l-1}^{2l+1} \left(\frac{2\rho}{n} \right). \quad (47)$$

A_n определяется из условия нормирован

$$\int_0^\infty \rho^l \chi_{n l}^2(\rho) d\rho = 1. \quad (48)$$

(47), (48) \Rightarrow

$$\chi_{n\ell}(\rho) = \left(\frac{2}{n}\right)^{\frac{n}{2}} \sqrt{\frac{(n-\ell-1)!}{2n \cdot (n+\ell)!}} \left(\frac{2\rho}{n}\right)^\ell e^{-\frac{\rho}{n}} J_{n-\ell-1}^{2\ell+1} \left(\frac{2\rho}{n}\right) \quad (49)$$

(28), (49) \Rightarrow

$$\psi_{n\ell m} = \sqrt{\frac{(2\ell+1)(\ell-m)!}{2\epsilon_m \pi (\ell+m)!}} Y_\ell^{(m)}(\theta, \phi) \chi_{n\ell}(\rho) \quad (50)$$

$m = 0, \pm 1, \pm 2, \dots, \pm \ell$ - значение квантового числа.

При как $n_r \geq 0$ ($n_r = 0, 1, 2, \dots$) и $n = n_r + \ell + 1$,
то $\ell \leq n-1$, ($\ell = 0, 1, \dots, n-1$) и каждому значению
 ℓ соответствует $2\ell+1$ значений m . Заданному
значению энергии E_n (заданному значению n)
соответствует

$$\sum_{\ell=0}^{n-1} (2\ell+1) = 1 + 3 + 5 + \dots + (2n-1) = n^2$$

различные собственные функции. Каждой уровню
энергии имеет выражение кратно n^2 .

Дискретный спектр отвечают собственным собственным
значениям энергии E_n состоят из бесконечного множества
чисел, в которых различия в чисто.

Кроме отвечающего дискретного спектра
указанных также непрерывный спектр полиномиальных
собственных значений. В этом состоянии электрон
здесь не связан с атомом, но все еще находится в нем
(ненормированный атом борова).

5° Численное понимание Эрмита.

Математика. Всакая функция $f(x)$ непрерывная и вещественно-непрерывущая с беск. $\rho(x) = e^{-x^2}$ на всей бесконечной прямой R^1 , ортогональная с беск. $\rho(x) = e^{-x^2}$ всем полиномам Эрмита на R^1 может быть выразена чисто.

$$\text{Доказательство. } \int_{-\infty}^{+\infty} H_n(x) f(x) e^{-x^2} dx = 0, n=0, 1, \dots \quad (51)$$

$$F(x) = f(x) e^{-\frac{x^2}{2}}, \rho(x) = 1 \Rightarrow F(x) = f(x) e^{-\frac{x^2}{2}}, \rho(x) = 1, x \in R^1 \Rightarrow \tilde{F}(w) = \int_{-\infty}^{+\infty} F(x) e^{-ixw} dx = \int_{-\infty}^{+\infty} f(x) e^{-x^2 - iwx} dx$$

$\tilde{F}(w)$ - аналитична в полосе $\Pi_M \equiv \{|Im w| \leq M\}$, $\forall M > 0 \Rightarrow$

$$\tilde{F}^{(k)}(w) = (-i)^k \int_{-\infty}^{+\infty} x^k f(x) e^{-x^2 - iwx} dx, k=0, 1, 2, \dots \quad (52)$$

$$\text{В круге } K_0^R \in \Pi_M : \tilde{F}(w) = \sum_{k=0}^{\infty} \frac{\tilde{F}^{(k)}(0)}{k!} w^k \quad (53)$$

$$(51), (52) \Rightarrow \tilde{F}^{(k)}(0) = (-i)^k \int_{-\infty}^{+\infty} x^k f(x) e^{-x^2} dx = \\ = (-i)^k \int_{-\infty}^{+\infty} \left\{ \sum_{n=0}^k C_n H_n(x) \right\} f(x) e^{-x^2} dx = \\ = (-i)^k \sum_{n=0}^k C_n \int_{-\infty}^{+\infty} H_n(x) f(x) e^{-x^2} dx = 0 \quad (54)$$

$$(53), (54) \Rightarrow \tilde{F}(w) = 0, x \in K_0^R \Rightarrow \tilde{F}(w) = 0, x \in \Pi_M \quad (55)$$

$$(55) \Rightarrow F(x) = \frac{1}{2\pi} \int_{-\infty}^{+\infty} \tilde{F}(w) e^{iwx} dw \equiv 0 \Rightarrow f(x) = F(x) e^{-x^2} \equiv 0.$$

Уг. доказательной теоремы и ортогональности полиномов Эрмита применят

Следствие. Система полиномов Эрмита является все сопоставимые функции краевой задачи на собственное значение для уравнения (10).

Гл. III. Математическое моделирование начальной
стадии в и процессов.

§1. Математические модели процессов нелинейной теплопроводности и горения.

1. Краевые задачи для квазилинейного уравнения теплопроводности.

Рассмотрим квазилинейное уравнение
теплопроводности:

$$C\varphi \frac{\partial u}{\partial t} = \frac{\partial}{\partial x} \left(\kappa(u) \frac{\partial u}{\partial x} \right) \quad (1)$$

Парabolicкое уравнение (1) с коэффициен-
тами $\kappa(u)$, удовлетворяющим условию $\kappa(0)=0$,
находится виртуозно.

Абсолютно никакими решениями уравнения (1)
мы будем пользоваться такие его частные решения
специального вида, которые могут быть получены
путем аппроксимации некоторыми обобщенными
дифференциальными уравнениями, ортогональных исключая
функций которых приводят собой константы
независимых переменных x и t .

Найдём абсолютное решение уравнения
(1) удовлетворяющее условиям

$$u(0,t) = u_1, \quad u(x,0) = u_2 \quad (2)$$

$$\text{Пусть } \xi = \frac{x}{2\sqrt{t}}, \quad u(x,t) = \Theta\left(\frac{x}{2\sqrt{t}}\right) = \Theta(\xi) \quad (3)$$

Тогда:

$$\left\{ (\kappa(\Theta)\Theta')' = -2C\varphi\Theta', \quad \xi > 0, \right. \quad (4)$$

$$\left. \Theta(0) = u_1, \quad \Theta(\infty) = u_2 \right. \quad (5)$$

Задача (4), (5) имеет единственное решение,
которое в общем случае находится численно.

Рассмотрим автомодальное решение уравнения (1) типа бегущей волны:

$$\xi = x - Dt, \quad u(x,t) = \Theta(x - Dt) = \Theta(\xi) \quad (6)$$

$$(1), (6) \Rightarrow (\kappa(\theta)\theta')' = -D\zeta\rho\theta', \quad -\infty < \xi < \infty \quad (7)$$

Ищем автомодальное решение (6), обладающее непрерывным „температурным потоком“

$$\kappa(\theta)\theta' \Rightarrow W(x,t) = -\kappa(u(x,t)) \frac{\partial u(x,t)}{\partial x} \quad (8)$$

Пусть бегущая волна имеет движение по гиперболу температур:

$$\Theta(\xi) \rightarrow 0, \quad \xi \rightarrow \infty; \quad \kappa(\theta)\theta' \rightarrow 0, \quad \xi \rightarrow \infty \quad (9)$$

$$(6), (8) \Rightarrow \frac{\kappa(\theta)}{\theta} \frac{d\theta}{d\xi} = -D\zeta\rho \quad (10)$$

Пусть $\kappa(u) = \kappa_0 u^\sigma$, $\kappa_0 > 0$, $\sigma > 0$ (при $\sigma = \frac{D}{\lambda}$ – квадратичное электронное теплоотводство в полносостоинствованной модели).

$$\Theta(\xi) = \begin{cases} \left[\frac{\sigma D \zeta \rho}{\kappa_0} (-\xi) \right]^{\frac{1}{\sigma}} & \text{при } \xi \leq 0, \\ 0 & \text{при } \xi > 0, \end{cases} \quad (11)$$

$$(6), (11) \Rightarrow$$

$$u(x,t) = \begin{cases} u_0 t^{\frac{1}{\sigma}} \left(1 - \frac{x}{Dt}\right)^{\frac{1}{\sigma}} & \text{при } 0 \leq x \leq Dt, \\ 0 & \text{при } x > Dt, \end{cases} \quad (12)$$

т.е.

$$u_0 = \left(\frac{\sigma D^{\frac{1}{\sigma}} \zeta \rho}{\kappa_0} \right)^{\frac{1}{\sigma}}.$$

Функция (12) - обобщенное решение квазилинейного
виреодавающего параболического уравнения:

- 1) функция (12) финитна по x в любой конечной момент времени: существует постоянная $A > 0$ такая, что $U(x, t) = 0$ при $x \geq A$;
- 2) функция (12) не имеет виду непрерывных производных, входящих в уравнение (1): при $\sigma = 1$ они имеют разрыв 1-го рода, при $\sigma = 2$ - разрыв второго рода на прямой $x = Dt$.

Замечание. Периодический поток

$$W(x, t) = \begin{cases} \frac{\kappa_0 U_0}{\sigma D} t^{\frac{\sigma+1}{\sigma}} \left(1 - \frac{x}{Dt}\right)^{\frac{1}{\sigma}} & \text{при } 0 \leq x \leq Dt, \\ 0 & \text{при } x > Dt \end{cases} \quad (13)$$

является непрерывной функцией: $W(Dt - 0, t) = W(Dt + 0, t) = 0$.

Отличительной особенностью виреодавающих
уравнений (1) является то, что они могут описывать
процессы с конечной скоростью распространения возму-
щений.

Решение квад (3) и (6) - единственны такие
непрерывные неподвижные решения, которые
допускает уравнение (1) при произвольных коэффи-
циентах $K(U)$. Но эти такие автомодельные реше-
ния появляются только при специальном виде
функции $K(U)$. Рассмотрим задачу:

$$\left\{ \begin{array}{l} \frac{\partial U}{\partial t} = \frac{\partial}{\partial x} \left(\kappa_0 U^\sigma \frac{\partial U}{\partial x} \right), \quad x > 0, t > 0 \\ U(x, 0) = 0, \quad x \geq 0, \end{array} \right. \quad (14)$$

$$\left\{ \begin{array}{l} U(x, 0) = 0, \quad x \geq 0, \\ U(0, t) = U_0 t^m, \quad t \geq 0, m > 0. \end{array} \right. \quad (15)$$

$$(16)$$

Автомодельное решение:

$$\xi = \frac{x}{k_0^{4/2} u_0^{5/2} t^{(1+m\sigma)/2}}, \quad u(x,t) = u_0 t^m \Theta(\xi) \quad (17)$$

$$\left\{ \begin{array}{l} (\theta''\theta')' + \frac{1}{2}(1+m\sigma)\xi\theta' - m\theta = 0, \quad \xi > 0, \\ \theta(0) = 1; \quad \theta(\infty) = 0 \end{array} \right. \quad (18)$$

Непрерывность температуры потока $\theta''\theta'$.

При $m = \frac{1}{2}$ решение (17) совпадает с биенийской формой (11). При $m \neq \frac{1}{2}$ задача (18), (19) решается численно.

Можно показать, что при любых $m > 0$ существует такое $\xi_0(m, \sigma) > 0$, что $\theta(\xi) = 0$ при $\xi > \xi_0$ и $\theta(\xi) > 0$ при $0 \leq \xi \leq \xi_0$. Решение (17)-таким образом, функция, движущаяся по небогатому теплу температур. Фронт волны $x_\phi(t)$:

$$x_\phi(t) = \xi_0 k_0^{4/2} u_0^{5/2} t^{(1+m\sigma)/2} \quad (20)$$

ускоряет своё движение и при $t \rightarrow \infty$ нараставит до бесконечно больших температур без конечной скорости.

Решение (17) асимптотически устойчиво при $t \rightarrow +\infty$ относительно малых изменения начальных значений и малых отклонений $K(u)$ от отвечающей зависимости.

При ненасыщенных изменениях условий (15), (16) основное значение первоначального процесса нараста, который даёт пространственно-временную структуру автомодельного решения (17), сохраняющуюся.

2. Решение с обобщением.

Решения с обобщением называются такими, для которых уменьшение некоторой величины, которой обобщается ее неоднозначное выражение в течение некоторого времени.

Задача Коши для однородного неодниничного уравнения первого порядка

$$\begin{cases} u_t = \kappa_0 (u^{\alpha} u_x)_x + f_0 u^{\beta}, & -\infty < x < \infty, 0 < t \leq T \\ u(x, 0) = u_0(x), & -\infty < x < \infty, \end{cases} \quad (1)$$

$\kappa_0 > 0, f_0 > 0, \beta > 1, \kappa(u) = \kappa_0 u^{\alpha}$ — коэффициент первого порядка. Сверхлинейное горение: $\beta > 1$.

Преобразование переменных

$$t \rightarrow \frac{t}{f_0}, \quad x \rightarrow x \sqrt{\frac{\kappa_0}{f_0}} \quad (3)$$

$$(1), (3) \Rightarrow$$

$$u_t = (u^{\alpha} u_x)_x + u^{\beta} \quad (4)$$

Свойства решений уравнения (4) существенно различаются в случаях $\beta = 3, \beta < 3, \beta > 3$.

Частный случай уравнения (4):

$$u_t = (u^{\alpha} u_x)_x \quad (5)$$

Получим такое автомодельное решение уравнения (5).

Численное решение в форме

$$u(x, t) = \frac{1}{t^{1/4}} \theta(\xi), \quad (6)$$

$$\text{где } \xi = \frac{x^2}{\sqrt{t}}.$$

$$(5), (6) \Rightarrow$$

$$2\theta''(\xi)\theta'(\xi) + \frac{1}{4}\theta(\xi) = \psi(\xi),$$

$$2\xi\psi'(\xi) + \psi(\xi) = 0.$$

Решение Зенегора - Компанича - Баренблайма:

$$u_A(x, t) = \frac{1}{t^{1/4}} \left[\frac{1}{2} \left(\eta_0^2 - \frac{x^2}{\sqrt{t}} \right) \right]_+^{1/2}, \quad (7)$$

$$\text{где } \eta_0 = 2 \sqrt{\frac{E_0}{\pi t}}, [z]_+ = \max\{0, z\}.$$

$$u_A(0, t) = \frac{1}{t^{1/4}} \frac{\eta_0}{\sqrt{2}}$$

$$u_A(x, t) \neq 0, \quad x \in (-\eta_0 t^{1/4}, \eta_0 t^{1/4}), \quad t > 0$$

Решение (7) описывает монодромное решение.

$u_A(x, t)$ - функция тока упругого монодромного
сингуляризма с энергией E_0 , движущаяся вправо в норме
 $x=0$ в момент $t=0$.

Пусть в сфере имеются неодинаковые температуры, соответствующие $\beta = 3$:

$$U_t = (U^2 U_x)_x + U^3. \quad (8)$$

Найдем автомодальное решение (8) в виде:

$$U = \frac{1}{\sqrt{T_0 - t}} \Theta(x) \quad (9)$$

Из (8), (9) \Rightarrow

$$\Theta(x) \Theta''(x) + 2(\Theta'(x))^2 + \Theta^2(x) = \frac{1}{2} \quad (10)$$

(9), (10) \Rightarrow можно использовать 5-расслоение с обобщением:

$$U_A(x, t) = \frac{1}{\sqrt{T_0 - t}} \begin{cases} \frac{\sqrt{3}}{2} \cos\left(\frac{\pi x}{L_s}\right), & |x| < \frac{L_s}{2}, \\ 0, & |x| \geq \frac{L_s}{2}, \end{cases} \quad (11)$$

где T_0 - время существования решения, $L_s = 5\sqrt{3}$ - длина постоянного решения в шести измерениях времени.

Решение становится бесконечным в областях $W_L = \left(-\frac{L_s}{2}, \frac{L_s}{2}\right)$.

При $t \rightarrow T_0$, $x \in W_L$ $U_A(x, t) \rightarrow \infty$.

$$U_A(0, t) = \sqrt{\frac{3}{2(T_0 - t)}} \rightarrow \infty, \quad t \rightarrow T_0$$

Такие неодинаковые температурные распределения с обобщением. Стационарные температурные поля.

Рассмотрим уравнение (4) с $\beta = 2$.

$$u_t = (u^2 u_x)_x + u^2 \quad (12)$$

Ищем решение в виде

$$u_A(x, t) = \frac{1}{T_0 - t} \Theta(\xi), \quad \xi = x \sqrt{T_0 - t}, \quad (13)$$

где T_0 - время существования монолитной опоры.

$$(13), (12) \Rightarrow$$

$$(\Theta^2 \Theta')' + \frac{\xi}{2} \Theta' - \Theta + \Theta^2 = 0. \quad (14)$$

Функция $\Theta(\xi)$ второго порядка имеет на интервале $(-\xi_0, \xi_0)$ и равна нулю вне ее. $\Theta(\xi)$ и ξ_0 определяются однозначно.

Способы решения:

a) решения с обобщением:

$$u_A(0, t) = \frac{1}{T_0 - t} \Theta(0) \rightarrow \infty \text{ при } t \rightarrow T_0$$

б) в любой момент времени монолитной опоры существует поисека правой $x_+(t)$ и левой $x_-(t)$ границы:

$$x_+(t) = \frac{\xi_0}{\sqrt{T_0 - t}} \quad x_-(t) = -\frac{\xi_0}{\sqrt{T_0 - t}} \quad (15)$$

в) фронтальная модель с удаляющимися скошами и в момент обрушения $t = T_0$ монолитной опоры оставляем все граничи, наявуки и бегущую балку на конфигурации HS-решения.

Рассмотрим уравнение (4) при $\beta = 4$.

$$U_t = (U^2 U_x)_x + U^4 \quad (16)$$

Многодельность решения уравнения $Q(U) = U^4$ при данных начальных условиях выше, чем в S -режиме ($\beta = 3$) и $H S$ -режиме ($\beta = 2$). Симметричное вращение монотонно определяется.

Одна форма в виде

$$U_A(x, t) = \frac{1}{\sqrt[3]{T_0 - t}} \Theta(\xi), \quad \xi = \frac{x}{\sqrt[3]{T_0 - t}}, \quad (17)$$

где $T_0 > 0$ — время обрывки решения.

$$(16), (17) \Rightarrow$$

$$(\Theta^2 \Theta')' - \frac{1}{6} \xi \Theta' - \frac{1}{3} \Theta + \Theta^4 = 0 \quad (18)$$

$\Theta(\xi) > 0, -\infty < \xi < \infty$. Асимптотика:

$$\Theta(\xi) \approx C_A \frac{1}{|\xi|^2}, \quad |\xi| \rightarrow \infty,$$

C_A — постоянная, ограниченная числом.

Локализация решения в эффективном смысле:

решение со временем растет в тех местах, где изображено растет только в том $x = 0$. Изображена схема предложенного разбиения

$$U_A(x, t) < U_A(x, T_0) = \frac{C_A}{|x|^2}. \quad (19)$$

$L S$ -режим.

§2. Математическое описание метода начальных

форм.

1. Метод характеристика.

$$u_{tt} = a^2 u_{xx}, \quad -\infty < x < \infty, \quad t > 0 \quad (1)$$

$$u(x, t) = f_1(x - at) + f_2(x + at) \quad (2)$$

Уравнение переноса:

$$u_t^{(1)} + a u_x^{(1)} = 0, \quad u^{(1)} = f_1(x - at) \quad (3)$$

$$u_t^{(2)} - a u_x^{(2)} = 0, \quad u^{(2)} = f_2(x + at) \quad (4)$$

Квазиматричное уравнение переноса:

$$u_t + F(u) u_x = 0 \quad (5)$$

Задача Коши:

$$\left\{ \begin{array}{l} u_t + u u_x = 0, \quad -\infty < x < \infty, \quad t > 0, \\ u(x, 0) = u_0(x), \quad -\infty < x < \infty \end{array} \right. \quad (6)$$

$$\left\{ \begin{array}{l} u(x, 0) = u_0(x), \quad -\infty < x < \infty \end{array} \right. \quad (7)$$

$$u(x, t) = f(x - u(x, t)t)$$

$$u_x = (1 - u_x t) f'(\xi), \quad u_t = (-u - u_x t) f'(\xi) \quad (8)$$

$$\xi = x - ut$$

$$(6), (8) \Rightarrow$$

$$-t(u_t + u u_x) f'(\xi) = 0,$$

т.е. $f(\xi)$ - это такая дифференцируемая функция.

Решение задачи (6), (7) определяется из начального уравнения

$$u(x, t) = u_0(x - u(x, t)t)$$

Метод ходоизменений:

$$\frac{dt}{1} = \frac{dx}{u(x, t)} \Rightarrow \frac{dx}{dt} = u(x, t) \quad (9)$$

$x = x(t)$ - решение уравнения (9) \Rightarrow

$$\frac{d}{dt} u(x(t), t) = u_t + u_x \frac{dx}{dt} = u_t + uu_x \Big|_{x=x(t)} = 0 \Rightarrow$$

$u(x(t), t)$ постоянна на прямой $x = x(t)$ \Rightarrow

$x = x(t)$ прямая линия на плоскости (x, t) с наклоном

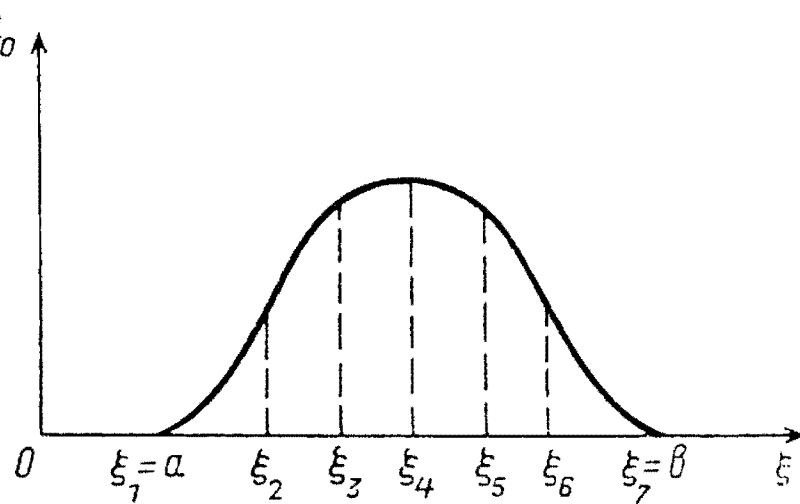
$$u(x(t), t) = u(x(0), 0) = u_0(x(0)),$$

определенной начальной функцией $u_0(\xi)$, $\xi = x(0)$.

Уравнение прямой

$$\frac{t}{1} = \frac{x - \xi}{u_0(\xi)}$$

Нас получим однопараметрическое семейство прямых, зависящих от параметра ξ , на котором решение $u(x, t)$ уравнения (6) определяется по определению. Это подтверждено по начальной функции $u_0(\xi)$ определяющей функцию $u(x, t)$ в любой момент времени t .



Видимо, тогда
 $\xi_k \in [a, b]$

и построим соответствующую ей характеристику

$$I_{\xi_k}: x = \xi_k + t u_0(\xi_k)$$

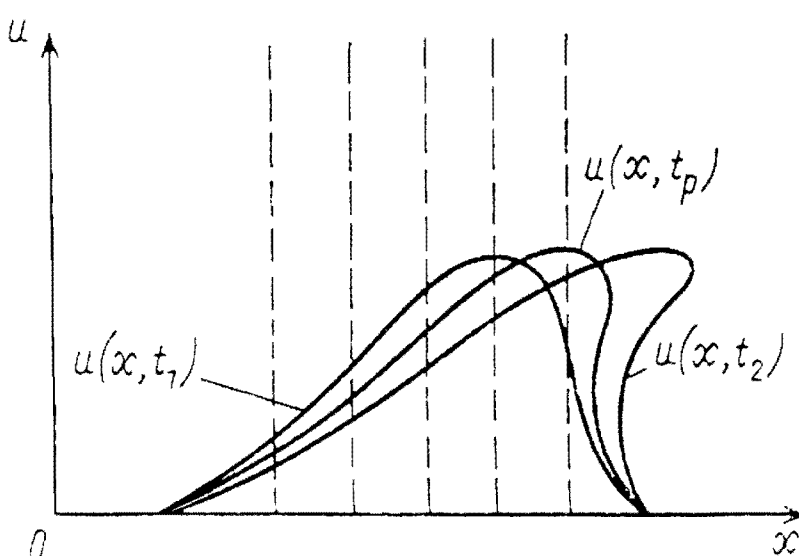
с учетом начала

$$t_0 y = t / u_0(\xi_k).$$

Всегда на характеристике

$$u|_{I_{\xi_k}} = u_0(\xi_k).$$

Множество (x_k, t_1) -момента пересечения прямой $t = t_1$ с характеристикой I_{ξ_k}



Скорость переноса начального значения $u_0(\xi_k)$ вдоль характеристики I_{ξ_k} зависит от решения, профиль $u_0(x)$ искается - диоптрический метод. При $t \geq t_p$ характеристики пересекаются, профиль неоднозначный - отражение волн.

2. Обобщенное решение. Уравнение на разрыве.

Обобщенное решение: функция $U(x, t)$ удовлетворяет уравнению (6) в обобщенном смысле, если для любого произвольного

$$\Pi_{xt} = \{(x, t) : x_1 < x < x_2, 0 < t_1 < t < t_2\}$$

и любой бесконечно дифференцируемой и фиксированной в Π_{xt} функции $\Psi(x, t)$ справедливо интегральное тождество

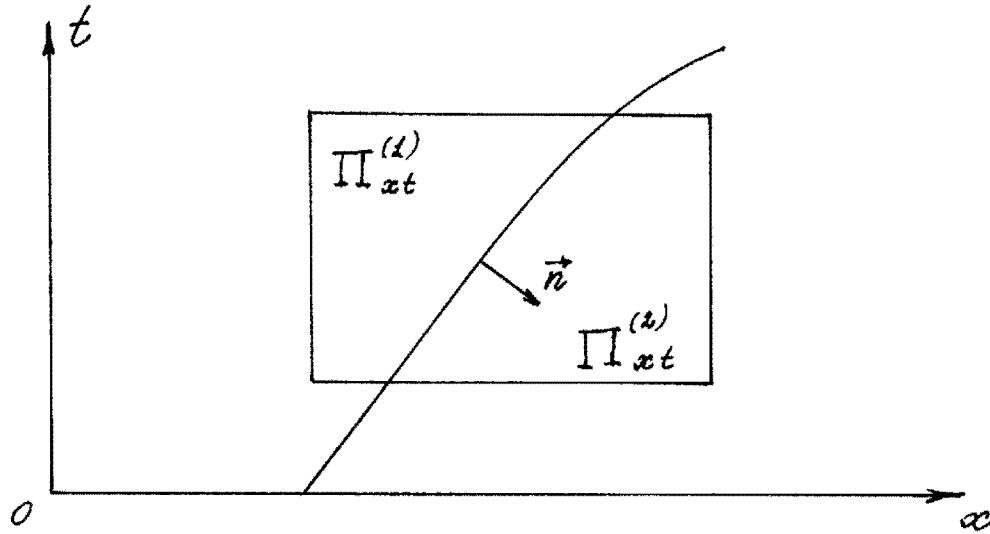
$$\int_{\Pi_{xt}} \left\{ U\Psi_t + \frac{1}{2} U^2 \Psi_{xx} \right\} dx dt = 0 \quad (10)$$

Если $U \in C^{(1)}$, то обобщенное решение (10) удовлетворяет уравнению (6) в обычном смысле: проинтегрировав (10) по частям

$$\int_{\Pi_{xt}} \left\{ U_t + U U_{xx} \right\} \Psi dx dt = 0. \quad (11)$$

В силу производности Π_{xt} и Ψ из (11) получим уравнение (6).

Функция $u(x, t)$ - разрывное решение, имеющее единственный разрыв на прямой $S = \{(x, t) : x = S(t)\}$.
 Функция $u(x, t) \in C^{(l)}$ при $(x, t) \in \Pi_{x,t}^{(l)}, l = 1, 2$.



Функция $u(x, t)$ в областях $\Pi_{x,t}^{(l)}, l = 1, 2$ удовлетворяет уравнению (6).

Проинтегрируем (10) по частям в области $\Pi_{x,t}^{(l)}$:

$$\int_{\Pi_{x,t}^{(l)}} \left\{ u \psi_t + \frac{1}{2} u^2 \psi_x \right\} dx dt = \int_S \left\{ \psi \cos(\hat{n}t) u^- + \psi \cos(\hat{n}x) \frac{(u^-)^2}{2} \right\} ds \quad (12)$$

u в области $\Pi_{x,t}^{(l)}$:

$$\int_{\Pi_{x,t}^{(l)}} \left\{ u \psi_t + \frac{1}{2} u^2 \psi_x \right\} dx dt = - \int_S \left\{ \psi \cos(\hat{n}t) u^+ + \psi \cos(\hat{n}x) \frac{(u^+)^2}{2} \right\} ds, \quad (13)$$

где $\vec{n} = \{\cos(\hat{n}t), \cos(\hat{n}x)\}$, u^+, u^- - предельные значения $u(x, t)$ на прямой S при стремлении к ней отвала и амба.

Сумми (12) и (13):

$$\int\limits_S \psi \left\{ \cos(\hat{n}t)[u] + \cos(\hat{n}x) \left[\frac{u^2}{2} \right] \right\} ds = 0, \quad (14)$$

где $[u] = u^+ - u^-$. В сущ пространство $\Psi(x, y)$

(14) \Rightarrow

$$\cos(\hat{n}t)[u] + \cos(\hat{n}x) \left[\frac{u^2}{2} \right] \Big|_S = 0 \quad (15)$$

Мак нам

$$\cos(\hat{n}t) = \frac{-\dot{s}(t)}{\sqrt{1 + \dot{s}^2(t)}}, \quad \cos(\hat{n}x) = \frac{1}{\sqrt{1 + \dot{s}^2(t)}}, \quad (16)$$

то (15), (16) \Rightarrow

$$\dot{s}(t) = \frac{u^+ + u^-}{2}, \quad (17)$$

где $v_p = \dot{s}(t)$ - скорость распространения развода.

Формула (17) называется формулой Гюгонио-Ренкина или формулой ускорения на разводе.

Формула (17) подходит для определения скорости распространения развода по значению u^\pm , но не даёт ответа на вопрос о положении развода $x = s(t)$.

Построение разрыва.

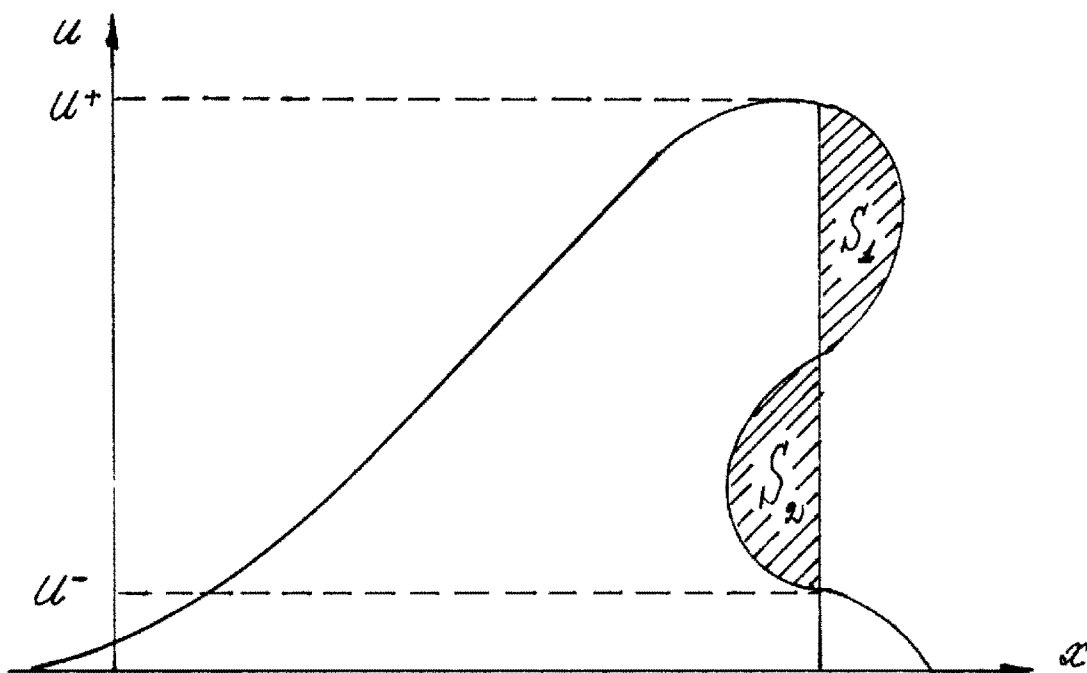
(6) \Rightarrow

$$\frac{\partial}{\partial t} u + \frac{\partial}{\partial x} \left(\frac{u^2}{2} \right) = 0 \quad \Rightarrow$$

$$\frac{d}{dt} \int_{-\infty}^{+\infty} u dx = 0, \quad I = \int_{-\infty}^{+\infty} u(x, t) dx = \int_{-\infty}^{+\infty} u_0(x) dx,$$

предполагая, что $u \rightarrow 0$ при $x \rightarrow \pm \infty$.

Причаге I по времени $u = u(x, t)$ определяется интегральной по времени (интегралом в вынуждении).



Разрыв $x = s(t)$ нужно построить так, чтобы $I(u)$, отвечающий разрывному решению, был равен $I(u_0)$ для плавной функции u_0 .

В результате из однодimensionalного непрерывного решения получается разрывное, но уже однодimensionalное решение, являющееся общим для решения уравнения (6). Касание на разрыве при этом называется автоморфизмом.

3. Уравнение Кортевега-де Фриза и законов сохранения.

Функция $\eta(x,t)$, описывающая процесс распространения динамической волны на поверхности воды приближенно удобным формой уравнение

$$\eta_t + C_0 \left(1 + \frac{3}{2h_0} \eta \right) \eta_x + \frac{h_0^2}{6} C_0 \eta_{xxx} = 0, \quad (18a)$$

где h_0 - глубина эпидемии, $C_0 = \sqrt{gh_0}$ - скорость динамической волны на морской воде.

Уравнение (18a) называется уравнением Кортевега-де Фриза.

Из (18a) с помощью начальной задачи первого рода получим:

$$U_t - 6UU_x + U_{xxx} = 0, \quad (18b)$$

(18b) - аналогичный вид уравнения Кортевега-де Фриза.

Уравнение (18b) обладает бесконечным числом первоначальных данных для решения (законов сохранения):

$$I_0 = \int_{-\infty}^{+\infty} U(x,t) dx, \quad I_2 = \int_{-\infty}^{+\infty} U^2(x,t) dx$$

и т.д., что означает, что это уравнение обладает глубокой внутренней симметрией, которая и выражает его физику других начальных уравнений.

4. Схема метода обратной задачи.

1) Прямая и обратная задачи рассеяния.

Определение. Функция $f(x, t)$ называется бесконечно-добротной, если

$$\max_{0 \leq t \leq T} \int_{-\infty}^{+\infty} (1 + |x|) |f(x, t)| dx < \infty \quad (19)$$

С уравнением Кортевега-де Фриза тесно связано стационарное уравнение Шредингера (20):

$$\Psi_{xx} + (\lambda - u(x, t)) \Psi = 0 \quad (20)$$

с потенциалом $u(x, t)$, зависящим от t как от параметра.

Рассмотрим для уравнения (20) две задачи.

a) Нахождение квазистационарных уровней зернистых стационарных состояний.

Найти такие значения λ , при которых уравнение (20) имеет неограниченное решение $\Psi(x, t) \in L_2(\mathbb{R}^1)$. Здесь $\Psi(x, t)$ - нормированное на единицу квазистационарное фундаментальное

решение задачи

При $x \rightarrow \infty$ решения имеют асимптотику

$$\Psi_m(x, t) \sim C_m(t) e^{-\lambda_m x},$$

где $\Psi_m(x, t)$ - собственные функции, нормированные на 1, $\lambda_m = -\infty$ - собственное значение,

$$C_m(t) = \lim_{x \rightarrow \infty} \Psi_m(x, t) e^{\lambda_m x} \quad (21)$$

5) Задача рассеяния письмом базис единичной амплитуды на потенциале $U(x, t)$.

Найти при $\lambda \geq 0$ ограниченное решения уравнения (20) с заданным характером асимптотического поведения при $x \rightarrow \pm \infty$:

$$\Psi(x, t) \sim e^{-ikx} + B(k, t) e^{ikx} \quad \text{при } x \rightarrow +\infty,$$

$$\Psi(x, t) \sim A(k, t) e^{-ikx} \quad \text{при } x \rightarrow -\infty,$$

где $k^2 = \lambda$, а подлежащие определению функции $A(k, t)$ и $B(k, t)$ - квадратичные производные и отображения, такие

$$|A(k, t)|^2 + |B(k, t)|^2 = 1.$$

Соответствующий задаче а) и б)

$\{\chi_m, C_m\}$, $\{A(k, t), B(k, t)\}$ являются такими данными рассеяния.

Прямая задача рассеяния: определение для заданного потенциала данных рассеяния.

Обратная задача рассеяния: определение по заданным данным рассеяния соответствующего потенциала.

Данные рассеяния достаточно для однозначного определения потенциала.

Схема решения обратной задачи рассеяния.

a) По данным рассеяния определяем функцию $B(x; t)$ — ядро уравнения Гельфанд — Левитана:

$$B(x; t) = \sum_{m=1}^n C_m(t) e^{-\lambda_m x} + \frac{1}{2\pi} \int_{-\infty}^{\infty} b(k, t) e^{ikx} dk \quad (22)$$

б) Численное решение линейного статистического уравнения Гельфанд — Левитана:

$$\mathcal{K}(x, y; t) + B(x+y; t) + \int_x^{\infty} B(y+z; t) \mathcal{K}(x, z; t) dz = 0 \quad (23)$$

в) Решив уравнение (23) и находит $\mathcal{K}(x, y; t)$, то формула (24)

$$U(x, t) = -2 \frac{d}{dx} \mathcal{K}(x, x; t) \quad (24)$$

определяет функцию $U(x, t)$, которая и является численным решением поставленной, то есть решением обратной задачи рассеяния.

2) Решение задачи Коши.

Рассмотрим задачу Коши:

$$\begin{cases} U_t - 6UU_x + U_{xxx} = 0, & -\infty < x < \infty, t > 0, \\ U(x, 0) = U_0(x) \end{cases} \quad (25)$$

Решение $U(x, t)$ задачи Коши (25) можно

построить следующим образом, если функция $U(x, t)$ и ее производные по x до первого порядка являются линейно независимыми функциями.

Теорема 1. Если постепенно $U(x, t)$ в (20) является быстродавящим решением уравнения Коутсера-де Фруа, то собственные значения $\lambda_m = -\alpha_m^2$ не зависят от времени t .

Теорема 2. Если постепенно $U(x, t)$ в (20) является быстродавящим решением уравнения Коутсера-де Фруа, то данное расщепление $C_m(t)$, $B(\kappa, t)$ и $A(\kappa, t)$ зависит от времени следующим образом:

$$\begin{aligned} C_m(t) &= C_m(0) \exp(4\alpha_m^3 t), \quad \alpha_m^2 = -\lambda_m, \\ B(\kappa, t) &= B(\kappa, 0) \exp(8i\kappa^3 t), \quad \kappa^2 = \lambda > 0, \\ A(\kappa, t) &= A(\kappa, 0) \end{aligned} \tag{46}$$

Зная данное расщепление для $U_0(x) \equiv U(x, 0)$, можно по формулам (46) найти данное расщепление для $U(x, t)$ и затем, построив и решив уравнение Гельфандга-Левитана, определить функцию $U(x, t)$.

Секция по отбору инициальных быстродействующих решений

задачи Коши:

a) Рассматриваем стационарное уравнение
Шредингера с потенциалом $U_0(x)$:

$$\Psi_{xx} + (\lambda - U_0(x)) \Psi = 0 \quad (27)$$

и определяем ядро решения $\{\varphi_m, C_m(0)\}$ и
 $\{a(\kappa, 0), b(\kappa, 0)\}$.

б) По формуле (26) определяем $C_m(t)$ и $B(\kappa, t)$
и отбросим ядро уравнение Гауссвонга-Левитана (23)

$$B(x; t) = \sum_{m=1}^n C_m^{(s)}(0) \exp(i\varphi_m^3 t - \varphi_m x) + \\ + \frac{1}{2\pi} \int_{-\infty}^{\infty} b(\kappa, 0) \exp(i8\kappa^3 t + i\kappa x) d\kappa \quad (28)$$

в) Решим уравнение Гауссвонга-Левитана (23)
с ядром (28) по формуле (24) определим реше-
ние $U(x, t)$ задачи Коши (25) для уравнения
Корнберга-де Фриза.

5. Симметрические решения.

Рассмотрим решение задачи Коши (2.5) при

$$u_0(x) = -\frac{2}{ch^2 x} \quad (2.9)$$

Данное рассмотрим для уравнения (20) с начальными (2.9)

$$\Psi_{xx} + \left(1 + \frac{2}{ch^2 x}\right)\Psi = 0 \quad (30)$$

ищем так: $\Psi(x, 0) = 0$, с учетом того что одно собственное значение $\lambda_1 = -1 = -\alpha_1^2$, $C_1(0) = \sqrt{2}$.

Наше уравнение Гауссона - Левинсона имеет так

$$B(x; t) = 2 e^{8t-x}. \quad (31)$$

Рассмотрим уравнение Гауссона - Левинсона с ядром (31)

$$K(x, y; t) + 2 e^{8t-x-y} + 2 e^{t-y} \int_x^\infty K(x, z; t) e^{-z} dz = 0 \quad (32)$$

и будем искать его решения в виде

$$K(x, y; t) = L(x; t) e^{-y}. \quad (33)$$

Получим

$$L(x; t) = -\frac{2 e^x}{1 + e^{2x-8t}}. \quad (34)$$

Следовательно,

$$K(x, y; t) = -\frac{2 e^{x-y}}{1 + e^{2x-8t}} \quad (35)$$

и по формуле (24) получим решение задачи Коши (25) с начальной функцией (29):

$$u(x, t) = -2 \frac{d}{dx} \left\{ -\frac{2}{1 + e^{2x-8t}} \right\} = -\frac{2}{ch^2(x-4t)}. \quad (36)$$

Решение (36) является частным случаем более общего решения уравнения Борисова-де Фруза

$$u(x, t) = -\frac{1}{2} d^2 \frac{1}{ch^2 \left\{ \frac{1}{2} d(x-x_0) - \frac{d^3}{2} t \right\}}, \quad (37)$$

соответствующее значениям параметров $d=2$, $x_0=0$.

Решения уравнения Борисова-де Фруза (37) получим на основе симметрии. Они описывают движущиеся пульсации волны, имеющие вид пропорциональную амплитуде решения.

Каждый изображает симметричные парные решения нелинейного уравнения, которое имеет вид движущихся уединенных волн, взаимодействующих такими образом, что после взаимодействия они соединяются пульсацией обоюдной формы, получающей приращение в фазах.

Гл. IV. Методы численного математического моделирования

§1. Вариационные методы решения краевых задач и определения собственных значений.

1. Принцип Дирихле

$$D[u(x, y)] = \int\limits_D F(x, y, u, u_x, u_y) dx dy \quad (1)$$

Уравнение Эйлера:

$$F_u - \frac{\partial}{\partial x} \{ F_p \} - \frac{\partial}{\partial y} \{ F_q \} = 0, p = u_x, q = u_y \quad (2)$$

Уравнение Париаса $\Delta u(x, y) = 0$ есть уравнение Эйлера задачи на минимум интеграла Дирихле

$$D[u] = \int\limits_D (u_x^2 + u_y^2) dx dy \quad (3)$$

Непрерывное в \bar{D} функции, гусконепрерывное дифференцируемое в \bar{D} , которое принимают на кривой Γ изнутри D заданное непрерывное значение $\vartheta(x, y)$ и стекают Дирихле от которого конеч, называемое допустимыми функциями.

$$\begin{cases} \Delta u = 0, u \in D, \\ u(p) = \vartheta(p), p \in \Gamma \end{cases} \quad (4)$$

$$(5)$$

Первая вариационная задача: среди допустимых функций найти такую, которая доставляет минимум интегралу Дирихле.

Теорема. Если заданная на кривой Γ функция $\vartheta(p)$ такова, что класс допустимых функций не является пустым, то задача Дирихле (4), (5) и первая вариационная задача эквивалентны.

Доказательство. 1) Пусть $u(x, y) \in C^{(2)}(D) \cap C^{(1)}(\bar{D})$ — решение первой вариационной задачи. Тогда класс допустимых функций имеет в виде:

$$u(x, y) + \varepsilon h(x, y), \quad (6)$$

где $h(x, y) \in C^{(1)}(\bar{D}) \cap C^{(1)}(\bar{D})$, интегрируемой в конечном
 $u|_{\partial D} = 0$, $\rho \in \Gamma$, ε - произвольная постоянная.

$$\mathcal{D}[u + \varepsilon h] = \mathcal{D}[u] + 2\varepsilon \mathcal{D}[u, h] + \varepsilon^2 \mathcal{D}[h] \geq 0, \quad (7)$$

из

$$\mathcal{D}[u, h] = \int_D (u_x h_x + u_y h_y) dx dy \quad (8)$$

из (7) и производности $\varepsilon \Rightarrow \mathcal{D}[u, h] = 0$.

$$\int_D h \Delta u dx dy = \int_{\Gamma} h \frac{\partial u}{\partial n} d\sigma - \int_D \operatorname{grad} u \cdot \operatorname{grad} h dx dy \quad (9)$$

$$(9), h|_{\partial D} = 0, \rho \in \Gamma \Rightarrow \int_D h \Delta u dx dy = -\mathcal{D}[u, h] = 0 \quad (10)$$

$$u(M) \in C^{(1)}(\bar{D}) \Rightarrow \Delta u \in C(\bar{D}), h(x, y) - \text{произвольная}\\
\text{функция} \Rightarrow (11) \Rightarrow \Delta u(x, y) = 0 \quad (11)$$

а) Рассмотрим теперь $u(x, y)$ - решение задачи (4), (5), а
 $u(x, y) + \varepsilon h(x, y)$ - класс допустимых функций, при котором
 $u(x, y)$ и $h(x, y)$ имеют идентичную форму

$$\mathcal{D}[u, h] = \int_{\Gamma} h \frac{\partial u}{\partial n} d\sigma - \int_D h \Delta u dx dy \quad (12)$$

из (12) и того, что $h|_{\partial D} = 0$, $\rho \in \Gamma$ и $u(M)$ гармоническая функция следует, что $\mathcal{D}[u, h] = 0$. Поэтому из (7) \Rightarrow

$$\mathcal{D}[u] \leq \mathcal{D}[u + \varepsilon h], \quad (13)$$

т.е. u минимизирует интеграл Дирихле и является
 решением первої вариационной задачи.

Замечание. Существуют и другие краевые задачи для уравнения Лапласа, которые имеют эквивалентные им вариационные задачи для интеграла Дирихле, например задача Неймана. Метод свободных краевых задач для уравнения Лапласа и эквивалентные им вариационные задачи имеют название метода Дирихле.

2. Задача о собственных значениях.

$$\left\{ \begin{array}{l} \Delta u + \lambda u = 0, \quad M \in D, \\ u(p) = 0, \quad p \in \Gamma, \\ u(M) \in C^{(1)}(D) \cap C^{(1)}(\bar{D}) \end{array} \right. \quad (14)$$

$$(15)$$

$$(16)$$

Вторая вариационная задача: среди допустимых функций, удовлетворяющих условию (15), найти ту, для которой функционал

$$J(u) = \frac{\mathcal{D}(u)}{\mathcal{H}(u)}, \quad (17)$$

$$\text{где } \mathcal{H}(u) = \int_D u^2(x, y) dx dy, \quad (18)$$

принимает наименьшее значение.

Теорема 1. Если $u(x, y)$ - решение второй вариационной задачи, то $u(x, y)$ является решением задачи (14)-(16).

Доказательство. Пусть u - решение второй вариационной задачи, при этом наименьшее значение $J(u)$

$$J(u) = \frac{\mathcal{D}(u)}{\mathcal{H}(u)} = \lambda > 0 \quad (19)$$

Для нахождения допустимых функций $u(x, y) + \varepsilon h(x, y)$, где ε - произвольное постоянное, $h(x, y)$ - произвольная допустимая функция, $h(p) = 0, p \in \Gamma$, имеем

$$F(\varepsilon) = \frac{\mathcal{D}(u + \varepsilon h)}{\mathcal{H}(u + \varepsilon h)} = \frac{\mathcal{D}(u) + 2\varepsilon \mathcal{D}(u, h) + \varepsilon^2 \mathcal{D}(h)}{\mathcal{H}(u) + 2\varepsilon \mathcal{H}(u, h) + \varepsilon^2 \mathcal{H}(h)} \geq \lambda, \quad (20)$$

$$\text{где } \mathcal{H}(u, h) = \int_D u h dx dy \quad (21)$$

Так как $F'(\varepsilon)$ при $\varepsilon = 0$ имеет минимум, то

$$F'(0) = 2 \frac{\mathcal{H}(u) \mathcal{D}(u, h) - \mathcal{D}(u) \mathcal{H}(u, h)}{\mathcal{H}^2(u)} = 0 \quad (\text{д.д.})$$

$$(18) \Rightarrow \mathcal{D}(u) = \lambda \mathcal{H}(u) \quad (23)$$

Погрешность (23) в (22):

$$\mathcal{H}(u)D(u, h) - D(u)\mathcal{H}(u, h) = \mathcal{H}(u) \left\{ D(u, h) - \lambda \mathcal{H}(u, h) \right\} = 0 \quad (24)$$

Так как $\mathcal{H}(u) \neq 0$, то из (24) \Rightarrow

$$D(u, h) - \lambda \mathcal{H}(u, h) = 0 \quad (25)$$

$u, h \in C^{(2)}(\bar{\Omega}) \cap C^{(1)}(\bar{\partial})$, конкаво-изогнутый

$$D(u, h) = \int_{\Omega} (u_x h_x + u_y h_y) dx dy = - \int_{\Omega} \Delta u h dx dy \quad (26)$$

$$(26) \Rightarrow D(u, h) - \lambda \mathcal{H}(u, h) = - \int_{\Omega} (\Delta u + \lambda u) h dx dy = \\ = - \mathcal{H}(\Delta u + \lambda u, h) = 0 \quad (27)$$

$u \in C^{(2)}(\bar{\Omega}) \Rightarrow \Delta u \in C(\bar{\Omega})$, $h(x, y)$ -произвольные функции

$$(27) \Rightarrow \Delta u + \lambda u = 0 \quad (28)$$

Теорема 2. Решение собственных значений задачи (24)-(26) находит свое собственное значение собственных значений.

Доказательство. Пусть $\tilde{\lambda} + \lambda$ некоторое собственное значение и $\tilde{u}(x, y)$ соответствующая собственная функция.

$$\begin{aligned} \mathcal{H}(\Delta \tilde{u} + \tilde{\lambda} \tilde{u}, \tilde{u}) &= \int_{\Omega} s \tilde{u} \cdot \tilde{u} dx dy + \tilde{\lambda} \int_{\Omega} \tilde{u}^2 dx dy = \\ &= \int_{\Gamma} \frac{\partial \tilde{u}}{\partial n} \cdot \tilde{u} d\sigma - \int_{\Omega} (\tilde{u}_x^2 + \tilde{u}_y^2) dx dy + \tilde{\lambda} \mathcal{H}(\tilde{u}) = \\ &= - D(\tilde{u}) + \tilde{\lambda} \mathcal{H}(\tilde{u}) = 0. \end{aligned} \quad (29)$$

$$(29) \Rightarrow \tilde{\lambda} = \mathcal{J}(\tilde{u}) = \frac{D(\tilde{u})}{\mathcal{H}(\tilde{u})} \quad (30)$$

Так как

$$\lambda = \min_{u \in \mathcal{P}} \mathcal{J}(u), \quad (31)$$

то \mathcal{P} -натуральная функция, то

$$\lambda < \tilde{\lambda} \quad (32)$$

§2. Некоторые алгоритмы решения итерационного метода.

1. Общие схемы алгоритмов.

$$Lu = Au + Bu = f, f \in H, \quad (1)$$

где A, B - линейные операторы в гильбертовом проекционном H ; $D(A), D(B)$ - области определения.

$D(A)$ - множества в H . Всегда оператор $K: D(K) \supset D(A)$.

Система базисных (координатных) функций:

$$\{g_i^{(N)}\}, g_i^{(N)} \in D(A), i=1, 2, \dots, N; N=1, 2, \dots$$

H_N - линейная оболочка $\{g_i^{(N)}\}, i=1, 2, \dots, N$; $\{g_i^{(N)}\}$ - базис в H_N

- 1) при любом N функции $\{g_i^{(N)}\}, i=1, 2, \dots, N$ линейно независим;
 - 2) посредством неподвижности подпространства $\{H_N\}$ уравнение имеет в H :
- доказать $\forall u \in H \exists \tilde{u}_N \in H_N, N=1, 2, \dots$, что

$$\|u - \tilde{u}_N\| = \inf_w \|u - w\| \leq \varepsilon(u, N), w \in H_N, \quad (2)$$

$\varepsilon(u, N) \rightarrow 0, N \rightarrow \infty$, $\varepsilon(u, N)$ -оценка погрешности аппроксимации.

Всегда такие базисные функции $\{g_i\}, g_i \in D(K)$.

Прием приближенное решение (1) в виде

$$u_N = \sum_{i=1}^N \alpha_i g_i \quad (3)$$

где $\alpha_i, i=1, 2, \dots, N$ определяются из системы уравнений:

$$(Au_N + Bu_N - f, K \Psi_j) = 0, j=1, 2, \dots, N, \quad (4)$$

где (u, v) - скалярное произведение в H и

$$\|u\| = (u, u)^{1/2}$$

Рассмотрим систему (4) и сходимость u_N к u при $N \rightarrow \infty$ зависят от линейных операторов A, B и выбора $K, \{g_i\}, \{\Psi_j\}$.

2. Метод Римана.

$$A u = f, f \in H, \quad (5)$$

згд $(Au, v) = (u, Av)$, $(Au, u) \geq \gamma \|u\|^2$, $\gamma > 0$, $u, v \in D(A)$.

1) Выбираем базис $\{g_i\}$, $g_i \in D(A)$, $i = 1, 2, \dots, N$.

2) Правильное решение получает в виде (3).

3) Коэффициенты a_i находятся из систем уравнений

$$(Au_N, g_j) = (f, g_j), j = 1, 2, \dots, N \quad (6)$$

$$\hat{A} a = b, \quad \hat{A} = \{A_{i,j}\}, \quad A_{i,j} = (Ag_i, g_j), \quad a = (a_1, \dots, a_N)^T,$$

$$b = (f_1, \dots, f_N)^T, \quad f_i = (f, g_i), \quad i, j = 1, 2, \dots, N \quad (7)$$

Вариационная трактовка метода Римана: расширение квадратичной функциональной энергии

$$F(u) = (Au, u) - 2(u, f) \quad (8)$$

Теорема. Для того, чтобы некоторый элемент $u_0 \in D(A)$ соотносил минимальное значение функционала энергии $F(u)$, необходимо и достаточно, чтобы этот элемент удовлетворял уравнению (5). Такой элемент называется стационарным.

Вариационная задача: найти функцию u_N такую, что

$$F(u_N) = \min_v F(v), \quad u_N, v \in H_N \quad (9)$$

такая как $v = \sum_{i=1}^N a_i g_i$, то $F(u_N) = \min_a F(v)$,

$$\text{згд } F(v) = F(a_1, \dots, a_N) = \sum_{i,j=1}^N a_i a_j (Ag_i, g_j) - \\ - 2 \sum_{i=1}^N a_i (f, g_i) \Rightarrow$$

$$\frac{\partial F(v)}{\partial a_i} = 0, \quad i = 1, 2, \dots, N \quad (10)$$

$$(10) \Rightarrow (7), (6).$$

Теорема. Если для любой функции $U \in D(A)$ можно построить такое последовательное сближение $\tilde{U}_N = \sum_{i=1}^N \tilde{a}_i \tilde{g}_i \in H_N$, $N = 1, 2, \dots$, что $\|A(U - \tilde{U}_N)\| \rightarrow 0$ при $N \rightarrow \infty$, то приближенное решение U_N сходится к точному решению U уравнения (5) при $N \rightarrow \infty$ и имеет место оценка

$$\|U_0 - U_N\| \leq C \min_{\tilde{a}_i} \|A(U_0 - \tilde{U}_N)\|,$$

где $C > 0$ не зависит от U_0 и \tilde{U}_N .

Доказательство. Пусть $v \in D(A)$ -противоположное функция.
 $(A(U_0 - v), U_0 - v) = (AU_0, U_0) + (AV, v) - 2(AU_0, v) =$
 $= (AU_0, U_0) + (AV, v) - 2(f, v) = F(v) + (AU_0, U_0) -$
 $- F(U_0) + F(U_0) = F(v) - F(U_0) + 2(AU_0, U_0) -$
 $- 2(f, U_0) = F(v) - F(U_0) \Rightarrow$

$$(A(U_0 - v), U_0 - v) = F(v) - F(U_0)$$

Поскольку U_0 минимизирует функционал $F(v)$ на $D(A)$, а U_N минимизирует $F(v)$ на H_N , то

$$(A(U_0 - U_N), U_0 - U_N) = F(U_N) - F(U_0) \leq$$

$$\leq F(V_N) - F(U_0) = (A(U_0 - V_N), U_0 - V_N)$$

при противоположной функции $V_N = \sum_{i=1}^N c_i \tilde{g}_i \in H_N \Rightarrow$

$$F^2 \|U_0 - U_N\|^2 \leq (A(U_0 - U_N), U_0 - U_N) \leq$$

$$\leq (A(U_0 - V_N), U_0 - V_N) \leq \|A^{-1}\| \|A(U_0 - V_N)\|^2 \Rightarrow$$

$$\| u_0 - u_N \| \leq \frac{\| A^{-1} \|}{\gamma^2} \| A(u_0 - v_N) \|$$

В силу производности выбора коэффициентов $c_i, i = 1, 2, \dots, N$ в разложении v_N , можно выбрать $v_N = \tilde{u}_N$ получаши удовлетворяющие творческое.

Замечание. При рассмотрении квазисинтетической формулировки метода Ритца решение обратной задачи может не существовать. Всегда в $D(A)$ энергетическое симметрическое производное производное и первичное

$$[u, v] = (Au, v), \quad [u] = [u, u]^{1/2} \quad (11)$$

и пополнение $D(A)$ по энергетической норме.

Получим энергетическое производство на H_A , порождающее оператором A . В H_A могут появиться представители элементов не принадлежащих $D(A)$.

Расширение функционала энтропии на H_A :

$$F(u) = [u, u] - 2(f, u) \quad (12)$$

и будем искать его минимум на H_A . Тогда минимум достигается на $u_0 \in H_A$. Если $u_0 \notin D(A)$, то u_0 - обобщенное решение (5), если $u_0 \in D(A)$, то u_0 - квазисинтетическое решение (5).

Правильные утверждения, которые удовлетворяют элементам из $D(A)$, называются сопоставленными для оператора A , а правильные утверждения, которые удовлетворяют на элементах из $D(A)$, так и элементах из H_A , называются небольшими. Правильные функции выбираются из H_A .

3. Метод Гауссона.

Основной недостаток метода Римса: он применяется только для самосопряжённых полиномиальных операций симметрических операторов.

Метод Бубнова - Гауссона:

$$Lu = Au + Bu = f, f \in H \quad (13)$$

- 1) Выбирается базис $\{g_i\}$, $i=1, 2, \dots, N$, $g_i \in D(A)$.
- 2) Приближенное решение ищется в виде (3).
- 3) Коэффициенты a_i определяются из условий ортогональности невязки $Lu_N - f$ к g_1, g_2, \dots, g_N :

$$(Lu_N - f, g_i) = 0, i = 1, 2, \dots, N. \quad (14)$$

Замечание. Если коэффициенты a_i определяются из условий

$$(Lu_N - f, \psi_i) = 0, i = 1, 2, \dots, N, \quad (15)$$

где $\{\psi_i\} \subset H$ - неподвойный базис, то метод называется методом Гауссона - Бубнова.

Если $(Au, v) = (u, Av)$, $(Au, u) \geq f^2 \|u\|^2$, $f > 0$, $u, v \in D(A)$, то можно доказать ортогональное проектирование H_A . Тогда (14) \Rightarrow

$$[u, v] + (Bu, v) = (f, v), v \in H_A \quad (16)$$

- 1) Выбирается базис $\{g_i\}$, $g_i \in H_A$, $i = 1, 2, \dots, N$
- 2) Приближенное решение ищется в виде (3).
- 3) Коэффициенты a_i определяются из систем уравнений:

$$[A_N, g_i] + (B A_N, g_i) = (f, g_i), i=1, 2, \dots, N \quad (17)$$

$$\hat{L} a = b, \hat{L} = (L_{ij}), L_{ij} = [g_i, g_j] + (B g_i, g_j), \quad (18)$$

$$a = (a_1, \dots, a_N)^T, b = (f_1, \dots, f_N)^T, f_i = (f, g_i), i=1, 2, \dots, N$$

4. Обобщенный метод моментов.

$$A u + B u = f, f \in H,$$

$$(A u, K u) \geq \gamma^2 \|u\|^2, (A u, K u) \geq \beta^2 \|K u\|^2; \gamma, \beta > 0,$$

$u \in D(A) \subset D(K)$ - оператор A является K -наличным и имеет определение.

- 1) Выбирается базис $\{g_i\}$, $g_i \in D(A)$, $i=1, 2, \dots, N$.
- 2) Приближенное решение ищется в виде (3).
- 3) Коэффициенты a_i определяются из систем уравнений:

$$(A u_N + B u_N - f, K g_i) = 0, i=1, 2, \dots, N. \quad (19)$$

Замечание. Метод моментов широко используется для решения нелинейных уравнений:

$$u(x) - \lambda \int_a^b K(x, \xi) u(\xi) d\xi = f(x), a \leq x \leq b \quad (20)$$

Ищем приближенное решение в виде разложения по полной системе функций $\{g_i(x)\}$:

$$u_N(x) = f(x) + \lambda \sum_{i=1}^N a_i g_i(x) \quad (21)$$

Коэффициенты a_i определяются из ортогональности невязки по всем функциям $\{g_i(x)\}$:

$$\int_a^b \left\{ u_N(x) - \lambda \int_a^b K(x, \xi) u_N(\xi) d\xi - f(x) \right\} g_j(x) dx = 0, \\ j = 1, 2, \dots, N, \quad (22)$$

что приводит к системе:

$$\begin{aligned} \hat{A}^{\top} a = b, \quad \hat{A} = (A_{ij}), \quad i, j = 1, 2, \dots, N, \\ A_{ij} = \int_a^b g_i(x) g_j(x) dx - \int_a^b \int_a^b K(x, \xi) g_i(\xi) g_j(x) dx d\xi, \\ a = (a_1, \dots, a_N)^T, \quad b = (b_1, \dots, b_N)^T, \\ g_i = \int_a^b \int_a^b K(x, \xi) g_i(x) f(\xi) dx d\xi, \\ i = 1, 2, \dots, N. \end{aligned} \tag{23}$$

Замечание. Если система $\{g_i(x)\}$ ортогональна, то метод моментов эквивалентен замене ядра на определенное биродундальное ядро:

$$\tilde{K}(x, \xi) = \sum_{i=1}^N g_i(x) \phi_i(\xi); \quad \phi_i(\xi) = \int_a^b K(x, \xi) g_i(x) dx \tag{24}$$

5. Метод наименьших квадратов.

Пусть оператор $b(f)$ имеет обратимый образ при A^{-1} :

- 1) Выбирается базис $\{g_i\}$, $g_i \in D(A)$, $i = 1, 2, \dots, N$.
- 2) Применяется решение метода в виде (3).
- 3) Построение ядра определяемое из систем уравнений:

$$(AU_N, A\varphi_i) = (f, A\varphi_i), \quad i = 1, 2, \dots, N, \tag{25}$$

$$\begin{aligned} \hat{A}^{\top} a = b, \quad \hat{A} = (A_{ij}), \quad A_{ij} = (A\varphi_i, A\varphi_j), \quad \hat{A} = \hat{A}^T, \\ i, j = 1, \dots, N; \quad a = (a_1, \dots, a_N)^T, \quad b = (f_1, \dots, f_N)^T, \\ \varphi_i = (f, A\varphi_i), \quad i = 1, \dots, N. \end{aligned}$$

Замечание. Составление (25) можно получить из условия минимизации функционала квадратов $J(u) = \|Au - f\|^2$ на H_N .

§3. Метод конечных разностей.

1. Основные понятия.

Рассмотрим задачу:

$$\begin{cases} L u(x) = f(x), & x \in D, \\ \ell u(x) = \mu(x), & x \in I, \end{cases} \quad (1)$$

$$\begin{cases} L u(x) = f(x), & x \in D, \\ \ell u(x) = \mu(x), & x \in I, \end{cases} \quad (2)$$

здесь L -линейный дифференциальный оператор,
 ℓ -оператор дополнительных (начальных, граничных)
условий, $\bar{D} = D + I$.

\bar{D} заменено на $\bar{\omega}_h$ -множество узлов-
точек, $u(x)$, $x \in \bar{D}$ заменено на $y_h(x_n)$ -смешаные
функции (зависящие от параметра h), $x_n \in \bar{\omega}_h$.

$u(x) \in H_0$, $y_h(x_n) \in H_h$. Пространство H_0
отображается на пространство H_h :

$u(x) \in H_0 \sim u_h(x) = P_h u(x)$, $u_h \in H_h$,
где P_h -линейный оператор из H_0 в H_h .

На линейном пространстве H_h предлагают единичную норму $\|y_h\|_h$ -аналог нормы в пространстве H_0 .

Условие соподчинения норм:

$$\lim_{h \rightarrow 0} \|u_h\|_h = \|u\|_0, \text{ где } u_h = P_h u, \|u\|_0 - \text{норма в пространстве } H_0.$$

Пусть $y_h(x) = P_h f(x)$, $x \in \bar{\omega}_h$, $\chi_h(x) = P_h \mu(x)$,
 $x \in \bar{\gamma}_h$, где $\bar{\omega}_h = \omega_h + \bar{\gamma}_h$, ω_h -множество внутренних узлов, $\bar{\gamma}_h$ -множество граничных узлов.

Перейдём от дифференциальных операторов к разностным: $L \rightarrow L_h$, $l \rightarrow l_h$.

Будем говорить, что L_h антидифференцирует L с порядком $m > 0$ в точке x , если

$$\psi(x) = L_h u(x) - L u(x) = \mathcal{O}(|h|^m). \quad (3)$$

Задачи (1)-(2) становятся в соответствии со структурой системы антидифференциальных (разностных) уравнений

$$\left\{ \begin{array}{l} L_h y_h(x) = \varphi_h(x), \quad x \in \omega_h, \\ l_h y_h(x) = \psi_h(x), \quad x \in \gamma_h. \end{array} \right. \quad (4)$$

$$\left\{ \begin{array}{l} L_h z_h(x) = \vartheta_h(x), \quad x \in \omega_h, \\ l_h z_h(x) = \tilde{\vartheta}_h(x), \quad x \in \gamma_h. \end{array} \right. \quad (5)$$

Система уравнений (4), (5), зависящих от параметра h , называется разностной системой.

Пусть $\bar{z}_h = y_h - u_h$, где $u_h = \varphi_h$. Тогда как L_h и l_h - линейные операторы, то получим задачу:

$$\left\{ \begin{array}{l} L_h \bar{z}_h = \varphi_h, \quad x \in \omega_h, \\ l_h \bar{z}_h = \tilde{\vartheta}_h, \quad x \in \gamma_h, \end{array} \right. \quad (6)$$

$$\left\{ \begin{array}{l} L_h \bar{z}_h = \vartheta_h, \quad x \in \omega_h, \\ l_h \bar{z}_h = \vartheta_h, \quad x \in \gamma_h, \end{array} \right. \quad (7)$$

где φ_h и $\tilde{\vartheta}_h$ - коэффициенты антидифференциации на фиксации $u(x)$ разностной системе уравнения (1) и дополнительного условия (2). Система (4)-(5):

a) антидифференцирует задачу (1)-(2) в смысле m -го порядка антидифференциации, если

$$\|\varphi_h\|_{(2h)} = \mathcal{O}(|h|^m), \quad \|\tilde{\vartheta}_h\|_{(3h)} = \mathcal{O}(|h|^m) \quad (8)$$

б) составляет в смысле m -го порядка разности, если

$$\|\varphi_h - u_h\|_{(1h)} = \mathcal{O}(|h|^m). \quad (9)$$

Система (4)-(5) корректна (разностная задача поставлена корректно), если при всех достаточно малых $|h| \leq h_0$:

- разностная задача однозначно решима при любых входных данных ϑ_h, χ_h и
- решение ψ_h равновероятно по h членам зависит от входных данных (стабильность устойчивости).

Если L_h и ℓ_h - линейные операторы, то при $|h| \leq h_0$

$$\|\psi_h\|_{(1h)} \leq M_1 \|\vartheta_h\|_{(2h)} + M_2 \|\chi_h\|_{(3h)}, \quad (10)$$

где $M_1 > 0, M_2 > 0$ - постоянные не зависящие от h и выбора входных данных ϑ_h и χ_h .

Если система (4), (5) устойчива, а \mathcal{Z}_h - решение задачи (6), (7), то (10) \Rightarrow

$$\|\psi_h - \mathcal{U}_h\|_{(1h)} = \|\mathcal{Z}_h\|_{(1h)} \leq M_1 \|\vartheta_h\|_{(2h)} + M_2 \|\chi_h\|_{(3h)} \quad (11)$$

Из первенства (11) вытекает утверждение:

Если линейная система (4)-(5) устойчива и аппроксимирует задачу (1)-(6), то она стабильна (из устойчивости и аппроксимации линейной системы вытекает её стабильность).

Порядок точности систем (4)-(5) определяется порядком аппроксимации.

(EF)

$$\underline{x} \underline{m} - \underline{f} \underline{m} = \underline{m} \quad \begin{matrix} \underline{y} \\ (0) \end{matrix}$$

$$\frac{\underline{y}}{T} (\underline{x} \underline{R} - \underline{x} \underline{R}) = \underline{x} \underline{R}$$

$$\underline{x} \underline{y} \quad \frac{\underline{x} \underline{y}}{(\underline{f} \underline{y} - \underline{x} \underline{R}) \underline{m} + (\underline{f} \underline{x} \underline{R}) \underline{m} - (\underline{f} \underline{y} + \underline{x} \underline{R}) \underline{m}} = \underline{x} \underline{m}$$

$$\frac{\underline{y}}{T} ((\underline{x} \underline{R} - (\underline{y} + \underline{x}) \underline{R}) = \underline{x} \underline{R}$$

(GF)

$$\frac{\underline{z}}{\underline{m} - \underline{n}} = \underline{f} \underline{m}$$

$$\underline{(f'y+x)} \quad \underline{(fx)} \quad \underline{(fy-x)}$$

$$(\underline{z} + \underline{f}' \underline{x}) \underline{m} = \underline{m} \quad (\underline{f}' \underline{x}) \underline{m} = \underline{m}$$

$$(\underline{z} + \underline{f}' \underline{x})$$

(GF)

$$\underline{x} \underline{y} \quad \frac{\underline{z}}{(\underline{f}' \underline{y} + \underline{x}) \underline{m} - (\underline{f}' \underline{x}) \underline{m} - (\underline{z} + \underline{f}' \underline{x}) \underline{m} - \underline{m} (\underline{x} \underline{f}' - \underline{y} \underline{f}' - \underline{z} \underline{f}') \underline{m}} = \underline{m} \quad \begin{matrix} \underline{y} \\ (0) \end{matrix}$$

komplexe quadraturmethode einführen
Effekte der wiederauflösen numerische habe, da

$$\{ \underline{L} \leq \underline{f} \leq 0 : f \leq x \leq 0 \} = \emptyset$$

$$\{ \underline{L} \leq \underline{f} \leq 0 : f \leq x \leq 0 \} = \underline{m} \times \underline{m} = \underline{m}$$

$$\{ \underline{L} \leq \underline{f} \leq 0 : f \leq x \leq 0 \} = \underline{m}$$

$$\{ f = N y : N \leq n : n = 0, 1, \dots, N : x = f \} = \underline{m}$$

effektiv für numerische Lösung:

Integration auf quadraturmethode:

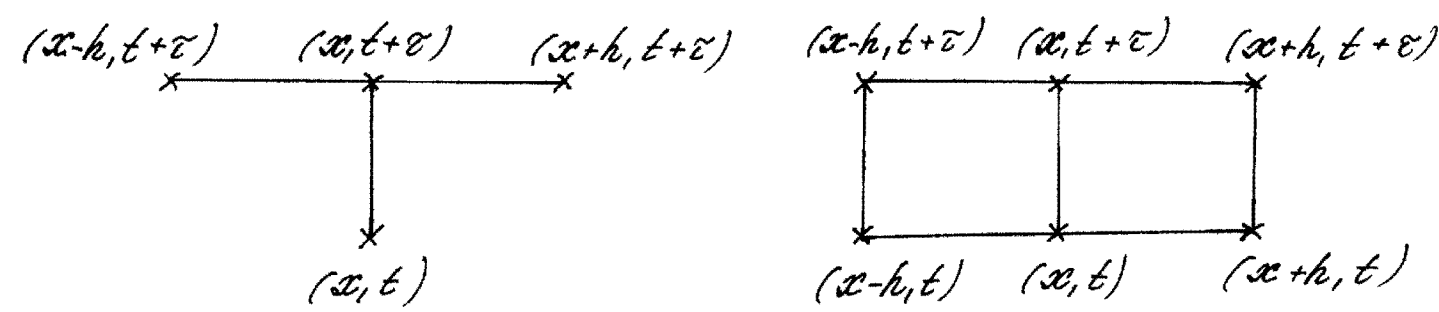
$$(II) \quad \underline{L} \leq \underline{f} \leq 0, \quad \underline{m} = (\underline{f}' \underline{f}) \underline{n}, \quad \underline{m} = (\underline{f}' \underline{f}) \underline{n}$$

$$(III) \quad \underline{f} \leq \underline{x} \leq 0, \quad \underline{m} = (\underline{x} \underline{f}) \underline{n}$$

$$(IV) \quad \underline{L} \leq \underline{f} > 0, \quad \underline{f} > \underline{x} > 0, \quad (\underline{f} \underline{x}) \underline{f} + \frac{\underline{x} \underline{f}}{\underline{m} \underline{f}} = \frac{\underline{f} \underline{f}}{\underline{m} \underline{f}}$$

numerische quadratur für einfache

z. Integration quadratur für problem



$$L_{h\sigma}^{(1)} w = w_t - \hat{w}_{xx} \quad (18)$$

$$L_{h\sigma}^{(\sigma)} w = w_t - (\sigma \hat{w}_{xx} + (1-\sigma) \bar{w}_{xx}) \quad (19)$$

$$w_t = \frac{\partial w}{\partial t}(x, t) + \frac{\epsilon}{2} \frac{\partial^2 w(x, t)}{\partial x^2} = \mathcal{O}(\epsilon^2) \quad (20)$$

$$\hat{w}_{xx} = \frac{\partial^2 w}{\partial x^2}(x, t) + \frac{h^2}{2} \frac{\partial^4 w}{\partial x^4}(x, t) = \mathcal{O}(h^4)$$

Подставив (20) в (17), (18), получим

$$\psi^{(0)} = L_{h\sigma}^{(0)} w - L w(x, t) = \mathcal{O}(h^2 + \epsilon) \quad (21)$$

$$\psi^{(1)} = L_{h\sigma}^{(1)} w - L w(x, t) = \mathcal{O}(h^2 + \epsilon) \quad (22)$$

При $\sigma = 0,5$ („симметрическая схема“)

$$\psi^{(0,5)} = L_{h\sigma}^{(0,5)} w - L w(x, t + \frac{\epsilon}{2}) = \mathcal{O}(h^2 + \epsilon^2), \quad (23)$$

где ψ — порядковость аппроксимации оператора L , соединяющей разностные операторы L_h и L .

Добавив к разностному уравнению правостороннее начальное и граничное условия, аппроксимирующие условия (13) и (14), получим разностную начально-краевую задачу (схему):

$$\hat{L}_{h\sigma}^{(s)} y = y_t - (\sigma \hat{y}_{xx} + (1-\sigma) \hat{y}_{\bar{x}\bar{x}}) = \mathcal{I}, (x_n, t_s) \in \omega_{h\sigma} \quad (24)$$

$$y(x, 0) = u_0(x), \quad x = x_n \in \bar{\omega}_h, \quad (25)$$

$$y(0, t) = \mu_0, \quad y(1, t) = \mu_1, \quad t = t_s \in \bar{\omega}_t, \quad (26)$$

тогда $\mathcal{I} = \mathcal{I}_n^s = \mathcal{I}(x_n, t_s)$.

Схема (24)-(26) аппроксимируется уравнениями (12)-(14) с погрешностью $O(h^2 + \varepsilon)$ при $\sigma = 0, \sigma = 1$ и $O(h^2 + \varepsilon^2)$ при $\sigma = 0,5$.

Схема называется абсолютной, если $\sigma = 0$. При $\sigma \neq 0$ схема называется условной (при $\sigma = 1$ — односторонней условной).

Метод схемы ($\sigma = 0$):

$$y_n^{s+1} = y_n^s + \frac{\varepsilon}{h^2} (y_{n-1}^s - 2y_n^s + y_{n+1}^s) + \varepsilon \mathcal{I}_n^s \quad (27)$$

$$n = 1, 2, \dots, N-1; \quad s = 0, 1, \dots, S.$$

Условия устойчивости схемы ($\sigma = 1$):

$$\frac{1}{h^2} y_{n-1}^{s+1} - \left(\frac{2}{h^2} + \frac{1}{\varepsilon} \right) y_n^{s+1} + \frac{1}{h^2} y_{n+1}^{s+1} = - \left(\frac{1}{\varepsilon} y_n^s + \mathcal{I}_n^s \right)$$

$$n = 1, 2, \dots, N-1; \quad s = 0, 1, \dots, S. \quad (28)$$

Теорема. Для устойчивости прогнозистической схемы (24)-(26) достаточно, чтобы оценка в общем виде не зависела от h и ε и не превышала $C_1 \geq 0$ и $C_2 > 0$, при которых имеет место оценка

$$\| y^{s+1} \| \leq (1 + C_1 \varepsilon) \| y^s \| + C_2 \varepsilon \| \mathcal{I} \| \quad (29)$$

Замечание. В (29) берут нормы:

равномерные (абсолютные): $\|y\| = \max_{n,s} |y_n^s|$ (30)

на s -м срезе: $\|y^s\| = \max_n |y_n^s|$ (31)

Доказательство.

$$\begin{aligned} \|y^{s+1}\| &\leq (1+C_1\varepsilon)\|y^s\| + C_2\varepsilon\|\mathcal{G}\| \leq (1+C_1\varepsilon)\{(1+C_1\varepsilon)\|y^{s-1}\| \\ &+ C_2\varepsilon\|\mathcal{G}\|\} + C_2\varepsilon\|\mathcal{G}\| = (1+C_1\varepsilon)^2\|y^{s-1}\| + C_2\varepsilon\|\mathcal{G}\|\{1+ \\ &+ (1+C_1\varepsilon)\} \leq \dots \leq (1+C_1\varepsilon)^{s+1}\|y^0\| + C_2\varepsilon\|\mathcal{G}\|\{1+ \\ &+ (1+C_1\varepsilon) + \dots + (1+C_1\varepsilon)^s\} \leq (1+C_1\varepsilon)^{m+1}\|u_0\| + \\ &+ C_2\varepsilon(m+1)(1+C_1\varepsilon)^m\|\mathcal{G}\|, \quad s \leq m, \end{aligned} \quad (33)$$

$$\text{Так как } (1+C_1\varepsilon)^m \leq (1+C_1\varepsilon)^M \leq e^{C_1\varepsilon M} = e^{C_1 T} \quad (33)$$

также $m \leq M$, то получаем $M_1 = e^{C_1 T}$, $M_2 = C_2 T M_1 \Rightarrow$

$$\|y\| \leq M_1\|u_0\| + M_2\|\mathcal{G}\|. \quad (34)$$

Рассмотрим устойчивость схемы наивной ячейки ($\theta=1$).

$$(28) \Rightarrow y_n^{s+1} = y_n^s - \gamma \{2y_n^{s+1} - y_{n+1}^{s+1} - y_{n-1}^{s+1}\} + \varepsilon \mathcal{G}_n^s, \quad \gamma = \frac{\theta\varepsilon}{h^2} \quad (35)$$

$$y_{k_0}^{s+1} = \max_n y_n^{s+1} \geq y_n^{s+1} \Rightarrow \quad (36)$$

$$2y_{k_0}^{s+1} - y_{k_0+1}^{s+1} - y_{k_0-1}^{s+1} \geq 0 \Rightarrow \quad (37)$$

$$y_{k_0}^{s+1} \leq y_{k_0}^s + \varepsilon \mathcal{G}_{k_0}^s \quad (38)$$

$$y_{l_0}^{s+1} = \min_n y_n^{s+1} \leq y_n^{s+1} \Rightarrow \quad (39)$$

$$2y_{l_0}^{s+1} - y_{l_0+1}^{s+1} - y_{l_0-1}^{s+1} \leq 0 \Rightarrow \quad (40)$$

$$y_{k_0}^{s+1} \geq y_{k_0}^s + \varepsilon I_{k_0}^s \quad (41)$$

$$(38), (41) \Rightarrow y_{k_0}^s + \varepsilon I_{k_0}^s \leq y_{k_0}^{s+1} \leq y_n^{s+1} \leq y_{k_0}^{s+1} \leq y_{k_0}^s + \varepsilon I_{k_0}^s \quad (42)$$

$$(42) \Rightarrow$$

$$|y_n^{s+1}| \leq \|y^s\| + \varepsilon \|I\| \quad (43)$$

$$(43) \Rightarrow$$

$$\|y^{s+1}\| \leq \|y^s\| + \varepsilon \|I\| \quad (44)$$

Рассмотрим устойчивость явной схемы ($\sigma = 0$).

$$(27) \Rightarrow y_n^{s+1} = (1-2\gamma)y_n^s + \gamma y_{n+1}^s + \gamma y_{n-1}^s + \varepsilon I_n^s \quad (45)$$

Также $\gamma < \frac{1}{2}$. Тогда $1-2\gamma > 0$ и получим

$$\begin{aligned} |y_n^{s+1}| &\leq (1-2\gamma)|y_n^s| + \gamma|y_{n+1}^s| + \gamma|y_{n-1}^s| + \varepsilon|I_n^s| \leq \\ &\leq (1-2\gamma + \gamma + \gamma)\|y^s\| + \varepsilon\|I\| = \|y^s\| + \varepsilon\|I\| \end{aligned} \quad (46)$$

$$(46) \Rightarrow \|y^{s+1}\| \leq \|y^s\| + \varepsilon\|I\| \quad (47)$$

Также $\delta y_n^s = (-1)^n \epsilon$, $\epsilon > 0$ - ошибка на s -м шаге.

$$\begin{aligned} \delta y_n^{s+1} &= (1-2\gamma)\delta y_n^s + \gamma \delta y_{n+1}^s + \gamma \delta y_{n-1}^s = (-1)^n \epsilon (1-2\gamma-\gamma-\gamma) = \\ &= (-1)^{n+1} (4\gamma - 1) \epsilon \end{aligned} \quad (48)$$

$\gamma > \frac{1}{2} \Rightarrow |\delta y_n^{s+k}| = (4\gamma - 1)^k \epsilon$, $4\gamma - 1 > 1 \Rightarrow$ ошибка неограниченно возрастает, при этом с увеличением шага схема ошибка уменьшается (увеличиваются число шагов).

Вывод. Число явных шагов является ограничено устойчивой. Явная схема является устойчивой устойчивой при выполнении условия

$$\gamma < \frac{1}{2} \text{ и } \varepsilon < \frac{h^2}{2a^2} \quad (49)$$

3. Метод прогонки.

$$\left\{ \begin{array}{l} A_n y_{n-1} - C_n y_n + B_n y_{n+1} = -F_n, \quad n=1, 2, \dots, N-1 \\ y_0 = \alpha_1 y_1 + \mu_1, \quad y_N = \alpha_2 y_{N-1} + \mu_2 \end{array} \right. \quad (50)$$

$$A_n \neq 0, B_n \neq 0, \quad n=1, 2, \dots, N-1.$$

$$y_n = \alpha_{n+1} y_{n+1} + \beta_{n+1}, \quad n=0, 1, \dots, N-1 \quad (52)$$

(52) \Rightarrow

$$y_{n-1} = \alpha_n y_n + \beta_n = \alpha_n \alpha_{n+1} y_{n+1} + \alpha_n \beta_{n+1} + \beta_n \quad (53)$$

$$(52), (53), (50) \Rightarrow (\alpha_{n+1} (\alpha_n A_n - C_n) + B_n) y_{n+1} + \\ + (\beta_{n+1} (\alpha_n A_n - C_n) + \beta_n A_n + F_n) = 0 \quad (54)$$

(54) \Rightarrow

$$\text{Прямой ход: } \alpha_{n+1} = \frac{B_n}{C_n - \alpha_n A_n} \quad (55)$$

$$\beta_{n+1} = \frac{A_n \beta_n + F_n}{C_n - \alpha_n A_n} \quad n=1, 2, \dots, N-1$$

$$(51), (52) \quad n=0 \Rightarrow \alpha_1 = \alpha_1, \quad \beta_1 = \mu_1. \quad (56)$$

$$(51), (52) \quad n=N-1 \Rightarrow y_N = \frac{\mu_2 + \beta_{N-1} \alpha_2}{1 - \alpha_{N-1} \alpha_2} \quad (57)$$

$$\text{Обратный ход: } y_n = \alpha_{n+1} y_{n+1} + \beta_{n+1}, \quad n=N-1, N-2, \dots, 0 \quad (58)$$

Достижение устойчивого решения:

$$|C_n| \geq |A_n| + |B_n|, \quad n=1, 2, \dots, N-1,$$

$$|\alpha_d| \leq 1, \quad d=1, 2, \quad |\alpha_1| + |\alpha_2| < 2 \quad (59)$$

Число итераций для достижения устойчивого решения $\leq O(N)$.

Показем, что (59) $\Rightarrow |\alpha_i| \leq 1$, $i=1, 2, \dots, N$

Учтем: а) $|\alpha_1| = |\alpha_1| \leq 1$; б) $|\alpha_i| \leq 1 \Rightarrow |\alpha_{i+1}| \leq 1$

$$(59) \Rightarrow |C_i - \alpha_i A_i| - |B_i| \geq |C_i| - |\alpha_i| |A_i| - |B_i| \geq \\ \geq |A_i| (1 - |\alpha_i|) \geq 0 \quad (59a)$$

$$B_i \neq 0, (59a) \Rightarrow |C_i - \alpha_i A_i| > 0$$

$$(59a) \Rightarrow |C_i - \alpha_i A_i| \geq |B_i| \Rightarrow$$

$$|\alpha_{i+1}| = \frac{|B_i|}{|C_i - \alpha_i A_i|} \leq 1$$

Показем, что $|\alpha_i| < 1 \Rightarrow |\alpha_{i+1}| < 1$.

Если $|\alpha_i| < 1$, то $A_i \neq 0$, (59a) $\Rightarrow |C_i - \alpha_i A_i| > |B_i| \Rightarrow$
 $|\alpha_{i+1}| < 1$.

Показем, что (59) $\Rightarrow 1 - \alpha_N \alpha_1 \neq 0$.

а) $|\alpha_1| < 1 \Rightarrow |\alpha_1| \leq 1 \Rightarrow |\alpha_1| \leq 1 \Rightarrow |\alpha_N| \leq 1 \Rightarrow$
 $|1 - \alpha_N \alpha_1| \geq 1 - |\alpha_N| \cdot |\alpha_1| \geq 1 - |\alpha_1| > 0$.

б) $|\alpha_1| \leq 1 \Rightarrow |\alpha_1| < 1 \Rightarrow |\alpha_1| < 1 \Rightarrow |\alpha_N| < 1 \Rightarrow$
 $|1 - \alpha_N \alpha_1| \geq 1 - |\alpha_N| \cdot |\alpha_1| \geq 1 - |\alpha_N| > 0$.

Так $|\alpha_i| \leq 1$ означает $\delta y_{i+1} = \tilde{y}_{i+1} - y_{i+1}$ не
неприменим: $y_i = \alpha_{i+1} y_{i+1} + \beta_{i+1}$, $\tilde{y}_i = \alpha_{i+1} \tilde{y}_{i+1} + \beta_{i+1} \Rightarrow$
 $\delta y_i = \alpha_{i+1} \delta y_{i+1} \Rightarrow |\delta y_i| = |\alpha_{i+1}| |\delta y_{i+1}| \leq |\delta y_{i+1}|$
Если $\alpha_{i+1}, \beta_{i+1}$ логарифмич., то $\max_{1 \leq i \leq N} |\delta y_i| \approx \varepsilon_0 N^2$,
 ε_0 - константа пропорциональности.

4. Экономическое разностное схема. Схема первичных направлений.

Схема применима для решения многомерных задач и состоящие в себе достоинства явных и неявных схем подразделяют экономичностью.

Экономическая разностная схема:

- 1) явная по времени и неявная по пространству;
- 2) требует при переходе со шага на следующий шаг выполнение определенных процедур численного метода узлов сетки.

Схема первичных направлений (Пиавен и Ридфорд 1955г.)

$$\frac{\partial u}{\partial t} = L_1 u + f(x, t), \quad (x, t) \in Q_T, \quad (60)$$

$$u(x, 0) = u_0(x), \quad x \in \bar{D}, \quad (61)$$

$$u(x, t) = \mu(x), \quad x \in I, \quad t \in [0, T], \quad (62)$$

$$L_1 u \equiv \Delta u = L_1 u + L_2 u, \quad L_\alpha u = \frac{\partial^2 u}{\partial x_\alpha^2} \quad (\alpha = 1, 2),$$

$$\bar{D} \equiv \{0 \leq x_\alpha \leq l_\alpha; \alpha = 1, 2\}, \quad Q_T \equiv D \times (0, T], \quad x = (x_1, x_2)$$

$$\frac{y^{s+\frac{t}{2}} - y^s}{0,5\tau} = \lambda_1 y^{s+\frac{t}{2}} + \lambda_2 y^{s+\frac{t}{2}} + g^s, \quad (63)$$

$$\frac{y^{s+1} - y^{s+\frac{t}{2}}}{0,5\tau} = \lambda_1 y^{s+\frac{t}{2}} + \lambda_2 y^{s+\frac{t}{2}} + g^s, \quad (64)$$

$$y(x, 0) = u_0(x), \quad x \in \bar{D}_h, \quad (65)$$

$$y^{s+\frac{t}{2}} = \mu \quad n_2 = 0, \quad n_2 = N_2, \quad (66a)$$

$$y^{s+\frac{t}{2}} = \mu \quad n_1 = 0, \quad n_1 = N_1, \quad (66b)$$

$$\bar{\omega}_h \equiv \bar{\omega}_{h_1 h_2} = \omega_h + \gamma_h \equiv \{ (x_{n_1}, x_{n_2}) \in \bar{\Omega}; 0 \leq n_\alpha \leq N_\alpha; \alpha = 1, 2 \},$$

$$L \rightarrow \Lambda y = \Lambda_1 y + \Lambda_2 y, \quad \Lambda_\alpha y = y_{\bar{x}_\alpha x_\alpha}, \quad \alpha = 1, 2,$$

$$t = t_{s+\frac{1}{2}} = t_s + 0.5\tau; \quad \bar{y} = y^{s+\frac{1}{2}}$$

$$(63) \Rightarrow \frac{2}{\tau} \bar{y} - \Lambda_1 \bar{y} = F, \quad \text{где } F = \frac{2}{\tau} y + \Lambda_2 y + g \quad (67)$$

$$(64) \Rightarrow \frac{2}{\tau} \hat{y} - \Lambda_2 \hat{y} = \bar{F}, \quad \text{где } \bar{F} = \frac{2}{\tau} \bar{y} + \Lambda_1 \bar{y} + g \quad (68)$$

$$(67) \Rightarrow \frac{1}{h_1^2} \bar{y}_{n_1-1} - 2\left(\frac{1}{h_1^2} + \frac{1}{\tau}\right) \bar{y}_{n_1} + \frac{1}{h_1^2} \bar{y}_{n_1+1} = -F_{n_1}, \quad (69)$$

$$n_1 = 1, 2, \dots, N_1 - 1,$$

$$\bar{y}_{n_1} = \mu_{n_1} \quad n_1 = 0, n_1 = N_1, \quad (70)$$

$$(68) \Rightarrow \frac{1}{h_2^2} \hat{y}_{n_2-1} - 2\left(\frac{1}{h_2^2} + \frac{1}{\tau}\right) \hat{y}_{n_2} + \frac{1}{h_2^2} \hat{y}_{n_2+1} = -\bar{F}_{n_2}, \quad (71)$$

$$\hat{y}_{n_2} = \mu_{n_2} \quad n_2 = 0, n_2 = N_2, \quad (72)$$

$$x_n = (n_1, h_1, n_2 h_2), \quad F = F_{n_1 n_2}, \quad y = y_{n_1 n_2},$$

фиксированный шагом не изменяется.

Прогонка вдоль каждого отрезка $n_2 = 1, 2, \dots, N_2 - 1$ требует $\mathcal{O}(N_1)$ арифметических операций - всего $\mathcal{O}(N_1 N_2)$. Прогонка вдоль каждого отрезка $n_1 = 1, 2, \dots, N_1 - 1$ требует $\mathcal{O}(N_2)$ операций - всего $\mathcal{O}(N_1 N_2)$. Т.к. по всем первоначальным начальным требованиям числа арифметических операций $\mathcal{O}(N_1 N_2)$ пропорциональны числу узлов, они и на каждом узле присоединяются число операций, не зависящее от числа узлов.

5. Консервативные однородные разностные схемы.

Под однородными разностными схемами (ОРС) подразумеваются такие схемы, при которых не зависит ни от выбора конкретной задачи из данного класса, ни от выбора разностной сетки. Параметрическим ОРС определяются как функционалы коэффициентов цифровизированного уравнения ("матричные функционалы").

ОРС симметричного (или несимметричного) сетки.

Схемы, нарушающие на симметрии законов сохранения, называются консервативными или дивергентными.

Схемы, нарушающие законов сохранения, называются неконсервативными или дисбалансовыми.

1) Итеративно-методом итерационный метод (ИММ) - метод баланса.

Разностное уравнение

$$(K(x)u'(x))' - g(x)u(x) = -f(x), \quad (1)$$

где $K(x)$ и $f(x)$ могут быть разрывными.

Уравнение (1) описывает стационарное распределение тепла в сплошности. Введём равномерную сеть Δx и промежуточные потенциалы узла $X_{i+0.5} = X_i \pm 0.5h$.

Закон сохранения тепла (уравнение баланса) на отрезке $[X_{i-0.5}, X_{i+0.5}]$:

$$W_{i-0.5} - W_{i+0.5} - \int_{X_{i-0.5}}^{X_{i+0.5}} g(x)u(x) dx + \int_{X_{i-0.5}}^{X_{i+0.5}} f(x) dx = 0, \quad (2)$$

згд $W(x) = -\kappa(x) \frac{du}{dx}$ - менюбой норм.

Предположим, чындо $U = U_i = \text{const}$ няи $x_{i-0.5} \leq x \leq x_{i+0.5}$.

Тогда

$$\int_{x_{i-0.5}}^{x_{i+0.5}} g(x) u(x) dx \approx h u_i d_i, \quad (3)$$

згд

$$d_i = \frac{1}{h} \int_{x_{i-0.5}}^{x_{i+0.5}} g(x) dx. \quad (4)$$

Проинтегрируем побаком $\frac{du}{dx} = -\frac{W}{\kappa}$ на отрезке $[x_{i-1}, x_i]$:

$$u_{i-1} - u_i = \int_{x_{i-1}}^{x_i} \frac{W(x)}{\kappa(x)} dx. \quad (5)$$

Получим $W = W_{i-0.5} = \text{const}$ няи $x_{i-1} \leq x \leq x_{i+1}$.

Тогда

$$u_{i-1} - u_i \approx W_{i-0.5} \int_{x_{i-1}}^{x_i} \frac{dx}{\kappa(x)} \quad (6)$$

или

$$W_{i-0.5} \approx -\alpha_i \frac{u_i - u_{i-1}}{h} = -\alpha_i u_{\bar{x}, i}, \quad (7)$$

згд

$$\alpha_i = \left\{ \frac{1}{h} \int_{x_{i-1}}^{x_i} \frac{dx}{\kappa(x)} \right\}^{-1} \quad (8)$$

(2)-(4), (6)-(8) \Rightarrow

$$\frac{1}{h} \left\{ \alpha_{i+1} \frac{y_{i+1} - y_i}{h} - \alpha_i \frac{y_i - y_{i-1}}{h} \right\} - d_i y_i = -g_i, \quad (9)$$

згд

$$g_i = \frac{1}{h} \int_{x_{i-0.5}}^{x_{i+0.5}} f(x) dx \quad (10)$$

2) Метод конечных элементов (МКЭ) -
проекционно-семантический метод.

Рассмотрим краевую задачу:

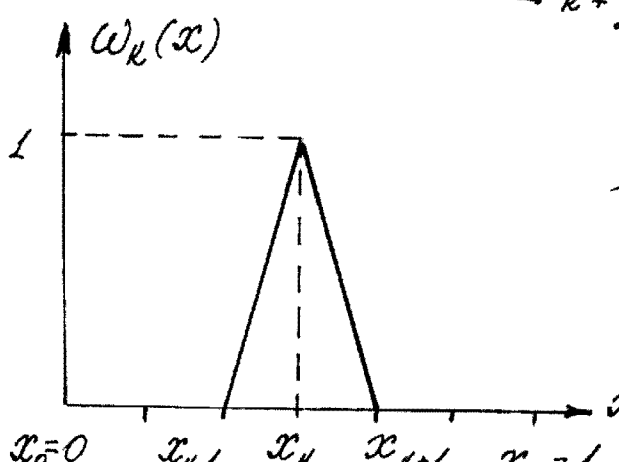
$$\left\{ \begin{array}{l} -\frac{d}{dx} (p(x) \frac{du}{dx}) + q(x) u = f(x), \quad 0 < x < 1, \\ u(0) = 0, \quad u(1) = 0. \end{array} \right. \quad (12)$$

Пусть отрезок $0 \leq x \leq 1$ состоящий из N равных $x_{k-1} \leq x \leq x_k$ и для каждого $k \geq 1$ будем функцию $\tilde{\omega}_k(x)$:

$$\tilde{\omega}_k(x) = \begin{cases} 0, & 0 \leq x \leq x_{k-1}, \\ \tilde{\omega}_1(x), & x_{k-1} \leq x \leq x_k, \\ \tilde{\omega}_2(x), & x_k \leq x \leq x_{k+1}, \\ 0, & x_{k+1} \leq x \leq x_N = 1, \end{cases} \quad (13)$$

т.е. $\tilde{\omega}_1(x) = \frac{x - x_{k-1}}{\Delta_{k-\frac{1}{2}}} , \quad x_{k-1} \leq x \leq x_k, \quad \Delta_{k-\frac{1}{2}} = x_k - x_{k-1},$

$$\tilde{\omega}_2(x) = \frac{x_{k+1} - x}{\Delta_{k+\frac{1}{2}}}, \quad x_k \leq x \leq x_{k+1}, \quad \Delta_{k+\frac{1}{2}} = x_{k+1} - x_k$$



Система функций $\{\tilde{\omega}_k(x)\}$ построена таким образом, что любую непрерывную кусочно-линейную функцию $\vartheta(x)$ с возможными изломами в узловых точках $\{x_k\}$ и образующую на отрезке $[0, 1]$ можно представить в виде линейной комбинации функций $\{\tilde{\omega}_k(x)\}$:

$$g(x) = \sum_k g_k w_k(x),$$

где в качестве коэффициентов стоят значения самой функции $g(x)$ в точках x_k : $g_k = g(x_k)$.

Система $\{w_k(x)\}$ обладает также некоторыми аналогичными свойствами ортонормированности:

$$(w_k, w_n) = \int_0^1 w_k(x) w_n(x) dx = \begin{cases} 0, & n \leq k-2, \\ \frac{1}{6} \Delta_{k-\frac{1}{2}}, & n = k-1, \\ \frac{1}{3} (\Delta_{k-\frac{1}{2}} + \Delta_{k+\frac{1}{2}}), & n = k, \\ \frac{1}{6} \Delta_{k+\frac{1}{2}}, & n = k+1, \\ 0, & n \geq k+2. \end{cases} \quad (15)$$

$$(11) \Rightarrow \int_0^1 \left\{ -\frac{d}{dx} \left(p(x) \frac{du}{dx} \right) + g(x) u - f(x) \right\} w_k(x) dx = 0 \quad (16)$$

$$(12), (16) \Rightarrow \int_0^1 \left\{ p(x) \frac{du}{dx} \frac{dw_k}{dx} + (g(x) u - f(x)) w_k \right\} dx = 0 \quad (17)$$

$$(13), (17) \Rightarrow \sum_k \int_{x_{k-1}}^{x_{k+1}} \left\{ p(x) \frac{du}{dx} \frac{dw_k}{dx} + (g(x) u - f(x)) w_k \right\} dx = 0 \quad (18)$$

Нашим решением задачи (11)-(18) будет представление по системе $\{w_k(x)\}$:

$$u(x) = \sum_k u_k w_k(x) \quad (19)$$

$$\begin{aligned}
 (18), (19) \Rightarrow & \int_{x_{k-1}}^{x_k} p(x) \frac{du}{dx} \frac{d\omega_x}{dx} dx = \frac{p_{k-\frac{1}{2}}}{\Delta_{k-\frac{1}{2}}} (u_k - u_{k-1}), \\
 & \int_{x_k}^{x_{k+1}} p(x) \frac{du}{dx} \frac{d\omega_x}{dx} dx = -\frac{p_{k+\frac{1}{2}}}{\Delta_{k+\frac{1}{2}}} (u_{k+1} - u_k), \\
 & \int_{x_{k-1}}^{x_k} g(x) u \omega_x dx = \mathcal{G}_{k-\frac{1}{2}}^{1,1} u_{k-1} + \mathcal{G}_{k-\frac{1}{2}}^{1,1} u_k, \quad (20) \\
 & \int_{x_k}^{x_{k+1}} g(x) u \omega_x dx = \mathcal{G}_{k+\frac{1}{2}}^{2,2} u_k + \mathcal{G}_{k+\frac{1}{2}}^{2,2} u_{k+1}, \\
 \text{т.е.} & p_{k+\frac{1}{2}} = \frac{1}{\Delta_{k+\frac{1}{2}}} \int_{x_k}^{x_{k+1}} p(x) dx, \quad (21) \\
 & \mathcal{G}_{k+\frac{1}{2}}^{ij} = \int_{x_k}^{x_{k+1}} \omega_i(x) \omega_j(x) g(x) dx, \quad i,j=1,2.
 \end{aligned}$$

$$\begin{aligned}
 (18), (20) \Rightarrow & \frac{p_{k-\frac{1}{2}}}{\Delta_{k-\frac{1}{2}}} (u_k - u_{k-1}) - \frac{p_{k+\frac{1}{2}}}{\Delta_{k+\frac{1}{2}}} (u_{k+1} - u_k) + \\
 & + \mathcal{G}_{k-\frac{1}{2}}^{1,2} u_{k-1} + (\mathcal{G}_{k-\frac{1}{2}}^{1,1} + \mathcal{G}_{k+\frac{1}{2}}^{2,1}) u_k + \mathcal{G}_{k+\frac{1}{2}}^{1,2} u_{k+1} = F_k, \\
 \text{т.е.} & F_k = \int_{x_{k-1}}^{x_k} f(x) \omega_1 dx + \int_{x_k}^{x_{k+1}} f(x) \omega_2 dx = \int_{x_{k-1}}^{x_{k+1}} f(x) \omega_k(x) dx \quad (22)
 \end{aligned}$$

К уравнению (22) могут добавляться граничные условия:

$$u_0 = 0, \quad u_N = 0 \quad (24)$$

§ 4. Асимптотические методы.

Получение формулы, описывающей качественное behavior решения на некотором промежутке.

1. Метод малого параметра.

1) Решение в окрестности.

Рассмотрим задачу Коши:

$$\frac{dy}{dt} = f(y, t, \mu), \quad y(0, \mu) = y^* \quad (1)$$

Пусть параметр μ изменяется в некоторой окрестности значения $M=0$. Предположим, что при $\mu=0$ решение задачи (1) существует. Нас интересует решение при $\mu \neq 0$, но достаточно малое.

Теорема. Если функция f , $\frac{\partial f}{\partial y}$ непрерывны по всем переменным y, t, μ в D , где

$$D = \left\{ t \leq a, |y - y^*| \leq b, |\mu| \leq c \right\},$$

то решение задачи (1) непрерывно по t и параметру μ при $t \in [0, T]$, $|\mu| \leq c$. Здесь $T = \min \left\{ a, \frac{b}{M} \right\}$, $M: |f(y, t, \mu)| \leq M$.

Рассмотрим задачу (1) при $\mu=0$:

$$\frac{d\bar{y}}{dt} = f(\bar{y}, t, 0), \quad \bar{y}(0) = y^* \quad (2)$$

Утверждение аналогично, что при $t \in [0, T]$

$$y(t, \mu) = \bar{y}(t) + \varepsilon(t, \mu), \quad (3)$$

где $\varepsilon(t, \mu) \rightarrow 0$ при $\varepsilon \rightarrow 0$.

Формула (3) - асимптотическая формула (асимптотическое представление) решения $y(t, \mu)$ по малому параметру μ .

Асимптотическое формулами по малому параметру мы будем называть такие формулы, в которых некоторые члены, выраженные остаточными членами, пренебрегаются не только, а удаляются из них свойства при $\mu \rightarrow 0$, например порядок ограничения μ пусть при $\mu \rightarrow 0$. В реальных задачах мы являемся малой, но не бесконечно малой величиной. Поэтому асимптотическое формуламе производную от малых величин забыть не могут и в этом их принципиальной недостаток. Асимптотические формулы удобны тогда, когда можно получить качественную картину решения.

Разложение функции $f(y, t, \mu)$ в ряд по степеням μ предполагает, что она обладает ненулевыми членами производных по μ и y):

$$f(y, t, \mu) = f_0(y, t, 0) + \mu f_1(y, t, 0) + \mu^2 f_2(y, t, 0) + \dots \quad (4)$$

где $f_\kappa(y, t, 0)$ ($\kappa = 0, 1, \dots$) - члены в общие коэффициенты.

Представим решение задачи (1) в виде формального степенного ряда:

$$y(t) = y_0(t) + \mu y_1(t) + \mu^2 y_2(t) + \dots \quad (5)$$

$$(1), (4), (5) \Rightarrow$$

$$\begin{aligned} y_0' + \mu y_1' + \mu^2 y_2' + \dots &= f_0(y_0 + \mu y_1 + \mu^2 y_2 + \dots, t, 0) + \\ &+ \mu f_1(y_0 + \mu y_1 + \mu^2 y_2 + \dots, t, 0) + \dots \end{aligned} \quad (6)$$

$$\begin{aligned} y_0' + \mu y_1' + \mu^2 y_2' + \dots &= f_0(y_0, t, 0) + (\mu y_1 + \mu^2 y_2 + \dots) \frac{\partial f_0}{\partial y}(y_0, t, 0) + \\ &+ \frac{1}{\mu} (\mu y_1 + \mu^2 y_2 + \dots)^2 \frac{\partial^2 f_0}{\partial y^2}(y_0, t, 0) + \dots + \mu f_1(y_0, t, 0) + \mu(\mu y_1 + \mu^2 y_2 + \dots) \frac{\partial f_1}{\partial y}(y_0, t, 0) + \dots \end{aligned} \quad (7)$$

Продолжим коэффициенты при производных от y в (8):

$$y_0' = f_0(y_0, t, 0) \equiv f(y_0, t, 0),$$

$$y_1' = y_2 \frac{\partial f_0}{\partial y} + f_1,$$

$$y_2' = y_3 \frac{\partial f_0}{\partial y} + y_2^2 \frac{\partial^2 f_0}{\partial y^2} + y_1 \frac{\partial f_1}{\partial y} + f_2, \quad (8)$$

$$y_i' = y_{i+1} \frac{\partial f_0}{\partial y} + F_i(f_0, y_i) \quad (i=0, 1, \dots, n-1)$$

Сумма, вносящая y, t в правую часть в ограниченной области D и $|\mu| \leq \mu_0$, получит очень простое выражение, забывшись о конечной сумме

$$s_n = y_0 + \mu y_1 + \mu^2 y_2 + \dots + \mu^n y_n. \quad (9)$$

$$\text{Тогда } u = y - s_n \Rightarrow$$

$$u' + s_n' = f(u + s_n, t, \mu) = f(s_n, t, \mu) + \frac{\partial f^*}{\partial y}(y^*, t, \mu)u \Rightarrow$$

$$u' - \frac{\partial f^*}{\partial y}u = -s_n' + f(s_n, t, \mu) \equiv R_n, \quad (10)$$

$$\text{т.е. } R_n = s_n' - f(y_0 + \mu y_1 + \mu^2 y_2 + \dots + \mu^n y_n, t, \mu) = O(\mu^{n+1})$$

так как все члены разложения f по μ^n в соответствии с общим уравнением (8) для y_i ($i=0, 1, \dots, n$) \Rightarrow

$$\begin{cases} u' + p(t)u = O(\mu^{n+1}), & t > 0, \\ u(0) = 0, \end{cases} \quad (11)$$

$$\text{т.е. } p(t) = -\frac{\partial f^*}{\partial y}, \quad |p(t)| < K.$$

Запишем в окрести решения $y(t)$:

$$u(t) = \int_0^t \mathcal{O}(\mu^{k+1}) e^{-\int_\sigma^t p(\theta) d\theta} d\sigma \Rightarrow (12)$$

$$|u(t)| \leq C \mu^{k+1} \int_0^t e^{K|t-\sigma|} d\sigma \Rightarrow (13)$$

$$\left| y - \sum_{i=0}^k \mu^i y_i \right| \leq A \mu^{k+1}, \quad (14)$$

то есть получено решение с неопределённостью $\sim \mu^{k+1}$.

Решение (5) наливается асимптотическими рядами или асимптотическими разложениями по малому параметру μ для $y(t, \mu)$. Предположим, что $E_{k+1}(t, \mu) = \mathcal{O}(\mu^{k+1})$ при фиксированных k и $\mu \rightarrow 0$. Тогда она же фиксирована, а $k \rightarrow \infty$, то $E_{k+1}(t, \mu)$ может превысить не имеется, т.е. неопределённый ряд (5) сходящийся, только впрочем, не абсолютно.

Малые члены, отброшенные в уравнении, выражаются логарифмами величинами. Уравнение (6) наливается логарифмами уравнением, а уравнение (1) логарифмами.

Если же входит в $f(y, t, \mu)$ полиномии (линейные равенства) от μ , то получаем полиномии логарифмы.

a) Сингулярное логарифмическое.

Уравнение движения математика в форме с коэффициентами:

$$\begin{cases} \mu y'' + dy' + ky = f(t), & t > 0, \\ y(0) = y_0; \quad y'(0) = y'_0, \end{cases} \quad (15)$$

$$\begin{cases} \mu y'' + dy' + ky = f(t), & t > 0, \\ y(0) = y_0; \quad y'(0) = y'_0, \end{cases} \quad (16)$$

где $\mu = I$ — малое в начальном значении тела относительно исходного.

Если $\mu=0$, то первое уравнение (15) вырождается и одна из уравнений (16) уменьшается в нуль. Поэтому в одномерном случае начальной точки правильной задачи мы не получим.

В данном случае говорят о нерегулярной или асимптотической зависимости от μ и о сингулярных точках.

Рассмотрим задачу Коши:

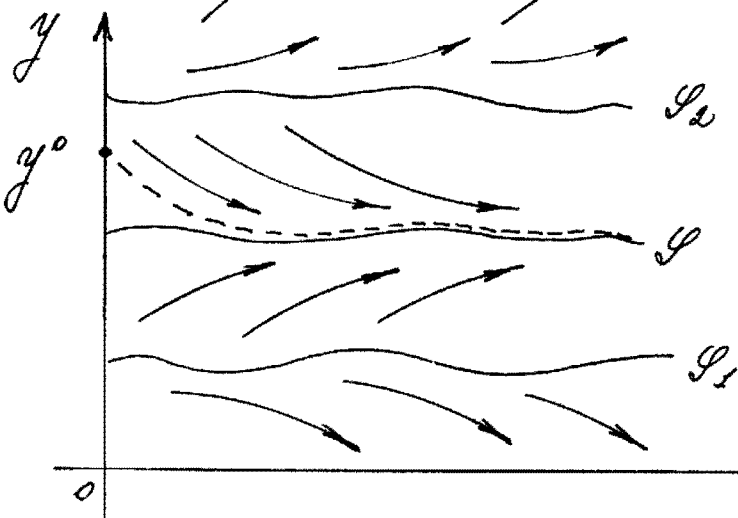
$$\left\{ \begin{array}{l} \mu \frac{dy}{dt} = f(y, t), \quad 0 < t \leq T, \\ y(0) = y^0 \end{array} \right. \quad (17)$$

$$(17)$$

Вырожденное уравнение ($\mu=0$): $f(y, t) = 0$ (18) имеет многое нелинейные решения $\bar{y}_i = g_i(t)$. Но почему из них будет единственное решение $y(t)$ при $\mu \rightarrow 0$?

Корень $\bar{y} = g(t)$ называется упоминанием при $0 \leq t \leq T$ если выполнено условие: $\frac{\partial f}{\partial y}(g(t), t) < 0$.

Области ветвления (устойчивости) корней \bar{y} называются областями, в которых соответствующие кривые направлены к корню.



Теорема. Если $\bar{y}(t) = g(t)$ — устойчивый корень уравнения (18), а начальное значение лежит в ее области ветвления, то решение $y(t, \mu)$ задачи (17)-(18) существует на отрезке $[0, T]$ и для него имеет место

$$\lim_{\mu \rightarrow 0} y(t, \mu) = \bar{y} \text{ при } 0 < t \leq T.$$

Область, в которой решение задачи (17)-(18) $y(t, \mu)$ сильно отличается от решения $\bar{y} = g(t)$ вырожденного уравнения (18), называется пограничным слоем.

Асимптотическое представление для задачи (17)-(18) имеет вид:

$$y(t, \mu) = \bar{y}(t) + \varepsilon(t, \mu), \quad (20)$$

но в отличие от регулярного случая остаточная часть $\varepsilon(t, \mu)$ здесь не является равномерно малой величиной.

При достаточно малой величине μ можно получить асимптотическое представление для решения задачи (17)-(18) с остаточным членом $\underset{\sim}{\varepsilon}(\mu^{k+1})$, то есть с членами по μ регулярных членов или будем говорить о полиномах четвертого члена, зависящие от μ не линейно от t . Полиномы членов имеют начальную величину при $t=0$ и линейно убывают с ростом t :

$$y(t, \mu) = y_0(t) + \mu y_1(t) + \dots + \Pi_0(\tau) + \mu \Pi_1(\tau) + \dots, \quad (21)$$

где $\tau = \frac{t}{\mu}$. Тогда имеем

$$f = F + \mathcal{F}, \text{ где } F = f(y_0(t) + \mu y_1(t) + \dots, t),$$

$$\begin{aligned} \mathcal{F} &= f(y_0(\mu \tau) + \mu y_1(\mu \tau) + \dots + \Pi_0(\tau) + \mu \Pi_1(\tau) + \dots, \mu \tau) - \\ &- f(y_0(\mu \tau) + \mu y_1(\mu \tau) + \dots, \mu \tau), \end{aligned} \quad (22)$$

$$F = F_0(t) + \mu F_1(t) + \dots; \quad \mathcal{F} = \mathcal{F}_0(\tau) + \mu \mathcal{F}_1(\tau) + \dots \quad (23)$$

$$(21), (23) \Rightarrow \mu \frac{dy}{dt} = F + \mathcal{F} \quad (24)$$

$$\begin{aligned} (21), (23), (24) \Rightarrow \mu \frac{dy_0}{dt} + \mu^2 \frac{dy_1}{dt} + \dots + \frac{\partial \Pi_0}{\partial \tau} + \mu \frac{\partial \Pi_1}{\partial \tau} + \dots &= \\ &= F_0 + \mu F_1 + \dots + \mathcal{F}_0 + \mu \mathcal{F}_1 + \dots \end{aligned} \quad (25)$$

$$(25) \Rightarrow F_0(t) = f(y_0(t), t) = 0 \quad (26) \quad \frac{dy_0}{dt} = F_1(t) \quad (27)$$

$$\frac{d \Pi_0}{d \tau} = \mathcal{F}_0(\tau) \quad (28) \quad \frac{d \Pi_1}{d \tau} = \mathcal{F}_1(\tau) \quad (29)$$

$$(28) \Rightarrow F_0(\varepsilon) = \mathcal{F} \Big|_{\mu=0} = f(y_0(0) + \Pi_0(\varepsilon), 0) - f(y_0^*(0), 0) = \\ = f(y_0(0) + \Pi_0(\varepsilon), 0) \quad (30)$$

$$y(t) = y_0(0) + \mu y_1(t) + \dots + \Pi_0(0) + \mu \Pi_1(t) + \dots = y^* = y_0^* + \mu y_1^* + \dots \quad (31)$$

$$(31) \Rightarrow \Pi_0(0) = y_0^* - y_0(0) \quad (32)$$

$$(28), (30), (32) \Rightarrow \begin{cases} \frac{d \Pi_0}{d \varepsilon} = f(y_0(0) + \Pi_0(\varepsilon), 0), \varepsilon > 0, \\ \Pi_0(0) = y_0^* - y_0(0) \end{cases} \quad (33)$$

$$(27) \Rightarrow \frac{dy_0}{dt} = f_y(y_0(t), t) \cdot y_1(t) \quad (35)$$

$$(29), (31) \Rightarrow \begin{cases} \frac{d \Pi_1}{d \varepsilon} = f_y(y_0(0) + \Pi_0(\varepsilon), 0) \cdot \Pi_1(\varepsilon) + Q_1, \varepsilon > 0, \\ \Pi_1(0) = y_1^* - y_1(0), \end{cases} \quad (36)$$

$$\text{т.е. } Q_1 = (f_y(y_0(0) + \Pi_0(\varepsilon), 0) - f_y(y_0(0), 0))(y_0'(0)\varepsilon + y_1(0)) + \\ + (f_t(y_0(0) + \Pi_0(\varepsilon), 0) - f_t(y_0(0), 0))\varepsilon.$$

$$(26) \Rightarrow y_0(t) \Rightarrow (33), (34) \Rightarrow \Pi_0(\varepsilon); (35) \Rightarrow y_1(t) \Rightarrow (36), (37) \Rightarrow \Pi_1(\varepsilon)$$

В общем случае получаем члены:

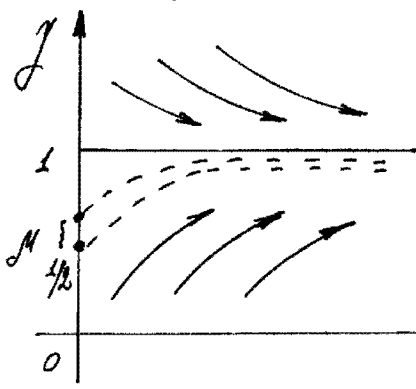
$$\begin{cases} \frac{d \Pi_i}{d \varepsilon} = f_y(y_0(0) + \Pi_0(\varepsilon), 0) \Pi_i(\varepsilon) + Q_i, \varepsilon > 0, \\ \Pi_i(0) = y_i^* - y_i(0), \quad i = 1, 2, \dots, \end{cases} \quad (38)$$

где Q_i - члены выражения, а $y_i(t)$ определяются из соответствующих уравнений.

В теории стационарных уравнений для гомоэостаза, это
раз (31) является асимптотическим разложением в степеней
массы:

$$|y(t, \mu) - \sum_{i=0}^n (\mu^i y_i(t) + \mu^i \Pi_i(\frac{t}{\mu}))| = O(\mu^{n+1}). \quad (39)$$

Пример.



$$\left\{ \begin{array}{l} \mu \frac{dy}{dt} = y - y^2, \quad 0 < t \leq 1, \\ y(0) = \frac{1}{2} + \mu \end{array} \right. \quad (40)$$

$$(36) \Rightarrow y - y^2 = 0 \Rightarrow \bar{y}_1 = 0, \bar{y}_2 = 1. \quad (41)$$

$$f_y \Big|_{y=1} = 1 - 2y \Big|_{y=1} < 0 \Rightarrow \bar{y} = 1 - \text{устойчивый корень} \Rightarrow y_0(t) = 1.$$

$$(33), (34) \Rightarrow$$

$$\left\{ \begin{array}{l} \frac{d\Pi_0}{d\tau} = (1 + \Pi_0) - (1 + \Pi_0)^2, \tau > 0, \\ \Pi_0(0) = -\frac{1}{2} \end{array} \right. \quad (42)$$

$$(42) \Rightarrow y_0' = \frac{1}{2} \Rightarrow$$

$$\left\{ \begin{array}{l} \frac{d\Pi_0}{d\tau} = (1 + \Pi_0) - (1 + \Pi_0)^2, \tau > 0, \\ \Pi_0(0) = -\frac{1}{2} \end{array} \right. \quad (43)$$

$$(42), (43) \Rightarrow \Pi_0(\tau) = -\frac{1}{1+e^\tau} \Rightarrow y = 1 - \frac{1}{1+e^{t/\mu}} + O(\mu). \quad (44)$$

$$(35) \Rightarrow y_1(t) = 0, (42) \Rightarrow y_1' = 1 \quad (45)$$

$$(36), (37), (45) \Rightarrow$$

$$\left\{ \begin{array}{l} \frac{d\Pi_1}{d\tau} = \left(1 - 2 \left(1 - \frac{1}{1+e^\tau} \right) \right) \Pi_1, \tau > 0, \\ \Pi_1(0) = 1 \end{array} \right. \quad (46)$$

$$(46), (47) \Rightarrow$$

$$\Pi_1(\tau) = \frac{4e^\tau}{(1+e^\tau)^2} \Rightarrow$$

$$y = 1 - \frac{1}{1+e^{t/\mu}} + \mu \frac{4e^{t/\mu}}{(1+e^{t/\mu})^2} + O(\mu^2) \quad (48)$$

2. Метод ВКБ (Венуара, Крамерса, Квашинского).

В явной форме, теория колебаний в виде двух частей Вондерсталя симметрично поддающее уравнение вида

$$\mu^2 y'' + Q^2(x)y = 0, \quad a < x < b, \quad (1)$$

где $Q(x) \in C^{(2)}(a, b)$. Решение уравнения (1) можно найти колебательной характеристикой, при этом при малых μ и достаточно колебаний будет очень большой, что характеризует отыскание с помощью рассмотренных методов явления.

Сделаем замену:

$$y = \frac{\vartheta}{\sqrt{Q}} \quad (2)$$

$$(1), (2) \Rightarrow y'_x = \frac{\vartheta'_x}{Q^{1/2}} - \frac{\vartheta Q'}{2Q^{3/2}} \quad (3)$$

$$y''_{xx} = \frac{\vartheta''_{xx}}{Q^{1/2}} - \frac{\vartheta'_x Q'}{Q^{3/2}} - \frac{\vartheta Q''}{2Q^{5/2}} + \frac{3}{4} \frac{\vartheta(Q')^2}{Q^{5/2}}$$

Перейдём к переменной t :

$$t = \frac{1}{\mu} \int_a^x Q(\xi) d\xi \quad (4)$$

$$(4) \Rightarrow \mathcal{I}_x' = \mathcal{I}_t' \frac{Q}{\mu} ; \quad \mathcal{I}_{xx}'' = \mathcal{I}_{tt}'' \frac{Q^2}{\mu^2} + \mathcal{I}_t' \frac{Q'}{\mu} \quad (5)$$

(3), (5) \Rightarrow

$$\mu^2 \mathcal{I}_{xx}'' = \left\{ \mathcal{I}_{tt}'' - \left(\frac{\mathcal{I}Q''}{2Q^3} - \frac{3}{4} \cdot \frac{\mathcal{I}(Q')^2}{Q^4} \right) \mu^2 \right\} Q^{3/2} \quad (6)$$

$$(1), (6) \Rightarrow \mathcal{I}_{tt}'' + \mathcal{I} - \mu^2 \mathcal{P} \mathcal{I} = 0, \quad (7)$$

т.е.

$$\mathcal{P} = \frac{Q''}{2Q^3} - \frac{3}{4} \cdot \frac{(Q')^2}{Q^4} \quad \text{- неизвестные функции.}$$

Вырожденное уравнение при $\mathcal{H} = 0$

$$\bar{\mathcal{I}}_{tt}'' + \bar{\mathcal{I}} = 0 \quad (8)$$

ищем решение

$$\bar{\mathcal{I}} = A \sin t + B \cos t \quad (9)$$

Решим решения \mathcal{I} и $\bar{\mathcal{I}}$ уравнение

(7) и (9), где имеем $\mathcal{I} = \bar{\mathcal{I}}$ при $x = a$.

Дано $x = \mathcal{I} - \bar{\mathcal{I}}$ получим уравнение

$$x'' + x = \mu^2 \mathcal{P} x + \mu^2 \mathcal{P} \bar{\mathcal{I}}, \quad (10)$$

решим некоторое уравнение в форме

$$x(t) = \mu^2 \int_0^t \sin(t-\varepsilon) \mathcal{P}(\varepsilon) x(\varepsilon) d\varepsilon + F(t), \quad (11)$$

т.е.

$$F(t) = \mu^2 \int_0^t \sin(t-\varepsilon) \mathcal{P}(\varepsilon) \bar{\mathcal{I}}(\varepsilon) d\varepsilon. \quad (12)$$

Решение (11) задается сущесвтвом и единственностью при $\mu^2 t C < 1$, где $C = \sup_{x \in [a, b]} |\varphi|$.

Последний

$$t = \frac{1}{\mu} \int_a^x Q(\xi) d\xi \leq \frac{Q_0(b-a)}{\mu}, \quad (13)$$

где $Q_0 = \sup_{x \in [a, b]} Q(x)$,

то решение (11) существует и единственное при

$$\mu < \frac{1}{C Q_0(b-a)} \quad (14)$$

Таким образом

$$|\mathcal{F}(t)| \leq \mu^2 t C \bar{J}_0 \leq \mu C_1, \quad (15)$$

где $\bar{J}_0 = \sup_{x \in [a, b]} |\bar{\varphi}|$.

Для $x_0 = \sup_{x \in [a, b]} |x|$ из (11) \Rightarrow

$$x_0 \leq \mu^2 t C x_0 + \mu C_1. \quad (16)$$

$$(16) \Rightarrow x_0 = \underline{\Omega}(\mu). \quad (17)$$

(2), (4), (8), (17) \Rightarrow

$$y(x) = \frac{1}{\sqrt{Q(x)}} \left\{ A \sin \left(\frac{1}{\mu} \int_a^x Q(\xi) d\xi \right) + B \cos \left(\frac{1}{\mu} \int_a^x Q(\xi) d\xi \right) + \underline{\underline{O}}(\mu) \right\} \quad (18)$$

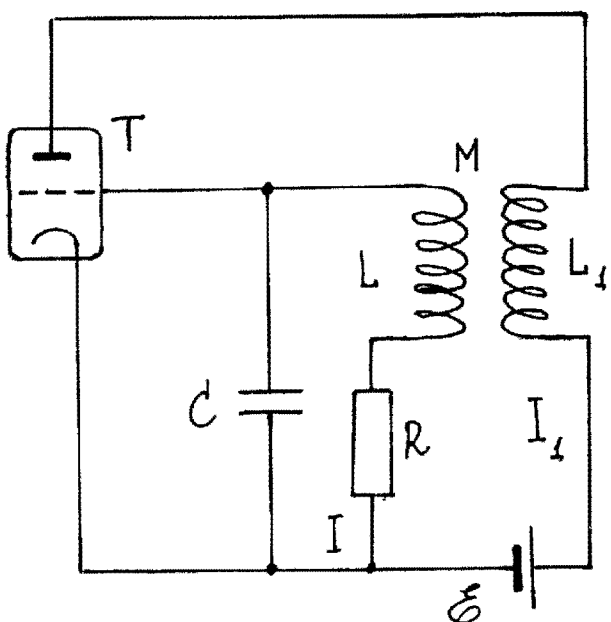
Замечание. Две уравнения

$$y'' - Q'(x)y = 0, \quad a < x < b, \quad (19)$$

аналогично могут:

$$y(x) = \frac{1}{\sqrt{Q(x)}} \left\{ A e^{\frac{1}{\mu} \int_a^x Q(\xi) d\xi} + B e^{-\frac{1}{\mu} \int_a^x Q(\xi) d\xi} + \underline{\underline{O}}(\mu) \right\} \quad (20)$$

3. Метод усреднения Крамма - Богоявленка.



Рассмотрим работу
магнитного генератора с
коинцидентом в цепи схемы.
Если при открытии T отсут-
ствует, то в контуре
 R - L - C может быть возни-
кнуть запускающее
электромагнитное коли-
чество. Однако благодаря
связи между катушками L и L_1 (M -коэффи-
циент взаимной индукции) в системе возни-
кает автоколебание.

Автомагнитные колебания называются колебаниями в диссипативных магнитных систе-
мах, которые поддерживается за счет внешнего
поступательного тока. Харacterной особенностью
автоколебаний является отсутствие внешнего при-
нужденного колебания.

Для напряжения U получается дифферен-
циальное уравнение

$$LC\ddot{U} - M S(U)\dot{U} + RC\dot{U} + U = 0, \quad (1)$$

где $S(U) \approx S_0 - S_2 U^2$ - степенная характеристи-
ка напряжения. Тогда обозначим производную
по времени.

Тема

$$\alpha = (MS_0 - RC)/LC, \beta = MS_0 / (MS_0 - RC), \quad (2)$$

$$\omega_0^2 = \frac{1}{LC}.$$

$$(1), (2) \Rightarrow \ddot{ij} - \alpha(1 - \beta U^2)ij + \omega_0^2 U = 0 \quad (3)$$

В линейном режиме:

$$t = \omega_0 t, y = \sqrt{\beta} U, \varepsilon = \frac{\alpha}{\omega_0} -$$

максимальное значение

$$(3), (4) \Rightarrow \ddot{y} - \varepsilon(1 - y^2)y + y = 0 \quad (5)$$

Уравнение (5) называется уравнением Банделла-Флоу.

Рассмотрим задачу Коши:

$$\begin{cases} \ddot{y} - \varepsilon(1 - y^2)y + y = 0, t > 0, \\ y(0) = y_0, \dot{y}(0) = 0 \end{cases} \quad (6)$$

$$\begin{cases} \ddot{y} - \varepsilon(1 - y^2)y + y = 0, t > 0, \\ y(0) = y_0, \dot{y}(0) = 0 \end{cases} \quad (7)$$

Если искать решения задачи (6), (7) в виде

$$y(t) = \bar{y}(t) + \varepsilon y_1(t) + \dots, \quad (8)$$

то

$$\bar{y}(t) = y_0 \cos t,$$

а где $y_1(t)$ называем возвращающим орбитой

$$\begin{cases} \ddot{y}_1 + y_1 = -y_0(1 - \frac{y_0^2}{4}) \sin t + \frac{y_0^3}{4} \sin 3t, t > 0, \\ y_1(0) = 0, \dot{y}_1(0) = 0, \end{cases}$$

и решения неизвестного коэффициента по формулам:

$$y_1(t) = \frac{y_0}{2} \left(1 - \frac{y_0^2}{4}\right) t \cos t - \frac{y_0^3}{32} \sin 3t - \\ - \frac{y_0}{8} \left(1 - \frac{11}{16} \frac{y_0^2}{4}\right) \sin t.$$

Две решения задачи (6), (7) совпадают
методом А. Н. Кропоткина - Н. Н. Бородюбова (1937г.).

Этот метод основан на применении усреднения,
занесшего в исходное решение дифференциальное
уравнение усреднением. Он особенно удобен для
исследования начальных производственных процессов.

Рассмотрим сначала

$$\dot{x}(t) = \varepsilon X(x, t), \quad x \in \mathbb{R}^n, \quad (9)$$

где ε -малый параметр. Пусть X -дискретно-периодическая
функция от x и t и обладает следующим
"избранным свойством" по t , т.е. оно есть в среднем
значение

$$\lim_{T \rightarrow \infty} \frac{1}{T} \int_0^T X(x, t) dt = \bar{X}(x), \quad (10)$$

например, X периодическая или почти периодическая
функция t . Если X периодическая с периодом 2π
по t функция, то (10) \Rightarrow

$$\bar{X}(x) = \frac{1}{2\pi} \int_0^{2\pi} X(x, t) dt. \quad (11)$$

Согласно методу Кропоткина - Бородюбова,
м-е приближение к решению $x(t)$ имеет вид:

$$x = \xi + \varepsilon u_1(\xi, t) + \dots + \varepsilon^m u_m(\xi, t), \quad (12)$$

где $\xi = \xi(t)$ - решение уравнения

$$\dot{\xi} = \varepsilon A_1(\xi) + \varepsilon^2 A_2(\xi) + \dots + \varepsilon^m A_m(\xi), \quad (13)$$

где функции $u_i(\xi, t)$ и $A_i(\xi)$ подбираются из того условия, чтобы выражение (12) удовлетворяло уравнению (9) с точностью до членов порядка ε^{m+1} и чтобы $u_i(\xi, t)$ обладали по t той же "логарифмической", что и $X(x, t)$. Функции u_i находятся элементарно, а функции A_i определяются в результате упрощения правой части уравнения (9) после подстановки в неё выражения (12).

Замечание. При вычислении членов (10) и (11) x рассматривается как параметр и уравнение происходит по явно заданному t .

Разложение правой части (9) по ε :

$$X(x, t) = X_1(x, t) + \varepsilon X_2(x, t) + \dots \quad (14)$$

Первое приближение:

$$x_1 = \xi \quad (15)$$

$$\dot{\xi} = \varepsilon A_1(\xi) \quad (16)$$

Подставим (16) в (9) и решим члены первого порядка:

$$\dot{x}_\varepsilon = \dot{\xi} + \varepsilon \frac{d u_1}{dt} = \varepsilon X_1, \quad (17)$$

из

$$\frac{du_1}{dt} = \frac{\partial u_1}{\partial t} + \frac{\partial u_1}{\partial \xi} \frac{\partial \xi}{\partial t} \stackrel{(16)}{=} \frac{\partial u_1}{\partial t} + \varepsilon A_1 \frac{\partial u_1}{\partial \xi} \quad (18)$$

Умножим первое уравнение (16)-(18) \Rightarrow

$$A_1(\xi) + \frac{\partial u_1}{\partial t} = X_1(\xi, t). \quad (19)$$

Положим

$$A_1(\xi) = \bar{X}_1(\xi) \quad (20)$$

$$(19), (20) \Rightarrow \frac{\partial u_1}{\partial t} = X_1(\xi, t) - \bar{X}_1(\xi) \quad (21)$$

Второе приближение:

$$x_2 = \xi + \varepsilon u_1(\xi, t) \quad (22)$$

$$\dot{\xi} = \varepsilon A_1(\xi) + \varepsilon^2 A_2(\xi) \quad (23)$$

Получим (22) & (23) и получим (23). Умножим первое уравнение на функцию (22), получим:

$$\frac{\partial u_2}{\partial t} + A_2(\xi) = \mathcal{F}(\xi, t), \quad (24)$$

из

$$\mathcal{F}(\xi, t) = X_2(\xi, t) + \frac{\partial X_1}{\partial \xi}(\xi, t) u_1(\xi, t) - A_1(\xi) \frac{\partial u_1}{\partial \xi}(\xi, t) \quad (25)$$

Положим

$$A_2(\xi) = \bar{\mathcal{F}}(\xi) \quad (26)$$

$$(24)-(26) \Rightarrow \frac{\partial u_\varepsilon}{\partial t} = F(\xi, t) - \bar{F}(\xi) \quad (27)$$

Этот процесс можно продолжить, но обычно ограничиваются одним-двумя приближениями, так как бывает необходимо вычислить F .

В методе членов Пренса - Борисова находятся, что сам $X(x, t)$ отдаёт некоторой мерой меру μ , "близкой к единице" (имеющей ненулевую меру) не в при фиксированном x , но $x - x_m = O(\varepsilon^m)$ на промежутке $0 \leq t \leq O(\frac{1}{\varepsilon})$.

Запишем уравнение (6) в виде системы и поставим задачу Коши:

$$\begin{cases} \dot{y} = u, & y(0) = y_0, \\ \dot{u} = \varepsilon(1-y^2)u - y, & u(0) = 0 \end{cases} \quad (28)$$

Найдем окрестное решение системы (28) в виде

$$\begin{aligned} y &= \alpha \cos(\theta + \vartheta), \\ u &= -\alpha \sin(\theta + \vartheta), \end{aligned} \quad (29)$$

где α и θ - функции t .

$$(28), (29) \Rightarrow$$

$$\begin{cases} \dot{\alpha} = \varepsilon \left\{ \frac{\alpha}{2} \left(1 - \frac{\alpha^2}{4} \right) - \frac{\alpha}{2} \cos 2\theta - \frac{\alpha^3}{8} \cos 4\theta \right\}, \\ \dot{\theta} = \varepsilon \left\{ \frac{1}{2} \left(1 - \frac{\alpha^2}{4} \right) \sin 2\theta - \frac{\alpha^3}{8} \sin 4\theta \right\}, \\ \alpha(0) = y_0, \quad \theta(0) = 0. \end{cases} \quad (30)$$

Система (30) связана с (9), если положим

$$x = (\alpha, \theta)^T, X(x, t) = X_1(x, t).$$

Будем также $\xi = (\bar{\alpha}, \bar{\theta})^T$.

Наше приближение:

$$\dot{\xi} = \varepsilon A_1(\xi), \quad A_1(\xi) = \bar{X}_1(\xi),$$

$$\bar{X}_1(\xi) = \left(\frac{\bar{\alpha}}{2} \left(1 - \frac{\bar{\alpha}^2}{4} \right), 0 \right)^T \Rightarrow$$

$$(\dot{\bar{\alpha}}, \dot{\bar{\theta}})^T = \varepsilon \left(\frac{\bar{\alpha}}{2} \left(1 - \frac{\bar{\alpha}^2}{4} \right), 0 \right)^T \Rightarrow$$

Уравнения система имеет вид:

$$\begin{cases} \dot{\bar{\alpha}} = \varepsilon \bar{X}(\bar{\alpha}) = \varepsilon \frac{\bar{\alpha}}{2} \left(1 - \frac{\bar{\alpha}^2}{4} \right), \bar{\alpha}(0) = y_0, \\ \dot{\bar{\theta}} = 0, \quad \bar{\theta}(0) = 0 \end{cases} \quad (31)$$

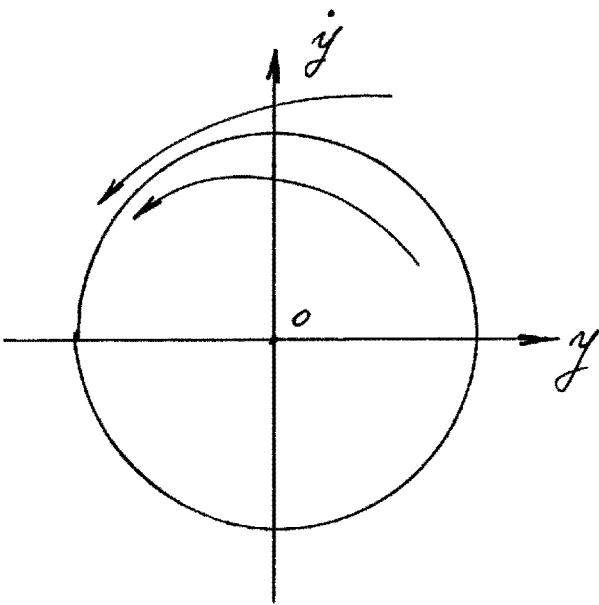
Пусть $x_1 = \xi$, получим:

$$\alpha = \frac{y_0}{\sqrt{y_0^2 + (4-y_0)^2 e^{-\varepsilon t}}}, \quad \theta = 0 \quad (33)$$

При $t \rightarrow \infty$ решения находят на стационарной линии: $y(t) = 2 \cos t$.

На фазовой плоскости (y, \dot{y}) автономная система имеет вид прямолинейной узловой-затухающей траектории, на которой начальная точка движется по всей траектории из гипотермий в притяжении.

Известно, что на траектории находятся фазовые кривые, называемые аттракторами.



В рассматриваемом случае амплитудами являются окружности радиуса \bar{a} .

Причины носки уравнения (31) $\ddot{a} = 0$ и $\dot{\theta} = \omega$. Первый коэффициент неустойчивый: $\frac{\partial \bar{X}}{\partial \bar{a}}(0) > 0$, а второй - устойчивый: $\frac{\partial \bar{X}}{\partial \bar{a}}(\omega) < 0$.

Уравнение (31) приближает фиг.:

$$\frac{\partial u_1}{\partial t} = \left[-\frac{\bar{a}}{2} \cos 2(t + \bar{\theta}) + \frac{\bar{a}^3}{8} \cos 4(t + \bar{\theta}) \right. \\ \left. \frac{t}{2} \left(1 - \frac{\bar{a}^2}{\omega}\right) \sin 2(t + \bar{\theta}) - \frac{\bar{a}^2}{8} \sin 4(t + \bar{\theta}) \right] = X(\xi, t) - \bar{X}(\xi) \quad (34)$$

Второе приближение: $x_2 = \xi + \varepsilon u_1(\xi, t)$

Численные системы: (23), (25), (26) \Rightarrow

$$\left\{ \begin{array}{l} \dot{\bar{a}} = \varepsilon \frac{\bar{a}}{2} \left(1 - \frac{\bar{a}^2}{4}\right), \\ \dot{\bar{\theta}} = -\varepsilon^2 \left(\frac{1}{8} - \frac{\bar{a}^2}{8} + \frac{7\bar{a}^4}{256}\right) \end{array} \right. \quad (35)$$

$$\left\{ \begin{array}{l} \dot{\bar{a}} = \varepsilon \frac{\bar{a}}{2} \left(1 - \frac{\bar{a}^2}{4}\right), \\ \dot{\bar{\theta}} = -\varepsilon^2 \left(\frac{1}{8} - \frac{\bar{a}^2}{8} + \frac{7\bar{a}^4}{256}\right) \end{array} \right. \quad (36)$$

Уравнение (35) сравниваем с (31) \Rightarrow при $t \rightarrow \infty$ $\bar{a} \rightarrow \omega$. При этом $\dot{\bar{\theta}} = -\frac{\varepsilon^2}{16}$, что в принципе, $\bar{\theta} \rightarrow -\frac{\varepsilon^2}{16}t + \theta_0$.

Второе приближение имеет вид:

$$\ddot{\alpha} = \bar{\alpha} + \varepsilon \left(\frac{\bar{\alpha}^3}{32} \sin 4(t+\bar{\theta}) - \frac{\bar{\alpha}}{4} \sin 2(t+\bar{\theta}) \right), \quad (37)$$

$$\theta = \bar{\theta} + \varepsilon \left(\frac{\bar{\alpha}^2}{32} \cos 4(t+\bar{\theta}) - \frac{1}{4} \left(1 - \frac{\bar{\alpha}^2}{4} \right) \cos 2(t+\bar{\theta}) \right),$$

где $\bar{\alpha}$ и $\bar{\theta}$ определяются из (35), (36).

Для стационарного решения получим
 $(\ddot{\alpha} = 0, \dot{\theta} = -\frac{\varepsilon^2}{16} t + \theta_0)$:

$$\alpha_{cr.} = 0 - \frac{\varepsilon}{2} \sin 2(\omega t + \theta_0) + \frac{\varepsilon}{4} \sin 4(\omega t + \theta_0),$$

$$\theta_{cr.} = (\theta_0 - \frac{\varepsilon^2}{16} t) + \frac{\varepsilon}{4} \cos 4(\omega t + \theta_0) + \frac{\varepsilon}{8} \cos 4(\omega t + \theta_0), \quad (38)$$

$$\text{где } \omega = 1 - \frac{\varepsilon^2}{16}.$$

Подставив (38) в формулу

$$y(t) = \alpha_{cr.} \cos(\omega t + \theta_{cr.})$$

и удалившие члены порядка ε , получим второе приближение стационарное колебательное решение уравнения Бан д'Ойлья:

$$y(t) = 0 \cos(\omega t + \theta_0) - \frac{\varepsilon}{4} \sin 3(\omega t + \theta_0) \quad (39)$$

На фазовой плоскости получим второе приближение отклонений от движений на единицу порядка ε .

Гл. V. Некоторые новые методы и алгоритмы
и применение их в задачах.

§ 1. Фракталь и фрактальный спектр.

Фрактал - это неизвестная фигура, в которой один и тот же фрактальный объект встречается при каждом уменьшении масштаба.

1. Фрактал в математике.

В 1883 году Георг Кантор описал множество, которое теперь называют множеством Кантора или путь Кантора. Это множество имеет множество компонент, но одна из них пуста. Каждый из фракталов множества Кантора выглядит, как все множество в целом, то есть оно самоподобно.

В 1886 году Карл Вейерштрасс построил функцию, не имеющую производной ни в одной точке

$$y(x) = \sum_{n=0}^{\infty} A^n \cos(B^n \pi x),$$

где $0 < A < 1$. График этой функции - бесконечно упакованное множество. При уменьшении модуля частоты график выглядит подобно всей кривой.

В 1904 году Генрих фон Кох построил пример неоднородной кривой, которая выше не имеет пасательской. Множество построено сплошным или сплошь в Кохе, если в качестве начального объекта взять равномерно отформованную пружину, а не единичный отрезок.

Сложима им остро в Коса будут именем
бесконечной первичной, но при этом будут обра-
щаться конечную область.

В 1915 году Вацлав Серниский построил
один изокомпактный, в частности, однородную Серни-
скую. Ему в начальном обеянии будущие
не равносторонний треугольник, а изображён, то
получили подпись Серниского. Но это не означает
изображение аналогично этому обеянию. Но изображение
зубами.

Рассмотренное обеяние называется ко-
мпактностью фракталов. Они получаются в
результате простой рекуррентной процедуры (ко-
мпактные множества проходят её).

Динамическое фракталы. В 1918 году
Гастон Морис и Гюль Фани исследовали
действие отображения

$$Z_{n+1} = Z_n^2 + C \quad (1)$$

на комплексной плоскости. При фиксированных
С в зависимости от выбора начального числа
предполагалось исследование будущих чис-
ных (антифрактал), что бесконечность (антифрактал)
Граница, разделяющая обеиции применения этого
здесь антифракталов бесконечно изображена и называется
фракталом - множеством Мориса.

С помощью (1) Бенуа Мандельброт проиллюстрировал сущность фрактальной природы при различии:

- a) поэдгователеность представлена в форме (антифрактор),
- b) поэдгователеность представлена в форме (антифрактор),
- c) специфическая форма: поэдгователеность имеет на границе между областями притяжения.

Эта граница имеет форму антифрактора и является сферической антифрактором для данного процесса. Граница, ограниченная границей притяжения, называется множеством Мандельброта.

2. Размерность самоизодинамии.

Единичной единице, N частей длины $\ell = \frac{l}{N} \Rightarrow l = N\ell$.

Единичной единице, N квадратов со стороны $\ell = \frac{l}{\sqrt{N}} \Rightarrow l = N\ell^2$.

Единичной единице, N кубов со стороны $\ell = \frac{l}{\sqrt[3]{N}} \Rightarrow l = N\ell^3$.

Все эти случаи показали $N\ell^d = 1$, где d -размерность самоизодинами:

$$d = -\frac{\ln N}{\ln \ell}. \quad (2)$$

Чтобы построить множества Кантора нужно взять l за множества длины $\frac{l}{3} \Rightarrow$

$$d = -\frac{\ln 2}{\ln \frac{4}{3}} = \frac{\ln 2}{\ln 3} \approx 0,6309 -$$

это не омегон, но это не торса.

Одна симметрия Серпинского состоит из трех симметрий с размером омегона $\frac{1}{2} \Rightarrow$

$$d = -\frac{\ln 3}{\ln \frac{1}{2}} = \frac{\ln 3}{\ln 2} \approx 1,5850 -$$

это не фигура, но это не омегон.

Две кривой линии превратят фигуру омегона в линии $\frac{4}{3} \Rightarrow$

$$d = -\frac{\ln 4}{\ln \frac{4}{3}} = \frac{\ln 4}{\ln 3} \approx 1,8618 .$$

3. Фракталы в природе.

Б. Мандельброт. Фрактальная геометрия природы (1982).

Родничковые фракталы: на пандане ствола насчитывается в точности квадратное количество в членов.

Лесопарковые фракталы: на пандане уровня насчитывается спиральность фрактала подобна, но не является одна в членах.

Природные фракталы: деревья, речи, облака, борозды земли.

Человеческий организм: фигура достаточно сложен, проявляющий и кривой члены, что включает фигуру постели, нейронов (кривые члены), фракталы от биологических и социальных параметров.

4. Моделирование диффузии.

Диффузия (диффундирование фрактала): кристалл, монолит, твердые, радиомат.

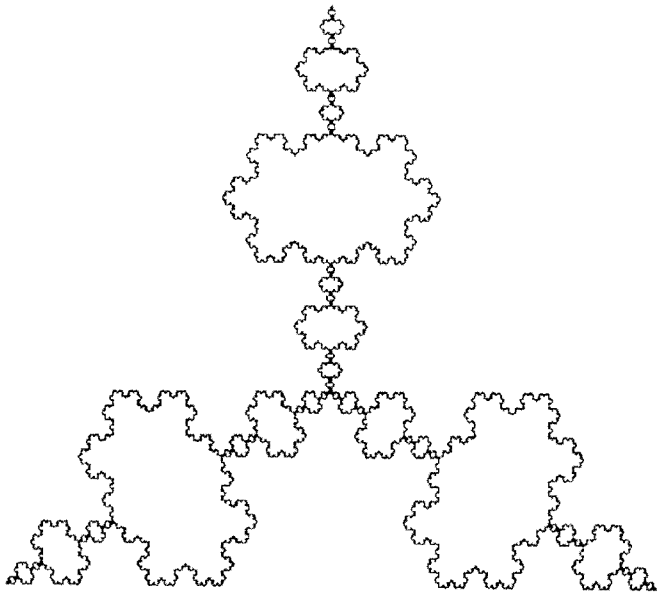
Модель ОДА - ограниченная диффузия а拥护иции: случайное движение монолита, которое могут синхронизироваться.

а) Случайная часть движется случайным образом с определенностью круга, в центре которого расположена фиксированная, доставляемая монолитом, часть движется в нем. В результате получается "диффузионный кристалл".

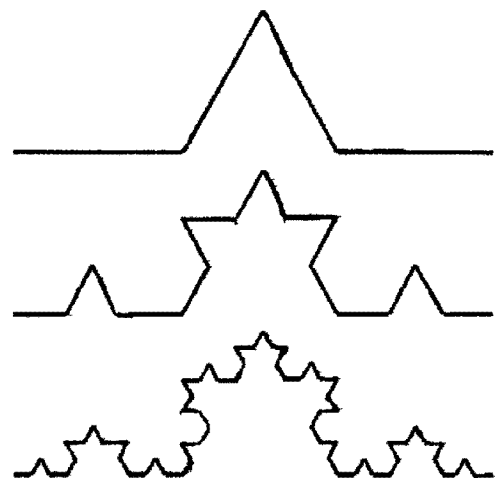
б) Случайная часть движется случайным образом с временной зависимостью промежутков. При достижении ближней границы она сразу же отбрасывается, а при достижении дальней границы фиксируется. В результате получается "диффузионный когерентный фракталь".



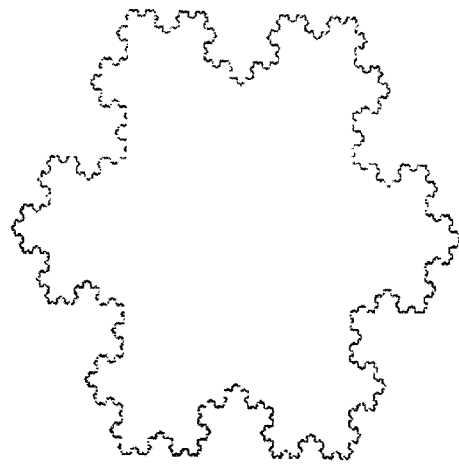
Построение множества
Кантора.



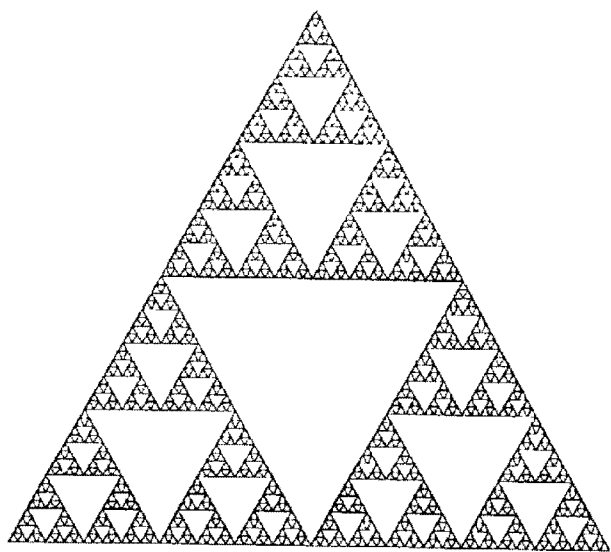
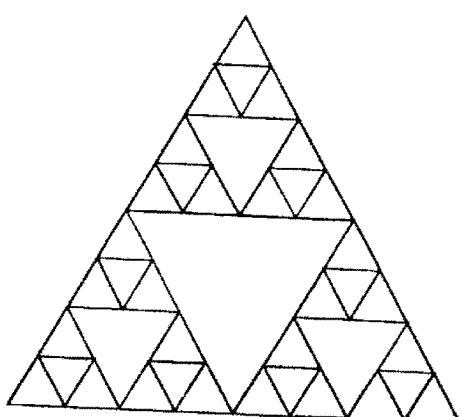
Символ Коха, орнаментиро-
ванный фигурами неравенства.



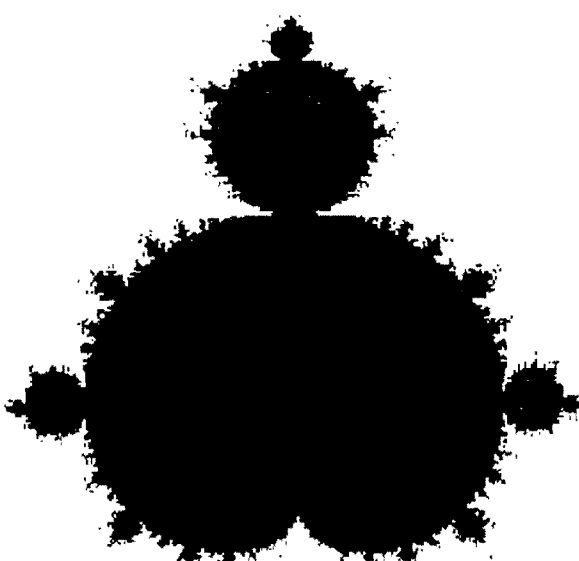
Построение кривой Коха.



Символ Коха



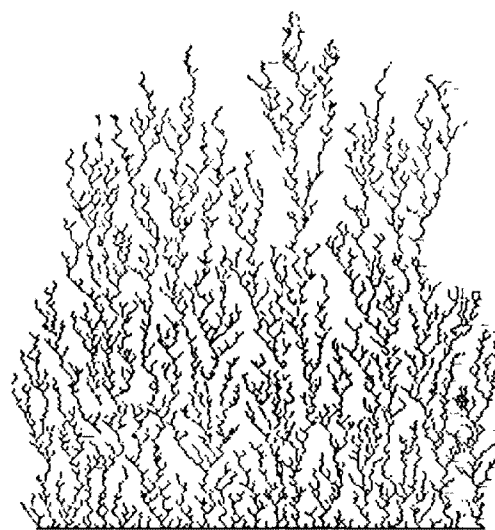
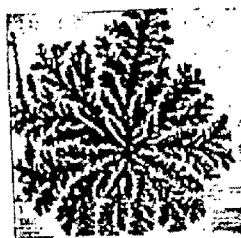
Множество конфигурации бермансского.



Множество Жюлиа при

$$C = 0.27334 + i \cdot 0.00742$$

Множество Мандельброта



а) Дендриты, полученные по
методу ОДА.

б) Реальный кристалл в виде
дендрита.

“Фрактальная вулфоскопия.”

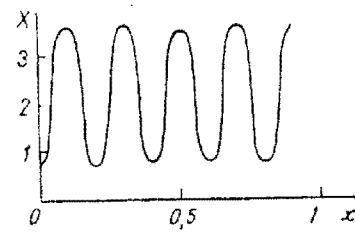
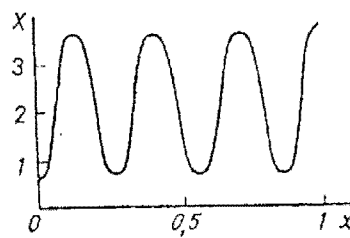


Рис. 3.2 Распределение концентрации X . Два различных типа структур, возможных в одной и той же нелинейной среде ($A=2$, $B=4,6$, $D_1=1,6 \cdot 10^{-3}$; $D_2=8,0 \cdot 10^{-3}$) при задании различных начальных данных

§ 2. Самоорганизация и образование отрицатель.

Суперсистема.

1. Диссипативные отрицатель.

Рассмотрим распространение системы, в которой в результате разбивки неустойчивое однородное диссипативное фазе могут возникнуть устойчивые флюктуационно-нестабильные отрицатель. Такие отрицатель называются диссипативными. Основа их теории дана в 1952 году Аланом М. Пейрсоном, а сам термин предложен У. Р. Принсессом.

Бычий упомянут разбивки устойчивых самоорганизации (самоорганизующегося ведущего вида и отрицатель) являются появление неустойчивости, возникающей, если движение от состояния равновесия проходит чрезвычайно.

Диссипативные отрицатель подразделяются за счет постороннего источника энергии на внешне-открытые системы.

Уравнения, описывающие процессы в системе, должны быть нелинейными.

Процессы в фазе должны приводить коаксиально.

Суперсистема играет роль организатора отрицатель в сложных самоорганизующихся системах.

2. Модель биосинтеза.

Бытовые модели синтеза, предложенная в 1968 году Примаковским и Левицким. Назначение модели уточнено дополнительных типов самообразующих в химических и биологических системах.

Представляет собой систему непротиворечивых химических реакций, проходящих в твердом и жидком (однородном) супре-реакторе жидкой л.

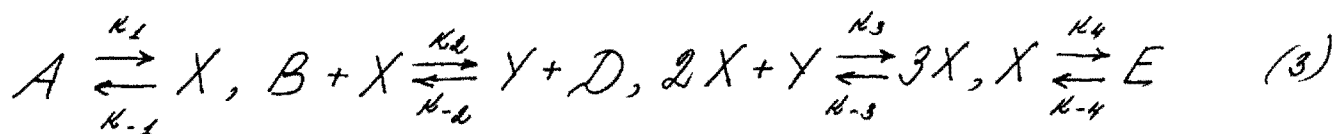
Закон генерации конечных масс.

$$X + Y \rightarrow Z \Rightarrow \frac{d\tilde{Z}}{dt} = \kappa \tilde{X} \tilde{Y}, \quad (1)$$

где κ - коэффициент реакции, $\tilde{X}, \tilde{Y}, \tilde{Z}$ - константы.

$$n X + Y \rightarrow Z \Rightarrow \frac{d\tilde{Z}}{dt} = \kappa \tilde{X}^n \tilde{Y} \quad (2)$$

Система реакций:



$\tilde{A} = \text{const}$, $\tilde{B} = \text{const}$, because X и Y постоянные в реаторе, константа D и E удаляемы (искусственная система), $\kappa_i \ll \kappa_0$, $i = 1, 2, 3, 4$.

$$(1)-(3) \Rightarrow \tilde{X}_t = \kappa_1 \tilde{A} - (\kappa_2 \tilde{B} + \kappa_4) \tilde{X} + \kappa_3 \tilde{X}^2 \tilde{Y} + D_1 \tilde{X}_{\infty}, \quad (4)$$

$$\tilde{Y}_t = \kappa_2 \tilde{B} \tilde{X} - \kappa_3 \tilde{X}^2 \tilde{Y} + D_2 \tilde{Y}_{\infty}, \quad (5)$$

где D_1 и D_2 - коэффициенты диффузии.

Замена переменных: $\kappa_4 t \rightarrow t$, $X = (\kappa_3 / \kappa_4)^{\frac{1}{\kappa_4}} \tilde{X}$,

$$Y = (\kappa_3 / \kappa_4)^{\frac{1}{\kappa_4}} \tilde{Y}, A = (\kappa_1^2 \kappa_3 / \kappa_4^3) \tilde{A}, B = \tilde{B} \kappa_2 / \kappa_4,$$

$$\mathcal{D}_1 = \tilde{\mathcal{D}}_1 / \kappa_4, \mathcal{D}_2 = \tilde{\mathcal{D}}_2 / \kappa_4.$$

(6)

(4)-(6) \Rightarrow

$$\begin{cases} X_t = A - (B + 1)X + X^2 Y + \mathcal{D}_1 X_{xx}, & (7) \\ Y_t = BX - X^2 Y + \mathcal{D}_2 Y_{xx}, \quad 0 < x < l, t > 0, & (8) \\ X(x, 0) = X_0(x), \quad Y(x, 0) = Y_0(x), \quad 0 \leq x \leq l, & (9) \\ X_x(0, t) = X_x(l, t), \quad Y_x(0, t) = Y_x(l, t) = 0, t \geq 0. & (10) \end{cases}$$

Начально-краевая задача (7)-(10) является задачей
о броуновском движении маркетора.

Между тем стационарные однородные по производной
решение: (7), (8) \Rightarrow

$$\begin{cases} A - (B + 1)X + X^2 Y = 0, & (11) \\ BX - X^2 Y = 0. & (12) \end{cases}$$

$$\begin{cases} A - (B + 1)X + X^2 Y = 0, \\ BX - X^2 Y = 0. \end{cases}$$

Единственное решение

$$X = A, \quad Y = B/A. \quad (13)$$

Будем менять $X_0(x)$, $Y_0(x)$ и B . Если B не
сильно, то независимо от начальных данных через опре-
делимое время установится константами

$$X(x, t) = A, \quad Y(x, t) = B/A. \quad (14)$$

Таким образом стационарное решение, на которое
независимо от начальных данных ведут производимые
перемещения при любых начальных условиях броуновского
движения термодинамической веном.

Задаваясь членами $X_0(x)$ и $Y_0(x)$ и будем учищиваться

в. Начинаем с приведенного в с произоходит переход на гомоинвариантные стационарные распределения полученные, возникавшие вне первоначальной зоны и называемые Примесью диссипации или отрывом.

Стационарные решения (13) удовлетворяют задану при $B = B_c$. При $B > B_c$ появляются нестационарные решения, т.е. произоходит волнение решений или диффузия.

Задаваясь $B > B_c$ и будем менять $X_0(x), Y_0(x)$. При некоторое значение B с разной массой начальных данных в одной и той же гомоинвариантной среде происходит переход на разные стационары.

Причина различий отрывов очевидна в неустойчивости стабильности системы, а переход - в нелинейной физике. Для учета физики отрывов в праве части (7) и (8) добавляем априорные ограничения.

Рассмотрим когданимь на систему в окрестности B_c : чтобы будущие будут иметь смысл смысла.

Отрывение B_c . Проверяется уравнение (7), (8):

$$X = A + \bar{X}, \quad Y = B/A + \bar{Y}, \quad (15)$$

$$\text{где } |\bar{X}| \ll A, \quad |\bar{Y}| \ll B/A.$$

Подставим (15) в (7), (8) и отбросим члены второго порядка и выше:

$$\left\{ \begin{array}{l} \bar{X}_t = (B-1)\bar{X} + A^2\bar{Y} + D_1\bar{X}_{xx}, \\ \bar{Y}_t = -B\bar{X} - A^2\bar{Y} + D_2\bar{Y}_{xx}, \quad 0 < x < l, t > 0, \end{array} \right. \quad (16)$$

$$\bar{X}(x, 0) = X_0(x) - A, \quad \bar{Y}(x, 0) = Y_0(x) - B/A, \quad 0 \leq x \leq l, \quad (17)$$

$$\bar{X}_x(0, t) = \bar{X}_x(l, t) = 0, \quad \bar{Y}_x(0, t) = \bar{Y}_x(l, t) = 0, \quad t \geq 0. \quad (18)$$

Найдем характеристическое уравнение для $\bar{f}(t), f(x)$:

$$\bar{\lambda}_m = \rho_m e^{\lambda_m t} \cos \frac{\pi m x}{l}, \quad (19)$$

$$\bar{\lambda}_m = f_m e^{\lambda_m t} \cos \frac{\pi m x}{l}, \quad m = 0, 1, 2, \dots$$

(16), (17), (19) при $\lambda = \lambda_m \Rightarrow$

$$\lambda^2 + \lambda [A^2 - B + 1 + (D_1 + D_2)(m^2\pi^2/l^2)] + \quad (20)$$

$$+ [A^2 B - (A^2 + D_2 m^2\pi^2/l^2)(B - 1 - D_1 m^2\pi^2/l^2)] = 0,$$

$$m = 0, 1, \dots$$

Если $\operatorname{Re} \lambda_{m_1} < 0, \operatorname{Re} \lambda_{m_2} < 0$ при всех m , то первоначальное условие (14) выполняется (значе B).

Если при $B = B_c$ $\lambda_{m_1} = 0, \lambda_{m_2} < 0$, то при $B > B_c$ возможен неустойчивый.

Если при $B = B_c$ для некоторого m $\operatorname{Re} \lambda_{m_1} = \operatorname{Re} \lambda_{m_2} = 0, \operatorname{Im} \lambda_{m_1} = -\operatorname{Im} \lambda_{m_2}$, то функции \bar{X}_m и \bar{Y}_m независимы и в системе возможен колебание (если $D_1 \approx D_2$).